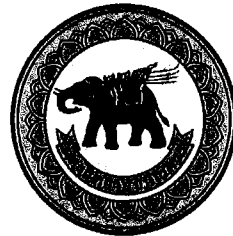
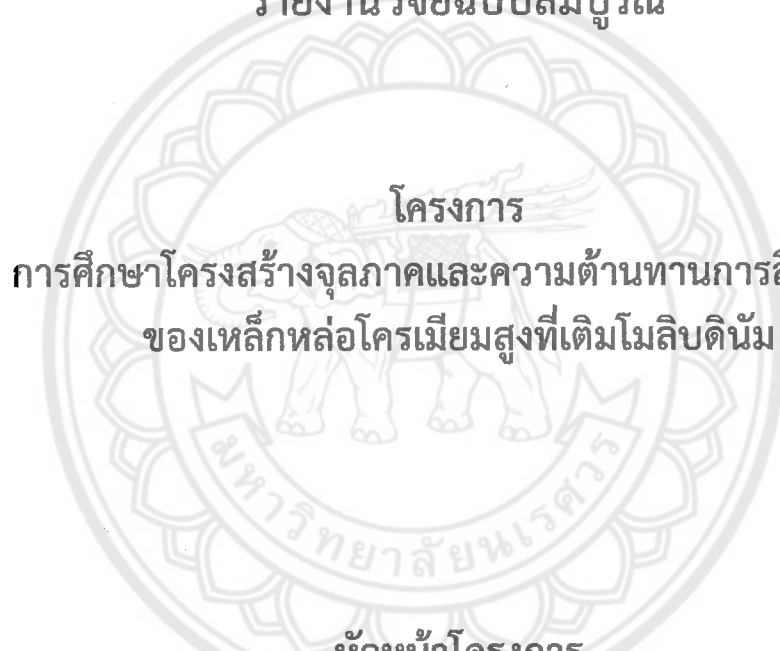


สัญญาเลขที่ R2563C016



รายงานวิจัยฉบับสมบูรณ์



โครงการ
การศึกษาโครงสร้างจุลภาคและความต้านทานการสึกกร่อน
ของเหล็กหล่อโครงเมียมสูงที่เติมโมลิบดินัม

หัวหน้าโครงการ

ผู้ช่วยศาสตราจารย์ ดร.อัมพร เวียงมูล
ภาควิชาพิสิกส์ คณะวิทยาศาสตร์ มหาวิทยาลัยนเรศวร

กันยายน 2564

อภินันทนาการ

สัญญาเลขที่ R2563



สำนักหอสมุด

รายงานวิจัยฉบับสมบูรณ์

โครงการ

การศึกษาโครงสร้างจุลภาคและความต้านทานการลีกกร่อน
ของเหล็กหล่อโครงเมียมสูงที่เติมไมลิบดินัม

คณะผู้วิจัย

ผู้ช่วยศาสตราจารย์ ดร.อัมพร เวียงมูล
ภาควิชาฟิสิกส์ คณะวิทยาศาสตร์ มหาวิทยาลัยนเรศวร

| |
|---------------------------------|
| สำนักหอสมุด มหาวิทยาลัยนเรศวร |
| วันลงทะเบียน..... - 9 มีค. 2565 |
| เลขทะเบียน..... 1049570 |
| เลขเรียกหนังสือ..... บ. QC |
| จำนวน..... 173 |

4.๗๕
๐๕๕๙
๒๕๖๓

สนับสนุนโดย
งบประมาณรายได้มหาวิทยาลัยนเรศวร
ปีงบประมาณ 2563

กิตติกรรมประกาศ

โครงการวิจัย เรื่อง การศึกษาโครงสร้างจุลภาคและความต้านทานการสึกกร่อนของเหล็กหล่อโครงเมียมสูงที่เติมโน้มีบดินน์ ได้รับทุนสนับสนุนจากงบประมาณรายได้มหาวิทยาลัย ประจำปีงบประมาณ 2563 ซึ่งคณะผู้วิจัยขอขอบพระคุณมา ณ ที่นี่

ผู้วิจัยขอขอบคุณ ภาควิชาฟิสิกส์ และศูนย์ปฏิบัติการเครื่องมือวิทยาศาสตร์ คณะวิทยาศาสตร์ มหาวิทยาลัยนเรศวร ที่ให้ความอนุเคราะห์สถานที่ กล้องจุลทรรศน์แสง กล้องจุลทรรศน์อิเล็กตรอน แบบส่องกราดและเครื่องวัดความแข็ง

สุดท้ายนี้ ผู้วิจัยขอขอบคุณ นายกิตติคุณ เรืองชัย นิสิตปริญญาเอก สาขาวิศวกรรมศาสตร์ ภาควิชาฟิสิกส์ ในการทดลองและเก็บข้อมูลงานวิจัย

คณะผู้วิจัย



Executive Summary

เหล็กหล่อโครงเมียมสูงมีการใช้งานอย่างกว้างขวางในงานที่ต้องการความทนทานต่อการสึกหรอแบบขัดถู (Abrasive wear) เช่น ในกระบวนการการบดสินแร่ การบดถ่านหิน และการผลิตปูนซีเมนต์ เหล็กหล่อโครงเมียมสูงที่ได้รับการใช้งานส่วนใหญ่เป็นแบบไฮเปียสเตกติกที่มีส่วนผสมอยู่ในช่วงของอสเทนไนต์ซึ่งมีปริมาณโครงเมียม 10-30wt% และคาร์บอน 2-3.5wt% แต่ที่นิยมใช้งานโดยทั่วไปจะมีส่วนผสมในช่วง 18-22wt%Cr สำหรับเหล็กหล่อที่มีโครงเมียม 27-30wt% และคาร์บอน 2.0-2.7wt% มักจะนำไปใช้งานที่ต้องการทั้งความทนทานต่อการสึกหรอ (Wear resistance) และการกัดกร่อน (Corrosion) เช่น การปั๊มของเหลวขึ้น (Slurry pumping) การเติมธาตุ เช่น โนลิบดินัม จะทำให้ความแข็งและความทนทานต่อการสึกหรอเพิ่มขึ้น เนื่องจากปริมาณของคาร์บีเดเพิ่มขึ้น เหล็กหล่อโครงเมียมสูงที่มีโครงสร้างเป็นแบบอสเทนไนต์มีความต้านทานต่อการสึกหรอต่ำ ซึ่งปรับปรุงสมบัติได้โดยกรรมวิธีทางความร้อนหรือดีสเตรบิไลเซชัน เพื่อให้โครงสร้างเป็นมาร์เกนไซท์ที่แข็งกว่า อย่างไรก็ตามการกลึงใส่ทำได้ยากเนื่องจากเหล็กหล่อมีความแข็งสูง จึงจำเป็นต้องลดความแข็งด้วยการอบอ่อนเพื่อให้ได้เมทริกซ์เป็นเฟอร์ไรต์

โครงการวิจัยนี้ได้ศึกษาผลของการอบอ่อนและดีสเตรบิไลเซชันต่อโครงสร้างจุลภาค ความแข็ง และพฤติกรรมการสึกกร่อน (Erosion-corrosion) ของเหล็กหล่อโครงเมียมสูง 28wt%Cr-2.4wt%C ที่เติมโนลิบดินัมในปริมาณ 1.4wt% โดยนำเหล็กในสภาพหล่อไปอบอ่อนที่อุณหภูมิ 800°C เป็นเวลา 4 ชั่วโมง และให้เย็นตัวลงมาที่อุณหภูมิ 500°C ด้วยอัตราเย็นตัว 20°C/h และเย็นตัวในเตา ส่วนการอบดีสเตรบิไลเซชันจะทำที่อุณหภูมิ 1000°C เป็นเวลา 4 ชั่วโมง และให้เย็นตัวในอากาศ นอกจากนี้ยังได้ศึกษาผลของการอบอ่อนก่อนการทำดีสเตรบิไลเซชัน ชนิดเฟสและโครงสร้างจุลภาคศึกษาด้วยเทคนิคการเลี้ยวเบนของรังสีเอกซ์ กล้องจุลทรรศน์แสงและกล้องจุลทรรศน์อิเล็กตรอนแบบส่องกล้อง ทดสอบความแข็งและทดสอบการสึกกร่อนในสเลอเรรีที่ประกอบด้วยน้ำ รายและการดัดซัลฟิริก จากผลการทดลองพบว่าโครงสร้างจุลภาคในสภาพหล่อของเหล็กหล่อที่ไม่เติมโนลิบดินัมประกอบด้วยเดนไทร์ของอสเทนไนต์ปูนภูมิและคาร์บีเดยูสเตกติกชนิด M_7C_3 ส่วนเหล็กหล่อที่เติมโนลิบดินัมจะพบคาร์บีเดยูสเตกติกเป็นชนิด M_7C_3 , $M_{23}C_6$ และ M_6C เหล็กหล่อที่ไม่เติมโนลิบดินัมในสภาพหล่อ มีความแข็งเท่ากับ 506 HV30 หลังการอบอ่อนโครงสร้างจุลภาคประกอบด้วยคาร์บีเดทุติภูมิ ตกตะกอนในเมทริกซ์ของเฟอร์ไรต์ ทำให้ความแข็งลดลงเป็น 390 HV30 ส่วนเหล็กหล่อที่ผ่านการทำดีสเตรบิไลเซชันจะพบคาร์บีเดทุติภูมิตกตะกอนในเมทริกซ์มาร์เกนไซท์ และความแข็งเพิ่มขึ้นเป็น 730 HV30 สำหรับการอบอ่อนก่อนการทำดีสเตรบิไลเซชันส่งผลให้ความแข็งเพิ่มมากขึ้นเป็น 825 HV30 ในกรณีเหล็กหล่อที่เติมโนลิบดินัมจะมีความแข็งเพิ่มขึ้นเท่ากับ 529, 463, 735 และ 870 HV30 ตามลำดับ จากการทดสอบการสึกกร่อนพบว่ากลไกการสึกกร่อนเกิดจากการไถครุต (Ploughing) บริเวณเมทริกซ์และการแตกหัก (Cracking) ของคาร์บีเดยูสเตกติก ร่วมกับการกัดกร่อน บริเวณรอบๆ คาร์บีเดยูสเตกติก อย่างไรก็ตามความทนทานต่อการสึกกร่อนมีแนวโน้มลดลงหลังการทำดีสเตรบิไลเซชัน การเติมโนลิบดินัมทำให้ความทนทานต่อการสึกกร่อนทั้งในสภาพหล่อและหลังการทำดีสเตรบิไลเซชันดีขึ้น เนื่องจากการละลายของโนลิบดินัมในเมทริกซ์ในลักษณะสารละลายของแข็งทำให้เมทริกซ์มีความแข็งแรงสูงขึ้น รวมทั้งการเกิดคาร์บีเดยูสเตกติก M_6C ที่มีความแข็งสูง

บทคัดย่อ

งานวิจัยนี้ ได้ศึกษาเพื่อศึกษาความสัมพันธ์ระหว่างโครงสร้างจุลภาค ความแข็ง และความต้านทานการสึกกร่อนของเหล็กหล่อ 28wt%Cr (R) และเหล็กหล่อ 28wt%Cr-1.4wt%Mo (Mo1) ที่ผ่านกรรมวิธีทางความร้อน 3 ลักษณะ โดยการอบอ่อนจะน้ำเหล็กที่ผ่านการหล่อในแบบหล่อทรายไปอบที่อุณหภูมิ 800°C เป็นเวลา 4 ชั่วโมง และให้เย็นตัวลงมาที่อุณหภูมิ 500°C ด้วยอัตราเย็นตัว 20°C/h และปล่อยให้เย็นตัวอย่างช้าๆ ในเตาจนถึงอุณหภูมิห้อง ส่วนการอบดีสเตบีไลเซนจะนำเหล็กที่ผ่านการหล่อไปอบที่อุณหภูมิ 1000°C เป็นเวลา 4 ชั่วโมง และให้เย็นตัวในอากาศ ส่วนแบบสุดท้ายเป็นการอบอ่อนก่อนการอบดีสเตบีไลเซน จากนั้นนำมาศึกษาชนิดเฟสด้วยเทคนิคการเลี้ยวเบนของรังสีเอกซ์ ศึกษาโครงสร้างจุลภาคด้วยกล้องจุลทรรศน์แสงและกล้องจุลทรรศน์อิเล็กตรอนแบบส่องรากด้วยตัวตั้งระบบวิเคราะห์การกระจายพลังงานของรังสีเอกซ์ ทดสอบความแข็งแบบวิกเกอร์ ความทนทานต่อการสึกกร่อนของเหล็กหล่อในสภาพหลักการทำดีสเตบีไลเซนได้ทดสอบในสเลอร์เรื่องน้ำและทรายชิลิกา (พีเอส = 4.4) จากผลการทดลองพบว่าโครงสร้างจุลภาคในสภาพหล่อของเหล็กหล่อที่ไม่เติมโมลิบดินัมประกอบด้วยเดนไตรท์ของอสเทนในต์ปูมภูมิและคาร์ไบด์ยูเทกติกชนิด M_7C_3 ส่วนเหล็กหล่อที่เติมโมลิบดินัม (Mo1) จะพบคาร์ไบด์ยูเทกติกเป็นชนิด M_7C_3 , $M_{23}C_6$ และ M_6C โครงสร้างจุลภาคหลังการอบอ่อนประกอบด้วยคาร์ไบด์ทุติยภูมิที่แตกต่างกันในเมทริกซ์ของเฟอร์ไรต์และมีฟีร์ลไลต์บางส่วน ส่วนโครงสร้างจุลภาคที่ผ่านการอบดีสเตบีไลเซน และการอบอ่อนตามด้วยดีสเตบีไลเซน ประกอบด้วยคาร์ไบด์ทุติยภูมิที่แตกต่างกันในเมทริกซ์ของมาร์เทนไซต์ สำหรับเหล็กหล่อ Mo1 พบว่าจะมีการแตกต่างกันของการไบด์ทุติยภูมิในปริมาณเพิ่มขึ้นทั้งในการอบอ่อนและหลังการทำดีสเตบีไลเซน จากการทดสอบความแข็งในสภาพหล่อพบว่าเหล็กหล่อ 28wt%Cr (R) และเหล็กหล่อ Mo1 มีความแข็ง 506 และ 529 HV30 ตามลำดับ หลังการอบอ่อนความแข็งลดลงเป็น 390 และ 463 HV30 เนื่องจากการเปลี่ยนโครงสร้างจากอสเทนเนตเป็นเฟอร์ไรต์ ส่วนการทำดีสเตบีไลเซนจะทำให้ความแข็งเพิ่มขึ้นเป็น 730 และ 735 HV30 เนื่องจากการแตกต่างกันของการไบด์ทุติยภูมิในมาร์เทนไซต์ ส่วนการอบอ่อนก่อนการทำดีสเตบีไลเซนส่งผลให้ความแข็งมีค่าเพิ่มมากขึ้นเป็น 825 และ 870 HV30 จากภาพถ่ายพื้นผิวหลังทดสอบการสึกกร่อนแสดงกลไกการสึกกร่อนของเหล็กหล่อเกิดจากการไสครูดบริเวณเมทริกซ์และการแตกหักของคาร์ไบด์ยูเทกติก นอกจากนี้ยังพบการกัดกร่อนบริเวณรอบๆ คาร์ไบด์ยูเทกติก อย่างไรก็ตามความทนทานต่อการสึกกร่อนมีแนวโน้มลดลงหลังการทำดีสเตบีไลเซน โดยพบการหลุดของคาร์ไบด์ทุติยภูมิออกจากเมทริกซ์มาร์เทนไซต์ การเติมโมลิบดินัมทำให้ความทนทานต่อการสึกกร่อนดียิ่งขึ้น เนื่องจากการละลายของโมลิบดินัมในเมทริกซ์ในลักษณะสารละลายของแข็ง ทำให้เมทริกซ์มีความแข็งแรงเพิ่มขึ้น รวมทั้งการเกิดคาร์ไบด์ยูเทกติก M_6C ที่มีความแข็งสูง

คำสำคัญ: เหล็กหล่อโครงเมียมสูง กรรมวิธีทางความร้อน โครงสร้างจุลภาค การสึกกร่อน

Abstract

In this research, the relationship between microstructure, hardness and erosion-corrosion of the heat treated 28 wt%Cr (R) and 28 wt%Cr-1.4 wt%Mo (Mo1) high chromium cast irons has been studied. There are 3 heat treatment processes. The as-cast samples were annealed at temperature of 800°C for 4 hours, and then cooling to 500°C with cooling rate of 20°C/h, and follow by furnace cooling to room temperature. Destabilization heat treatment was done at temperature of 1000°C for 4 hours, and then air cooling to room temperature. Prior-annealing plus destabilization was done. The phase transformation and microstructure have been characterized by X-Ray diffractometer, optical microscopy and scanning electron microscope equipped with energy-dispersive X-ray spectrometry. Vickers macrohardness was tested. The erosion-corrosion behavior has been studied by slurry pot tester using sand-water slurry (with pH=4.4). The slurry erosion-corrosion resistance has been compared with as-cast to destabilized samples. It was found that the as-cast microstructure of the reference iron (without Mo addition) consisted of primary austenite dendrite with eutectic M₇C₃ carbide. In the Mo1 iron, eutectic carbides including M₇C₃ and M₆C. After annealing heat treatment, the microstructure contained secondary carbide precipitated within ferrite and some of pearlite matrix. After destabilization and annealing-plus-destabilization heat treatment, the microstructure consisted of secondary carbide precipitated within martensite matrix. In the Mo1 iron, more secondary carbide precipitation within martensite matrix was found. From the hardness results, the ac-cast macrohardness of the 28wt%Cr (R) and Mo1 irons were 506 and 529 HV30, respectively. After annealing the macrohardness was decreased to 390 and 463 HV30 due to the transformation of austenite to ferrite. Destabilization increased the hardness to about 730 and 735 HV30 due to the precipitation of secondary carbides within the martensite matrix. Prior-annealing before destabilization further increased the harness up to 825 and 870 HV3. From the SEM images of the worn surfaces indicated that the erosion-corrosion mechanism including the ploughing and cracking of eutectic carbides. Corrosion at the regions around of eutectic carbides was also found. However, destabilized sample had lower erosion-corrosion resistance than that of as-cast sample. The removing of secondary carbide from martensite matrix was occurred. Molybdenum addition (Mo1 iron) improved the erosion-corrosion resistance due to the matrix strengthening by solid solution and the formation of M₆C carbide.

Keywords: high chromium cast iron, heat treatment, microstructure, erosion-corrosion

สารบัญ

| | หน้า |
|--|------|
| กิตติกรรมประกาศ | ก |
| Executive Summary | ข |
| บทคัดย่อภาษาไทย | ค |
| บทคัดย่อภาษาอังกฤษ | ง |
| สารบัญ | จ |
| สารบัญตาราง | ช |
| สารบัญรูป | ซ |
| | |
| บทที่ 1 บทนำ | |
| 1.1 ความสำคัญและที่มาของงานวิจัย | 1 |
| 1.2. วัตถุประสงค์ของโครงการวิจัย | 2 |
| 1.3. ขอบเขตของโครงการวิจัย | 2 |
| 1.4 ทฤษฎี สมมติฐาน และกรอบแนวคิดของโครงการวิจัย | 2 |
| 1.5 ประโยชน์ที่คาดว่าจะได้รับ | 2 |
| บทที่ 2 ทฤษฎีและงานวิจัยที่เกี่ยวข้อง | |
| 2.1 ส่วนผสมทางเคมีของเหล็กหล่อโครงเมียมสูง | 3 |
| 2.2 เพสไดอะแกรมของระบบเหล็ก-โครงเมียม-คาร์บอน | 7 |
| 2.3 กรรมวิธีทางความร้อน | 9 |
| 2.4 การเปดในเหล็กหล่อโครงเมียมสูง | 11 |
| 2.5 การสักหรือของโลหะ | 13 |
| 2.6 การกัดกร่อนของโลหะ | 15 |
| 2.7 การสักกร่อนในเหล็กหล่อโครงเมียมสูง | 15 |
| บทที่ 3 วิธีการดำเนินการทดลอง | |
| 3.1 วัสดุต้นและส่วนผสมทางเคมี | 18 |
| 3.2 กรรมวิธีทางความร้อน | 18 |
| 3.3 การศึกษาชนิดเฟสด้วยเทคนิคการเลี้ยวเบนของรังสีเอกซ์ | 20 |
| 3.4 การศึกษาโครงสร้างจุลภาค | 20 |
| 3.5 การทดสอบความแข็ง | 21 |
| 3.6 การทดสอบความต้านทานการสักกร่อน | 22 |
| บทที่ 4 ผลการทดลองและอภิปรายผล | |
| 4.1 การศึกษาชนิดเฟสและโครงสร้างจุลภาค | 24 |
| 4.1.1 ชนิดเฟสและโครงสร้างจุลภาคในสภาพหล่อ | 24 |
| 4.1.2 ชนิดเฟสและโครงสร้างจุลภาคหลังการอบอ่อน | 30 |
| 4.1.3 ชนิดเฟสและโครงสร้างจุลภาคหลังการทำดีสเตบ์ไลเซน | 36 |

สารบัญ (ต่อ)

| | หน้า |
|--|------|
| 4.2 ความเชื่อ | 41 |
| 4.3 การสืกกร่อน | 42 |
| บทที่ 5 สรุปผลการทดลองและข้อเสนอแนะ | |
| 5.1 สรุปผลการทดลอง | 48 |
| 5.2 ข้อเสนอแนะ | 49 |
| เอกสารอ้างอิง | 50 |



สารบัญตาราง

| ตาราง | หน้า |
|--|------|
| 2.1 ส่วนผสมทางเคมีและความแข็งของเหล็กหล่อโครงเมียมสูง (BS 4844) | 4 |
| 2.2 ส่วนผสมทางเคมีของเหล็กหล่อโครงเมียมสูง (ASTM A-532-87) | 4 |
| 2.3 ชนิดและความแข็งของคาร์บิดที่พบในโลหะผสมเหล็ก-โครงเมียม-คาร์บอน | 13 |
| 3.1 ส่วนผสมทางเคมีของเหล็กหล่อโครงเมียมสูงที่ใช้ในการทดลอง | 18 |
| 4.1 น้ำหนักที่หายไปของชิ้นงานหลังทดสอบการสึกกร่อน | 43 |



สารบัญรูป

| รูปที่ | | หน้า |
|--------|--|------|
| 2.1 | ตัวถังปั๊มแบบหอยปั่นสำหรับการขันถ่ายน้ำดิน ที่ทำจากเหล็กหล่อโครงเมียม 26wt%Cr-3.3wt%C | 6 |
| 2.2 | เครื่องบดและแท่งสำหรับกระแทก (impact crusher) ผลิตจากเหล็กหล่อโครงเมียมสูง (12-33)wt%Cr-(2.4-3.2)wt%C-(0.1-3)%Mo | 6 |
| 2.3 | แผนภาพของระบบเหล็ก-โครงเมียม-คาร์บอน ของ Thorpe และ Chicco แสดงส่วนผสมของเหล็กหล่อโครงเมียมสูงที่ใช้งานโดยทั่วไปซึ่งโครงสร้างเป็นเฟส ออสเทนไนต์ | 8 |
| 2.4 | แผนภาพแสดงภาพฉายของพื้นผิวลิกวิดัส (liquidus surface) ของระบบเหล็ก-โครงเมียม-คาร์บอน กล่องสีเหลี่ยมแสดงส่วนผสมของเหล็กหล่อโครงเมียมสูงแบบไฮโปyuเทกติกที่ใช้งานโดยทั่วไป | 8 |
| 2.5 | โครงสร้างจุลภาคของเหล็กหล่อโครงเมียมสูง 20wt%Cr-2.5wt%C-1wt%Mo หลังจากการอบที่อุณหภูมิต่างๆ เป็นเวลา 4 ชั่วโมง แล้วปล่อยให้ชิ้นงานเย็นตัวอย่างช้าๆ (ก) อบที่ 750°C ความแข็ง 400 HV (ข) อบที่ 850°C ความแข็ง 390 HV (ค) อบที่ 950°C ความแข็ง 350 HV | 9 |
| 2.6 | ผลของการอบดีสเตปปีไลเซนต์ต่อค่าความแข็งของเหล็กหล่อ 20wt%Cr-2wt%C-2wt%Mo | 10 |
| 2.7 | โครงสร้าง Deep etched เปรียบเทียบลักษณะของyuเทกติกcaribe (ก) คาร์ไบด์ชนิด M_3C ในเหล็กหล่อ 3.6wt%Cr-5wt%Cr จะมีลักษณะที่ต่อเนื่อง (ข) คาร์ไบด์ชนิด M_7C_3 ในเหล็กหล่อ 2.4wt%Cr-30wt%Cr ที่มีขนาดเล็กและต่อเนื่องน้อยกว่า | 11 |
| 2.8 | คาร์ไบด์ทุติยภูมิ $M_{23}C_6$ ในเหล็กหล่อ 29.3wt%Cr-2.5wt%C (ข) คาร์ไบด์ทุติยภูมิ M_7C_3 ในเหล็กหล่อ 17.7wt%Cr-3.1wt%C (ค) คาร์ไบด์ทุติยภูมิ M_3C ในเหล็กหล่อ 8.8wt%Cr-3.0wt%C | 12 |
| 2.9 | ลักษณะของคุณสมบัติที่เกิดการสึกหรอ | 14 |
| 2.10 | เครื่องทดสอบ Slurry pot erosion-corrosion tester ของ Tang | 16 |
| 2.11 | เครื่องทดสอบ Slurry pot erosion-corrosion tester ของ Shitole | 17 |
| 2.12 | เครื่องทดสอบ Slurry pot erosion-corrosion tester ของ Gupta | 17 |
| 3.1 | เหล็กหล่อโครงเมียมสูงที่ผ่านการหล่อในแบบหล่อทราย | 18 |
| 3.2 | ขั้นตอนการรอมวิธีทางความร้อน (ก) การอบอ่อน (ข) การอบดีสเตปปีไลเซนต์ (ค) การอบอ่อนและการอบดีสเตปปีไลเซนต์ | 19 |
| 3.3 | เครื่องขัดชิ้นงาน ยี่ห้อ Struers | 20 |
| 3.4 | เครื่องวิเคราะห์การลีเย่วนของรังสีเอกซ์ ของบริษัท Philips รุ่น Expert | 20 |
| 3.5 | กล้องจุลทรรศน์แบบแสง | 21 |

สารบัญรูป (ต่อ)

| รูปที่ | | หน้า |
|--------|--|------|
| 3.6 | กล้องจุลทรรศน์อิเล็กตรอนแบบส่องกราด รุ่น 1455VP ของบริษัท LEO | 21 |
| 3.7 | เครื่องทดสอบความแข็งโดยรวมแบบวิกเกอร์ รุ่น Egotest comp 25 Rs และ การวัดเส้นทแยงมุมของรอยกด | 22 |
| 3.8 | เครื่องทดสอบการสึกกร่อนแบบ Slurry pot และการปรับมุมขั้นงานอีียง 45° | 23 |
| 4.1 | รูปแบบการเลี้ยวเบนของรังสีเอกซ์ในเหล็กหล่อໂຄรมเมียมสูง 28wt%Cr-2.4wt%C (R) และเหล็กหล่อ Mo1 ในสภาพหล่อ | 25 |
| 4.2 | ภาพถ่ายจากกล้องจุลทรรศน์แบบแสง (OM) และกล้องจุลทรรศน์อิเล็กตรอนแบบส่องกราด (SEM-BEI) แสดงโครงสร้างจุลภาคในสภาพหล่อของเหล็กหล่อໂຄรมเมียมสูง 28wt%Cr-2.4wt%C (R) | 26 |
| 4.3 | ภาพถ่ายจากกล้อง OM และ SEM-BEI แสดงโครงสร้างจุลภาคในสภาพหล่อของเหล็กหล่อ Mo1 | 27 |
| 4.4 | (ก) ภาพถ่าย SEM-BEI แสดงโครงสร้างจุลภาคในสภาพหล่อของเหล็กหล่อ 28wt%Cr-2.4wt%C (R) และ (ข-ค) สเปกตรัม EDS แสดงการกระจายตัวของธาตุจากบริเวณ (1) ออสเทนไนต์เมทริกซ์ (2) คาร์บิด M_7C_3 ตามลำดับ | 28 |
| 4.5 | (ก) ภาพถ่าย SEM-BEI แสดงโครงสร้างจุลภาคในสภาพหล่อของเหล็กหล่อ Mo1 (ข-จ) สเปกตรัม EDS แสดงการกระจายตัวของธาตุจากบริเวณ (1) ออสเทนไนต์เมทริกซ์ (2) คาร์บิด M_7C_3 (3) คาร์บิด $M_{23}C_6$ และ (4) คาร์บิด M_6C และตามลำดับ | 29 |
| 4.6 | ผลของการเติมโมลีบดินัมต่อสัดส่วนโดยปริมาตรของเมทริกซ์และคาร์บิดทั้งหมดในเหล็กหล่อ 28wt%Cr-2.4wt%C (R) และเหล็กหล่อ Mo1 | 30 |
| 4.7 | รูปแบบการเลี้ยวเบนของรังสีเอกซ์ในเหล็กหล่อໂຄรมเมียมสูง 28wt%Cr-2.4wt%C (R) และเหล็กหล่อ Mo1 หลังการอบอ่อน | 31 |
| 4.8 | ภาพถ่ายจากกล้อง OM และ SEM-BEI แสดงโครงสร้างจุลภาคหลังการอบอ่อนของเหล็กหล่อ 28wt%Cr-2.4wt%C (R) | 32 |
| 4.9 | ภาพถ่ายจากกล้อง OM และ SEM-BEI แสดงโครงสร้างจุลภาคหลังการอบอ่อนของเหล็กหล่อ Mo1 | 33 |
| 4.10 | ภาพถ่าย SEI หลังการกัดกรดแบบลึก (Deep etched) และแสดงลักษณะของคาร์บิดทุติยภูมิ (SC) หลังการอบอ่อน (ก-ช) เหล็กหล่อ 28wt%Cr-2.4wt%C (R) | 34 |
| 4.11 | ภาพถ่าย SEI หลังการกัดกรดแบบลึกแสดงลักษณะของคาร์บิดทุติยภูมิ (SC) หลังการอบอ่อนในเหล็กหล่อ Mo1 | 35 |

สารบัญรูป (ต่อ)

| รูปที่ | | หน้า |
|--------|--|------|
| 4.12 | รูปแบบการเลี้ยวเบนของรังสีเอกซ์ในเหล็กหล่อโครงเมียมสูง 28wt%Cr-2.4wt%C (R) และเหล็กหล่อ Mo1 หลังการดีสเตบีไลเซชัน (D4h) และหลังการอบอ่อน+ดีสเตบีไลเซชัน (AN+D) | 36 |
| 4.13 | ภาพถ่ายจากกล้อง OM และ SEM-BEI แสดงโครงสร้างจุลภาคหลังการอบดีสเตบีไลเซชันที่อุณหภูมิ 1000°C เป็นเวลา 4 ชั่วโมง ในเหล็กหล่อ 28wt%Cr-2.4wt%C (R) | 37 |
| 4.14 | ภาพถ่ายจากกล้อง OM และ SEM-BEI แสดงโครงสร้างจุลภาคหลังการอบดีสเตบีไลเซชันที่อุณหภูมิ 1000°C เป็นเวลา 4 ชั่วโมง ในเหล็กหล่อ Mo1 | 38 |
| 4.15 | ภาพถ่ายจากกล้อง OM และ SEM-BEI แสดงโครงสร้างจุลภาคหลังการอบอ่อนและอบดีสเตบีไลเซชันที่อุณหภูมิ 1000°C เป็นเวลา 4 ชั่วโมง ในเหล็กหล่อ 28wt%Cr-2.4wt%C (R) | 39 |
| 4.16 | ภาพถ่ายจากกล้อง OM และ SEM-BEI แสดงโครงสร้างจุลภาคหลังการอบอ่อนและอบดีสเตบีไลเซชันที่อุณหภูมิ 1000°C เป็นเวลา 4 ชั่วโมง ในเหล็กหล่อ Mo1 | 40 |
| 4.17 | ผลของการรวมวิธีทางความร้อนต่อกำลังความแข็งในเหล็กหล่อ 28wt%Cr-2.4wt%C (R) และเหล็กหล่อ Mo1 | 41 |
| 4.18 | ผลของการเติมโนโนลิกดินัมและดีสเตบีไลเซชันต่อน้ำหนักที่หายไปหลังทดสอบการสึกกร่อน | 43 |
| 4.19 | ลักษณะพื้นผิวขึ้นงานก่อนและหลังทดสอบการสึกกร่อน | 43 |
| 4.20 | ภาพถ่ายจากกล้องจุลทรรศน์อิเล็กตรอนแบบส่องกราด (SEI) แสดงพื้นผิวที่เสียหายหลังทดสอบการสึกกร่อนของเหล็กหล่อ 28wt%Cr-2.4wt%C (R) ในสภาพหล่อ | 44 |
| 4.21 | ภาพถ่าย SEI แสดงพื้นผิวที่เสียหายหลังทดสอบการสึกกร่อนของเหล็กหล่อ Mo1 ในสภาพหล่อ | 45 |
| 4.22 | ภาพถ่าย SEI แสดงพื้นผิวที่เสียหายหลังทดสอบการสึกกร่อนของเหล็กหล่อ 28wt%Cr-2.4wt%C (R) ที่ผ่านการทำดีสเตบีไลเซชัน | 46 |
| 4.23 | ภาพถ่าย SEI แสดงพื้นผิวที่เสียหายหลังทดสอบการสึกกร่อนของเหล็กหล่อ Mo1 ที่ผ่านการทำดีสเตบีไลเซชัน | 47 |

บทที่ 1

บทนำ

1.1 ความสำคัญและที่มาของงานวิจัย

เหล็กหล่อโครงเมียมสูงที่มีส่วนผสม 28wt%Cr เป็นเหล็กหล่อกลุ่มสำคัญที่มีการผลิตในเชิงพาณิชย์ในประเทศไทย เพื่อผลิตชิ้นส่วนที่ต้องการความต้านทานการสึกหรอ เช่น ลูกบดในอุตสาหกรรมเหมืองแร่ ปั๊มสูบสารเหลวขันในอุตสาหกรรมสกัดโลหะ และแผ่นรองรับถังเชื้อเพลิงในอุตสาหกรรมซีเมนต์ เป็นต้น เนื่องจากเหล็กหล่อกลุ่มนี้มีโครงสร้างปะกอบด้วยคาร์ไบด์ที่แข็ง มีความต้านทานการขัดถูในระดับที่น่าพอใจ แต่ในการใช้งานในสภาพวารุณแรงที่มีทั้งการสึกหรอและการกัดกร่อน อายุการใช้งานของเหล็กหล่อกลุ่มนี้จะสั้นลง จากการใช้งานปั๊มสูบสารเหลวขันในอุตสาหกรรมสกัดแร่สังกะสี จังหวัดตาก พบร่วงอายุการใช้งานสั้นเพียง 160 ชั่วโมง ดังรูปที่ 1.1 ดังนั้นการปรับปรุงความต้านทานการสึกหรอและการกัดกร่อนของเหล็กหล่อกลุ่มนี้จึงมีความสำคัญอย่างยิ่ง โดยทั่วไปวิธีในการปรับปรุง คือ การเติมธาตุ เช่น โมลิบดินัม เพื่อเพิ่มปริมาณคาร์ไบด์ในโครงสร้าง อีกวิธีหนึ่งคือการรวมวิธีทางความร้อนเพื่อให้โครงสร้างเมทริกซ์เป็นมาเทนไซต์ จากเหตุผลดังกล่าวจึงเป็นที่มาของงานวิจัยนี้ โดยคาดว่าผลการทดลองที่ได้จะเป็นประโยชน์ต่อวงการวิชาการทางเหล็กหล่อและอุตสาหกรรมหล่อโลหะไทย ในการพัฒนาเหล็กหล่อโครงเมียมสูงเพื่อใช้งานภายใต้สภาพวารุณแรง



รูปที่ 1.1 ใบพัด (impeller) ที่ผลิตจากเหล็กหล่อโครงเมียมสูง 25wt%Cr-3wt%C ในโรงกลูแรสังกะสี จังหวัดตาก (ก) ก่อนการใช้งาน (ข) หลังการใช้งานประมาณ 6 วัน

1.2. วัตถุประสงค์ของโครงการวิจัย

เพื่อศึกษาความสัมพันธ์ระหว่างโครงสร้างจุลภาค ความแข็ง และความต้านทานการสึกกร่อน ของเหล็กหล่อ 28wt%Cr ที่เติมโมลิบดินัม และผ่านกรรมวิธีทางความร้อน

1.3. ขอบเขตของโครงการวิจัย

- ศึกษาเหล็กหล่อโครงเมียมสูง 28wt%Cr-2.4wt%C ที่ไม่เติมและเติมโมลิบดินัมในปริมาณ 1wt%
- กรรมวิธีทางความร้อนประกอบด้วยการอบอ่อน และการทำดีสเทบีไลเซชัน
- ทดสอบความแข็งแบบบิกเกอร์ และทดสอบการสึกกร่อนแบบ Slurry pot
- ศึกษาโครงสร้างด้วยเทคนิคการเลี้ยวเบนของรังสีเอกซ์ กล้องจุลทรรศน์แสง และกล้องจุลทรรศน์อิเล็กตรอนแบบส่องกราด

1.4 ทฤษฎี สมมุติฐาน และกรอบแนวคิดของโครงการวิจัย

การเติมโมลิบดินัมในเหล็กหล่อโครงเมียมสูง 28wt%Cr ที่มีอัตราส่วนของ Cr/C ประมาณ 10 จะทำให้เกิดคาร์ไบด์ M_6C , $M_{23}C_6$, M_3C , M_2C หรือ MC ร่วมกับคาร์ไบด์ M_7C_3 ทำให้ปริมาณของคาร์ไบด์ในโครงสร้างเพิ่มขึ้นและเมทริกซ์มีความแข็งแรงมากขึ้น เมื่อนำเหล็กหล่อไปผ่านกรรมวิธีทางความร้อนที่เหมาะสมจะทำให้ความแข็งมากเพิ่มมากยิ่งขึ้น การกระจายตัวของโครงเมียมในเมทริกซ์มีความสม่ำเสมอ ทำให้ความต้านทานการกัดกร่อนดีขึ้น นอกจากนี้การตกตะกอนของคาร์ไบด์ทุติยภูมิในเมทริกซ์มาแทนไขต์จะส่งผลให้ผลต่างระหว่างความแข็งของคาร์ไบด์กับเมทริกซ์ลดลง ทำให้การยืดเหยี่ยวระหว่างคาร์ไบด์และเมทริกซ์ดีขึ้น ดังนั้นจากเหตุผลดังกล่าวข้างต้นน่าจะทำให้ความต้านทานการสึกกร่อนของเหล็กหล่อดีขึ้นได้

1.5 ประโยชน์ที่คาดว่าจะได้รับ

ทราบผลของโมลิบดินัมและกรรมวิธีทางความร้อนต่อโครงสร้างจุลภาค ความแข็ง และความต้านทานการกัดกร่อนของเหล็กหล่อโครงเมียมสูง และสามารถนำไปใช้เป็นข้อมูลพื้นฐานสำหรับอุตสาหกรรมที่มีการใช้งานเหล็กหล่อชนิดนี้

บทที่ 2

ทฤษฎีและงานวิจัยที่เกี่ยวข้อง

2.1 ส่วนผสมทางเคมีของเหล็กหล่อโครงเมียมสูง

เหล็กหล่อโครงเมียมสูงเริ่มมีบทบาทสำคัญขึ้นมากในอุตสาหกรรมเหมืองแร่ และอุตสาหกรรมซีเมนต์ เนื่องจากในโครงสร้างประกอบด้วยโครงเมียมคาร์ไบด์ที่มีความแข็งสูง ทนการเสียดสีหรือการสึกหรอสูง (High abrasion resistance) ทำให้มีอายุการใช้งานยาวนาน การผลิตเหล็กหล่อโครงเมียมสูงได้ทำกันมาเป็นระยะเวลานานแล้ว โดยหลอมด้วยเตาคิวโพลาแต่การควบคุมคุณภาพกระทำได้ไม่ดีเท่าที่ควร เพราะการหลอมด้วยเตาคิวโพลาที่ควบคุมปริมาณคาร์บอนได้ยาก ทำให้เหล็กหล่อโครงเมียม มีปริมาณคาร์บอนสูงและเหล็กจะเปราะแตกหักง่าย แต่ปัจจุบันนี้หมวดไปมีอุบลรัตน์ Niagara work ได้ทำการทดลองหลอมเหล็กหล่อโครงเมียมสูง ด้วยเตาหลอมไฟฟ้า และสามารถผลิตเหล็กหล่อที่มีคาร์บอนต่ำ โดยสามารถเพิ่มปริมาณของโครงเมียมได้สูงถึง 30% ทำให้การใช้เหล็กหล่อโครงเมียมสูงเพิ่มมากขึ้นจนกลายเป็นคุ้มแข็งของเหล็กกล้าแมงกานีสสูงโดยเฉพาะที่ใช้ทำลูกบดวัสดุแข็ง เช่น ซีเมนต์และแร่ต่างๆ เหล็กหล่อโครงเมียมสูงมีการใช้งานอย่างกว้างขวางในงานที่ต้องการความทนทานต่อการสึกหรอแบบขัดถู (Abrasive wear) เช่น ในกระบวนการบรรจุสินแร่ การบดถ่านหินเป็นผง และการผลิตปูนซีเมนต์ ในปัจจุบันมีโรงหล่อผลิตเหล็กหล่อโครงเมียมสูงอยู่หลายเกรด แต่ที่นิยมผลิตมากที่สุดได้แก่เหล็กหล่อชนิด 2828 คือเหล็กหล่อที่มีคาร์บอน 2.8wt% และมีโครงเมียม 28wt%

เหล็กหล่อโครงเมียมสูงที่ได้รับการใช้งานส่วนใหญ่เป็นแบบไฮโป尤เทกติก ที่มีส่วนผสมอยู่ในช่วงของออกซิเจนในตัวซึ่งมีปริมาณโครงเมียม 10-30wt% และคาร์บอน 2-3.5wt% เหล็กหล่อที่มีปริมาณโครงเมียม 12wt% จะมีรากฐานที่สุด แต่ที่นิยมใช้งานโดยทั่วไปจะมีส่วนผสมในช่วง 18-22wt%Cr สำหรับเหล็กหล่อที่มีปริมาณโครงเมียม 27-30wt% และคาร์บอน 2.0-2.7wt% มักจะนำไปใช้ในงานที่ต้องการทั้งความทนทานต่อการสึกหรอ (Wear resistance) และการกัดกร่อน (Corrosion) เช่น การปั๊มของเหลวข้น (Slurry pumping) เป็นต้น ส่วนเหล็กหล่อ 30-35wt%Cr จะใช้ในงานที่ต้องการความต้านทานการเกิดออกซิเดชันและการกัดกร่อนที่อุณหภูมิสูง เช่น ขันส่วนของเตาเผา โดยโครงสร้างจุลภาคของเหล็กหล่อคุณนี้ประกอบด้วย

เฟอร์ไรต์และยูเทกติกคาร์ไบด์ [1-6]

มาตรฐานเหล็กหล่อโครงเมียมสูงไฮปอยูเทกติก (Hypoeutectic) ที่มักจะถูกอ้างอิงว่ามี 2 มาตรฐาน คือ British standard (BS484) และ ASTM standard A-532สำหรับ JIS ยังไม่ปรากฏว่ามีมาตรฐานเหล็กหล่อโครงเมียมสูง โดยมาตรฐานเหล็กหล่อโครงเมียมสูงของอังกฤษแบ่งเป็น 5 เกรด ดังแสดงในตารางที่ 2.1 ส่วนมาตรฐานเหล็กหล่อโครงเมียมสูงของอเมริกา A.S.T.M. แบ่งออกเป็น 6 เกรด ดังตารางที่ 2.2 [1, 3, 6-8]

ตารางที่ 2.1 ส่วนผสมทางเคมีและความแข็งของเหล็กหล่อโครเมียมสูง (BS 4844)

| Grade | Chemical Composition% | | | | | | | | As-casthardness H _B min |
|-------|-----------------------|-------------------|---------|-------|-------|-------|-------|------------------|---------------------------------------|
| | C | Si _{max} | Mn | Cr | Mo | Ni | Cu | P _{max} | |
| 3A | 2.4-3.0 | 1.0 | 0.5-1.5 | 14-17 | 0-2.5 | 0-1.0 | 0-1.2 | 0.1 | 450 |
| 3B | 3.0-3.6 | 1.0 | 0.5-1.5 | 14-17 | 1-3.0 | 0-1.0 | 0-1.2 | 0.1 | 500 |
| 3C | 2.2-3.0 | 1.0 | 0.5-1.5 | 17-22 | 0-3.0 | 0-1.5 | 0-1.2 | 0.1 | 450 |
| 3D | 2.4-2.8 | 1.0 | 0.5-1.5 | 22-18 | 0-1.5 | 0-1.0 | 0-1.2 | 0.1 | 400 |
| 3E | 2.8-3.2 | 1.0 | 0.5-1.5 | 22-28 | 0-1.5 | 0-1.0 | 0-1.2 | 0.1 | 400 |

ตารางที่ 2.2 ส่วนผสมทางเคมีของเหล็กหล่อโครเมียมสูง (ASTM A-532-87)

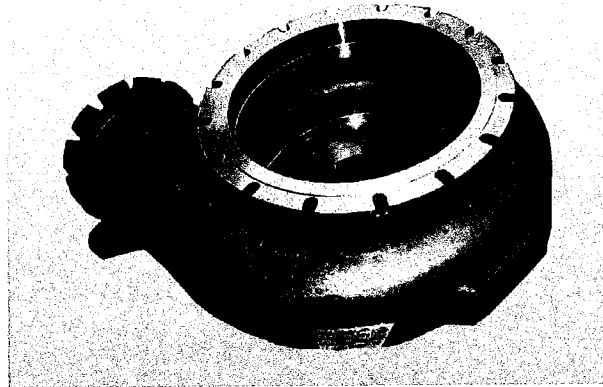
| Class | Type | Designation | Element (%wt) | | | | | | | | | |
|-------|------|-------------|--------------------|-----|-------|---------|-----------|-----|-----|------|-----|--|
| | | | C | Mn | Si | Ni | Cr | Mo | P | S | Cu | |
| I | A | Ni-Cr-HC | 2.8-3.6 | 2.0 | 0.8 | 3.3-5.0 | 1.4-4.0 | 1.0 | 0.3 | 0.15 | - | |
| | B | Ni-Cr-LC | 2.4-3.0 2.5-3.7 | 2.0 | 0.8 | 3.3-5.0 | 1.4-4.0 | 1.0 | 0.3 | 0.15 | - | |
| | C | Ni-Cr-GB | 2.5-3.6 | 2.0 | 0.8 | 4.0 | 1.0-1.5 | 1.0 | 0.3 | 0.15 | - | |
| | D | Ni-HiCr | | 2.0 | 2.0 | 4.5-7.0 | 7.0-11.0 | 1.5 | 0.1 | 0.15 | - | |
| II | A | 12%Cr | 2.0-3.3 | 2.0 | 1.5 | 2.5 | 11.0-14.0 | 3.0 | 0.1 | 0.6 | 1.2 | |
| | B | 15%Cr-Mo | 2.0-3.3 | 2.0 | 1.5 | 2.5 | 14.0-18.0 | 3.0 | 0.1 | 0.6 | 1.2 | |
| | D | 20%Cr-Mo | 2.0-3.3 | 2.0 | 1-2.2 | 2.5 | 18.0-23.0 | 3.0 | 0.1 | 0.6 | 1.2 | |
| III | A | 25Cr | 2.3-3.3 | 2.0 | 1.5 | 2.5 | 23.0-30.0 | 3.0 | 0.1 | 0.6 | 1.2 | |

การเติมธาตุ เช่น โมลิบดินัม นิกเกิล และทังสเทน ในเหล็กหล่อโครงเมียมสูงจะทำให้ความแข็งและความทานทนต่อการสึกหรอเพิ่มขึ้น โดยธาตุที่เติมจะรวมตัวกับคาร์บอนกลาไบเป็นคาร์ไบเดที่มีความแข็งสูงและส่งผลให้ปริมาณของยูเทกติการ์ไบเดทเพิ่มขึ้น การผสมโมลิบดินัมในเหล็กหล่อโครงเมียมสูงจะส่งผลด้านเพิ่มความทานทนการสึกหรอของเหล็กได้ โดยโมลิบดินัมจะรวมตัวกับคาร์บอนได้คาร์ไบเดทจะมีความแข็งสูงประมาณ 1000 HV50 นอกจากนี้ยังเพิ่มความสามารถในการขูบแข็งให้กับเหล็กหล่อเยื่อกั้วย โดยมีบทบาทในการป้องกันไม่ให้ออสเตรนในตัวเปลี่ยนไปเป็นเพริลไลต์ในขณะเหล็กเย็นตัวในแบบหล่อหรือในขณะที่ทำการรอมวิธีทางความร้อน การผสมโมลิบดินัมนอกจากจะเพิ่มความทานทนต่อการสึกหรอแล้ว ยังมีผลทำให้ความหนืดของเหล็กดีขึ้น โดยเฉพาะกับงานหล่อที่มีความหนามากๆ ในอุตสาหกรรมเหมืองแร่ ซึ่งเป็นอุปกรณ์สำหรับบดแร่ที่ต้องมีความทานทนต่อการกระแทกสูงจึงนิยมใช้เหล็กหล่อผสมทั้งโครงเมียมและโมลิบดินัม ถึงแม้ว่าเหล็กจะมีราคาแพงกว่าเหล็กผสมโครงเมียมเพียงอย่างเดียว ก็ตาม ดังที่ปรากฏในมาตรฐานเหล็กผสมโครงเมียม ASTM A532 ชั้นคุณภาพ 15Cr-Mo จะผสมโมลิบดินัม ในปริมาณ 1-3wt% โดยลดปริมาณโครงเมียมลงเหลือ 14-18wt% และในชั้นคุณภาพโครงเมียมปริมาณ 25wt% จะผสมปริมาณโมลิบดินัม ประมาณไม่เกิน 1.5wt% นอกจากนี้เหล็กหล่อโครงเมียมโมลิบดินัมบางชนิดที่ใช้กับงานหล่อที่มีความหนา มากๆ จะผสมนิกเกิลและทองแดงประมาณไม่เกิน 1wt% ลงไปเพื่อความมุ่งหมายในการเพิ่มความสามารถในการขูบแข็ง เช่น เหล็กหล่อผสมโครงเมียมและโมลิบดินัมที่มีตามมาตรฐาน BS 4844 เหล็กหล่อผสมโครงเมียมและโมลิบดินัม สามารถนำไปใช้งานได้ในสภาพหลอเพราะโครงสร้างที่ได้จะเป็นออสเตรนในตัว แต่เนื่องจากชั้นงานภายหลังการเย็นตัวในแบบทรายจะมีความเครียดเหลือค้างอยู่ จึงควรนำไปอบคลายความเครียดที่อุณหภูมิ 200-250°C เพื่อปรับปรุงความหนืดโดยไม่ทำให้ความแข็งลดลง

ตัวอย่างการใช้งานเหล็กหล่อโครงเมียมสูง [1]

ตัวถังปั๊มแบบหอยโข่ง

ขั้นส่วนนี้มักได้รับการระบุให้ผลิตโดยใช้เหล็กหล่อที่มีปริมาณโคโรเมียม 22wt% และคาร์บอน 2.8wt% ตามมาตรฐาน BS 4844:1986 เกรด 3E ถ้าหากมีการระบุให้ใช้ในสภาพขั้นงานหล่อจำเป็นต้องให้ความสำคัญกับปริมาณธาตุผสมที่เหมาะสม เพื่อหลีกเลี่ยงการเกิดเพริลไลต์ในเมทริกซ์แบบอสเทเนทในทุกบริเวณของชิ้นงาน ทางเลือกอีกทางหนึ่งคือการใช้ชิ้นงานที่มีเมทริกซ์แบบมาร์เกนซิติกที่มีความแข็งสูงกว่าและเหมาะสมกับงานที่ต้องทนทานต่อการสึกหรอแบบกัดเซาะ (Erosion) แม้ว่าตัวถังปั๊มแบบหอยโซ่จะมีลักษณะรูปร่างที่ค่อนข้างซับซ้อนก็ตาม ดังรูป 2.1 แต่ความหนาของบริเวณต่าง ๆ มีค่าใกล้เคียงกันประมาณ 50 มิลลิเมตร ทำให้กรรมวิธีทางความร้อนทำได้ไม่ยากนักเนื่องจากชิ้นงานหนาไม่มาก อีกทั้งลักษณะรูปร่างของชิ้นงานยังทำให้อากาศไหลเวียนได้อย่างสะดวกในระหว่างกรรมวิธีทางความร้อนโดยใช้พัดลมเป่า (Forced air quench) ปัญหาในระหว่างกรรมวิธีทางความร้อนอาจเกิดเฉพาะในกรณีที่ชิ้นงานมีน้ำหนักเกิน 200 กิโลกรัม และความหนาของบางบริเวณเปลี่ยนแปลงเกือบ 100% เช่นนี้ โดยเฉพาะอย่างยิ่งในระหว่างการเย็นตัวที่ก่อว่าอุณหภูมิการเกิดมาเหลนไซต์ (M_s temperature) หลังจากการอบชุบในอากาศ (Air quench) ในกรณีเช่นนี้อาจจำเป็นต้องระบุส่วนที่บางและป้องกันไม่ให้ส่วนนี้เย็นจนเร็วเกินไปเพื่อหลีกเลี่ยงการแตกร้าวอันเนื่องจากการเปลี่ยนเฟส



รูปที่ 2.1 ตัวถังปั๊มแบบหอยโ่เงื่ำสำหรับการขย่ายน้ำดินที่ผลิตจากเหล็กหล่อโครเมียม 26wt%Cr-3.3wt%C

แท่งสำหรับกระแทก

แท่งประภานี้มักจะมีขนาดความยาว 1 เมตร กว้าง 0.5 เมตร หนา 0.1 เมตร และชิ้นงานอาจจะมีช่องร้าง (Slot) ตามแนวยาว (Longitudinal) หรือตามขวาง (Transverse) ในตำแหน่งต่างๆ ดังรูปที่ 2.2 ชิ้นงานนี้ทำหน้าที่เป็นชิ้นส่วนที่ต้องทนทานต่อการสึกหรอในอุปกรณ์บดกระแทกแบบหมุน (Rotary impact crushers) และทำจากเหล็กหล่อตามมาตรฐาน BS4844 เกรด 3E แม้ว่าชิ้นส่วนนี้จะมีรูปร่างง่ายๆ ไม่ซับซ้อนมากนัก แต่ก็จำเป็นต้องได้รับการควบคุมคุณภาพของกรรมวิธีทางความร้อนอย่างระมัดระวัง แม้ว่าอัตราการเพิ่มอุณหภูมิหรือระยะเวลาที่แข็งงานดูเหมือนไม่มีปัญหามากนัก แต่ก็จำเป็นต้องสนใจเกี่ยวกับการจัดวางชิ้นงานในแทกบและ การลดอุณหภูมิด้วยอากาศ เช่น ห้ามวางแท่งสำหรับกันกระแทกนี้ช้อนๆ กันเหมือนเรียงอิฐ แต่ต้องจัดเรียงกันโดยทั้งที่ว่างเอ้าไว้พอดุมคร (อย่างต่ำ 0.1 เมตร) เพื่อให้มั่นใจว่าชิ้นงานได้รับการเพิ่มอุณหภูมิอย่างสม่ำเสมอและได้รับกรรมวิธีทางความร้อนมาที่อุณหภูมิท้อง



รูปที่ 2.2 เครื่องบดและแท่งสำหรับกระแทก (impact crusher) ผลิตจากเหล็กหล่อโครเมียมสูง (12-33)wt%Cr-(2.4-3.2)wt%C-(0.1-3)%Mo (สืบคันจาก www.jyscrusherparts.com/project/hazemag-apk50-blow-bars/)

2.2 เพสไดอะแกรมของระบบเหล็ก-โครเมียม-คาร์บอน [1-6, 9-10]

รูปที่ 2.3 แสดงส่วนผสมทางเคมีของเหล็กหล่อโครเมียมสูงตามมาตรฐาน ASTM A532 ในเพส ไดอะแกรมของ Thorpe and Chicco สำหรับเหล็กหล่อโครเมียมสูง IA, B and C ที่อยู่ส่วนล่างของรูปที่ 2.3 จะเกิดโครงสร้างยูเทกติกของอสเทนในต์และคาร์ไบด์ M_7C_3 ในขณะที่เหล็กหล่อ ID, IIA, B, C, D, E และ IIIA จะเกิดโครงสร้างยูเทกติกของอสเทนในต์และคาร์ไบด์ M_7C_3 ส่วนเหล็กหล่อเกรด ID ที่มีปริมาณโครเมียมสูง กว่าเกรด IA-C จะเกิดยูเทกติกของคาร์ไบด์ M_7C_3 ซึ่งบางส่วนจะเปลี่ยนเป็นคาร์ไบด์ M_3C ในระหว่างการเย็นตัว ทำให้เกิดโครงสร้างของคาร์ไบด์ดูเพล็กซ์ซึ่งจะมีขนาดเล็กกว่าคาร์ไบด์ M_3C ในเกรด IA-C ทำให้เหล็กหล่อเกรด ID มีความเหนียวสูงกว่า เมื่อปริมาณโครเมียมสูงขึ้นเช่น Solidus จะเลื่อนไปทางซ้ายมือ และปริมาณคาร์บอนในเดนไดเรตของอสเทนในต์จะลดลงในขณะที่อุณหภูมิของปฏิกิริยา>y เทกติกจะเพิ่มขึ้น

เหล็กหล่อโครเมียมสูงที่ได้รับการใช้งานส่วนใหญ่จะเป็นแบบไฮเปรียเตกติกที่มีส่วนผสม 10-30wt%Cr และ 2-3.5wt%C ที่อยู่ในช่วงของเฟสอสเทนในต์ ดังแสดงในรูปที่ 2.4 เหล็กหล่อกลุ่มนี้เมื่อแข็งตัวจากน้ำโลหะจะเกิดเป็นเดนไดเรตของอสเทนในต์ปฐมภูมิ ตามด้วยยูเทกติกของอสเทนในต์และยูเทกติกคาร์ไบด์ M_7C_3 จากการแข็งตัวของเหล็กหล่อที่มีส่วนผสม 30wt%Cr-2.3wt%C ในรูป 2.4 เริ่มจากการเกิดเป็นเดนไดเรตของอสเทนในต์ปฐมภูมิ ในขณะเดียวกันโครเมียมและคาร์บอนจะถูกผลักออก ทำให้น้ำโลหะมีปริมาณโครเมียมและคาร์บอนสูงขึ้น และเคลื่อนที่เข้าสู่จุดยูเทกติก (U_1-U_2) จนกระทั่งอุณหภูมิลดลงถึงปฏิกิริยา>y เทกติก ($L \rightarrow \gamma + M_7C_3$) จะเกิดโครงสร้างของยูเทกติก (Eutectic structure) คือยูเทกติกของอสเทนในต์และยูเทกติกคาร์ไบด์ M_7C_3 ระหว่างแขนเดนไดเรต (Interdendritic dendrite) ของอสเทนในต์ปฐมภูมิ การแข็งตัวของโลหะจะสมบูรณ์ก่อนจะถึงจุด U_2

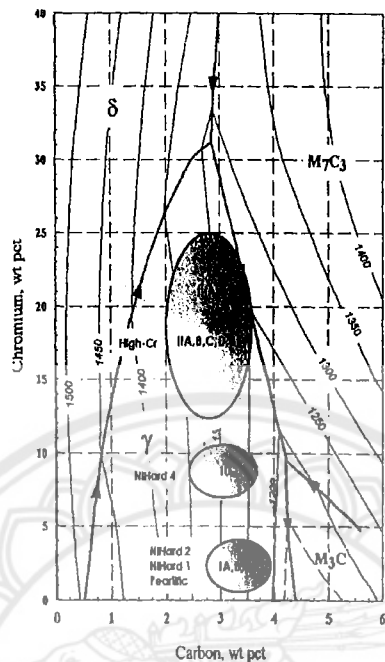
สำหรับเหล็กหล่อที่มีส่วนผสมในช่วง 2-2.5wt%C และโครเมียมมากกว่า 30wt%Cr จะแข็งตัวให้เดนไดเรตของเฟอร์ไรต์โดยเฟสนี้จะยังคงอยู่ในระหว่างการเย็นตัว โครงสร้างจุลภาคในสภาพหลังการหล่อของเหล็กหล่อกลุ่มนี้ประกอบด้วยเดนไดเรตของเฟอร์ไรต์ปฐมภูมิและยูเทกติกคาร์ไบด์ M_7C_3 ระหว่างแขนเดนไดเรต จะเกิดเฟสเฟอร์ไรต์ปฐมภูมิ เหล็กหล่อกลุ่มนี้อ่อนกินไบโรมิ่งท่อต่อการสึกหรอ และไม่สามารถเพิ่มความแข็งโดยกรรมวิธีทางความร้อนได้ การใช้งานเหล็กหล่อกลุ่มนี้มักใช้งานที่ต้องการความต้านทานต่อ ความร้อน มีความต้านทานต่อการเกิดออกซิเดชันที่ดีแม้อุณหภูมิสูงถึง 1100°C และทนต่อการกัดกร่อนได้ดีในกรดออกซิไดซิง (Oxidizing acids) เนื่องจากเฟอร์ไรต์มีเสถียรภาพตลอดช่วงอุณหภูมิค่อนข้างกว้าง ตัวอย่างการใช้งาน

เหล็กหล่อกลุ่มนี้ เช่น ในโรงงานที่ทำชินเตอร์ริง โดยใช้เป็นชิ้นส่วนของเตาและหัวฉีดของเบรนเนอร์ (Burner nozzle) เป็นต้น เนื่องจากสามารถทนต่อการเกิดสะเก็ดที่ผิว (Scale) และทนต่อการพองตัว

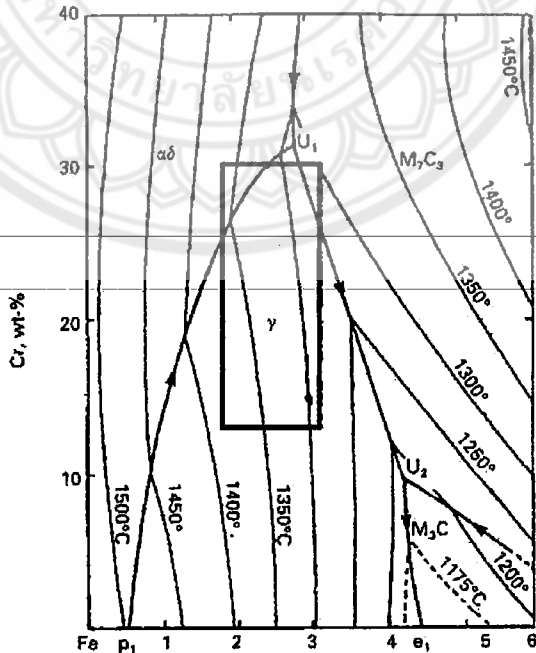
โดยทั่วไปแล้วเราจะเลือกเลี่ยงเหล็กหล่อที่มีส่วนผสมในช่วงที่เป็นแบบไฮเปรียเตกติกซึ่งทำให้เกิดเฟส คาร์ไบด์ปฐมภูมิ (Primary carbides) เนื่องจากการไบด์ปฐมภูมิเป็นเฟสที่มีขนาดใหญ่ทำให้ชิ้นงานหล่อประการแข็งตัวของเหล็กหล่อกลุ่มนี้เริ่มจากการเกิดเป็นคาร์ไบด์ M_7C_3 ปฐมภูมิ ทำให้น้ำโลหะมีปริมาณโครเมียม และคาร์บอนลดลงและเคลื่อนที่เข้าสู่ปฏิกิริยา>y เทกติก (U_1-U_2)

ในส่วนของโครงสร้างพื้นหรือโครงสร้างเมทริกซ์จะต้องมีความแข็งสูง มีความต้านทานการขัดถูสูงสุด ซึ่งควรที่จะเป็นโครงสร้างของมาร์เกนไซต์หรืออาจเป็นอสเทนในต์ตากค้าง ถ้าชิ้นงานหล่อมีความหนามากๆ การทำให้เหล็กหล่อโครเมียมสูงมีโครงสร้างพื้นเป็นมาร์เกนไซต์หรืออสเทนในต์จะเป็นไปได้ยาก เพราะการเย็นตัวจะข้าทำให้โอกาสที่ได้โครงสร้างพื้นเป็นเพรลไลต์มีมากแม้จะเพิ่มปริมาณโครเมียมให้สูงขึ้น ในกรณีที่ชิ้นงานมีความหนามากๆ จะสามารถทำให้เหล็กหล่อโครเมียมสูงมีโครงสร้างพื้นเป็นมาร์เกนไซต์หรืออสเทน

ในต่อไป โดยการเติมธาตุผสมและกรรมวิธีทางความร้อน แต่ในงานบางประเภทอาจใช้โครงสร้างพื้นแบบ ออสเทนนิติกได้ เนื่องจากเฟสของออสเทนในตัวจะมีความแข็งเพิ่มขึ้นเมื่อได้รับแรงกระทำ



รูปที่ 2.3 แผนภาพของระบบเหล็ก-โครเมียม-คาร์บอน ของ Thorpe และ Chicco แสดงส่วนผสมของ เหล็กหล่อโครเมียมสูงที่ใช้งานโดยทั่วไปซึ่งมีโครงสร้างเป็นเฟสออสเทนในตัว [2]

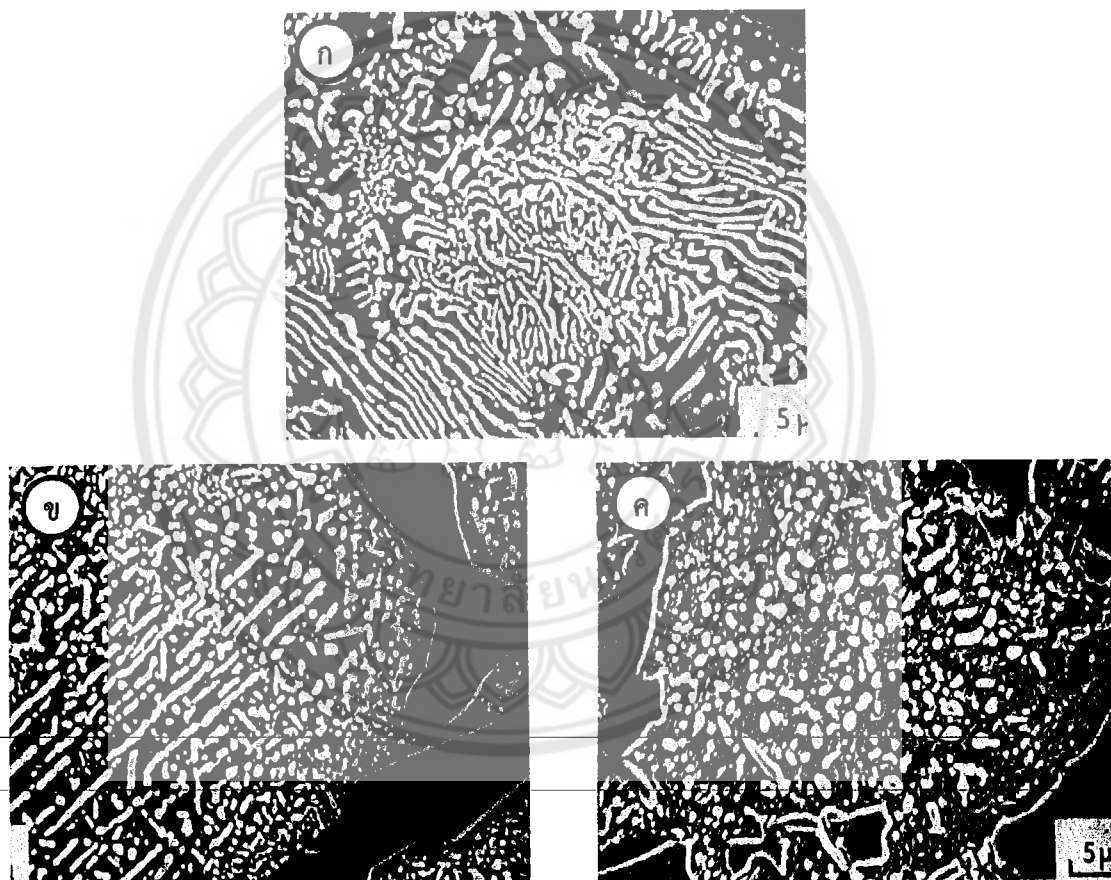


รูปที่ 2.4 แผนภาพแสดงสภาพของพื้นผิวนิวคลิดัส (Liquidus surface) ของระบบเหล็ก-โครเมียม-คาร์บอน ก่อร่องสีเหลี่ยมแสดงส่วนผสมของเหล็กหล่อโครเมียมสูงแบบไฮโปyletic ที่ใช้งานโดยทั่วไป [3]

2.3 กรรมวิธีทางความร้อน

2.3.1 การอบอ่อน (Annealing)

การอบอ่อนมีความมุ่งหมายเพื่อต้องการให้เหล็กอ่อนตัวลง (Softening) หรือเพื่อทำให้เหล็กเหนียวขึ้น (Toughening) ส่วนใหญ่เหล็กที่ผ่านการขันรูปเย็น (Cold Working) หรือการหล่อมามักจะมีความแข็งเพิ่มขึ้นและไม่ส่งเสริมอ ทำให้การกลึงหรือไส้ยากร ดังนั้นจึงจำเป็นต้องลดความแข็งของเหล็กเพื่อจะได้กลึงหรือไส้ได้สะดวกด้วยการอบอ่อน [1-2] ซึ่งทำได้โดยการอบชิ้นงานที่อุณหภูมิ $750\text{--}950^\circ\text{C}$ เป็นเวลา 4-8 ชั่วโมง แล้วปล่อยให้ชิ้นงานเย็นตัวภายในเตาอย่างช้าๆ การอบอ่อนจะทำให้ได้เมทริกซ์ที่อ่อน เนื่องจากโครงสร้างจุลภาคหลังการอบอ่อนประกอบด้วยเพริลลิติการ์บิดและเฟอร์ไรต์ ทำให้มีความแข็งต่ำกว่า 400 HV ดังรูป 2.5 โดยการอบอ่อนที่อุณหภูมิ $900\text{--}950^\circ\text{C}$ ทำให้ค่าความแข็งลดลงต่ำที่สุดคือ 350 HV และมีค่าความแข็งต่ำกว่าการอบอ่อนที่อุณหภูมิ 750°C เพียง 15-20 HV [1,11]



รูปที่ 2.5 โครงสร้างจุลภาคของเหล็กหล่อโครงเมียมสูง 20wt%Cr-2.5wt%C-1wt%Mo หลังจากการอบที่ อุณหภูมิต่างๆ เป็นเวลา 4 ชั่วโมง แล้วปล่อยให้ชิ้นงานเย็นตัวอย่างช้าๆ (ก) อบที่ 750°C ความแข็ง 400 HV (ข) อบที่ 850°C ความแข็ง 390 HV (ค) อบที่ 950°C ความแข็ง 350 HV [1]

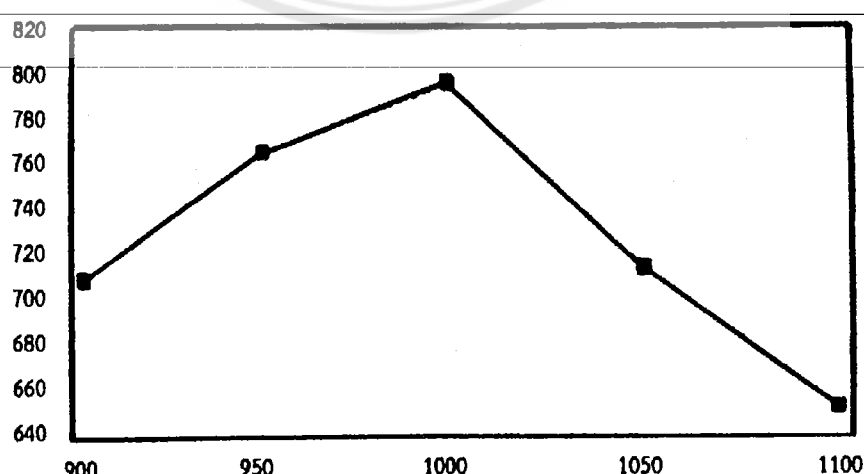
2.3.2 ดีสเตบิไลเซชัน (Destabilization)

เหล็กหล่อโครงเมียมสูงจะอบที่อุณหภูมิ $950\text{--}1050^{\circ}\text{C}$ เพื่อให้การบอนและโครงเมียมที่ละลายอยู่ในออสเทนไนต์ (ในสภาพหล่อ) ในลักษณะเกินจุดอิ่มตัวที่ออสเทนไนต์จะยอมให้ละลายได้ การอบขึ้นนี้จะเรียกว่าดีสเตบิไลเซชัน ทำให้การบอนและโครงเมียมแยกตัวออกจากรวมกันเป็นคาร์ไบด์ทุติยภูมิ (Secondary Carbide) เป็นการลดปริมาณการบอนในออสเทนไนต์ทำให้ความสามารถในการขูดแข็งของออสเทนไนต์เพิ่มขึ้น กล่าวคือ การลดปริมาณการบอนในออสเทนไนต์ทำให้มีโอกาสเกิดเฟสเพรลไลต์น้อยลงหรือมีโอกาสเกิดเฟสมาร์เกนไฮต์มากขึ้น หลังจากการดีสเตบิไลเซชันความแข็งมีค่าเพิ่มขึ้น เนื่องจากการตกลงกันการไบต์ทุติยภูมิในโครงสร้างมาร์เกนไฮต์ [1-6]

การเย็นตัวด้วยอากาศ (Air Quenching) จะต้องทำอย่างรวดเร็วและทันทีจากระดับอุณหภูมิของ การอบดีสเตบิไลเซชัน เพื่อป้องกันการเปลี่ยนโครงสร้างเป็นเพรลไลต์ ซึ่งอัตราเร็วในการเย็นตัวจากการอบขึ้นนั้นจะขึ้นอยู่กับปริมาณโลหะผสมที่ใช้ซึ่งจะต้องมีความสมดุล การเย็นตัวในอากาศสามารถเร่งให้เกิดเร็วขึ้นด้วย การใช้พัดลมและการพ่นละอองน้ำ แต่สิ่งที่สำคัญคือจะต้องเป็นการเย็นสม่ำเสมอทั่วทั้งชิ้นงาน และจากทุก ทิศทางของงานหล่อเพื่อลดความเค้นตกค้างและให้เกิดความเค้นน้อยที่สุด การควบคุมส่วนผสมทางเคมีนั้น มีความจำเป็นอย่างยิ่งเพื่อให้ขึ้นส่วนที่มีความหนาแน่นและความสามารถในการขูดแข็งได้เพียงพอ อย่างไรก็ตามการ เติมธาตุผสมบางอย่างมากเกินไป เช่น โมลิบเดนัม ทองแดง แมงกานีส หรือนิกเกิล จะทำให้ระยะเวลาในการ อบดีสเตบิไลเซชันสูงขึ้น และทำให้ปริมาณออสเทนไนต์ตกค้างสูงขึ้น ซึ่งจะทำให้สมรรถนะด้านความต้านทาน การสึกหรอต้ออยลง สำหรับการเติมธาตุผสมน้อยเกินไปอาจทำให้เกิดเพรลไลต์ ทั้งในขั้นงานที่ผ่านการอบขึ้น หรือขั้นงานหล่อที่ต้องการให้มีโครงสร้างพื้นแบบออสเทนนิติก [1]

การตกลงกันของการไบต์ทุติยภูมิจะขึ้นอยู่กับองค์ประกอบทางเคมีและอุณหภูมิที่ทำให้เกิด คาร์ไบด์ชนิด M_7C_3 และ/หรือ $M_{23}C_6$ ในเหล็กหล่อโครงเมียมสูงจะเกิดการตกลงกันจากศูนย์กลางไปจนถึง ขอบด้านนอกของโครงสร้าง ปริมาตรของคาร์ไบด์ตกลงกันจะเพิ่มเมื่อเวลานานขึ้นส่งผลให้การบอนใน ออสเทนไนต์ลดลงและอุณหภูมิของมาร์เกนไฮต์เพิ่มขึ้นซึ่งจะช่วยลดปริมาณออสเทนไนต์ตกค้างหลังการเย็นตัว ในแบบหล่อ [1, 4-7] รูปที่ 2.6 แสดงผลของอุณหภูมิดีสเตบิไลเซชันต่อค่าความแข็งของเหล็กหล่อ $20\text{wt\%Cr-2wt\%C-2wt\%Mo}$ ซึ่งอุณหภูมิที่เหมาะสมคือ 1000°C ถ้าอุณหภูมิต่ำหรือสูงเกินไปจะทำให้ความแข็งลดลง

Hardness (Hv30)

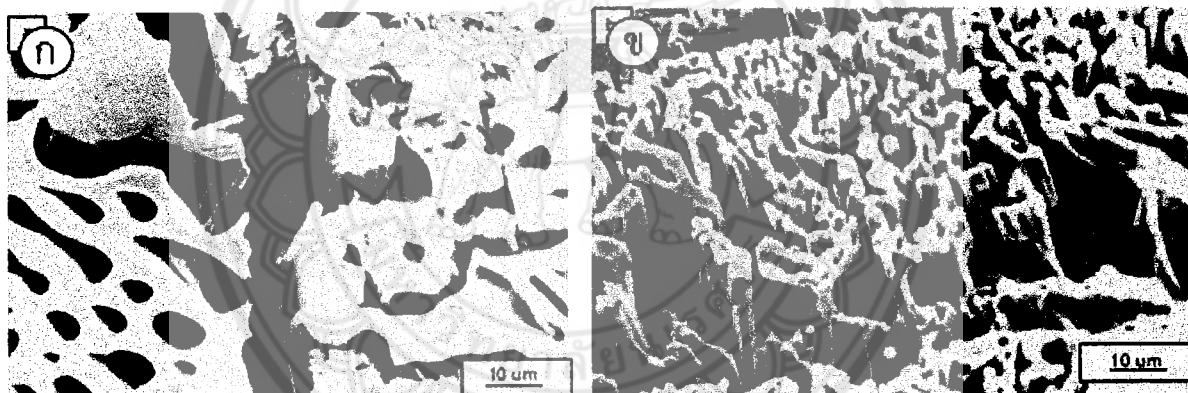


รูปที่ 2.6 ผลของอุณหภูมิในการอบดีสเตบิไลเซชันต่อค่าความแข็งของเหล็กหล่อ $20\text{wt\%Cr-2wt\%C-2wt\%Mo}$ [1]

2.4 คาร์บิดในเหล็กหล่อโครงเมียมสูง

คาร์บิดยูเทกติก

ขันดและรูปร่างของคาร์บิดในเหล็กหล่อโครงเมียมสูงขึ้นอยู่กับส่วนผสมทางเคมีและอัตราการเย็นตัว [7,12-13] การเพิ่มปริมาณโครงเมียมและคาร์บอนจะทำให้คาร์บิดยูเทกติกชนิด M_3C ที่มีลักษณะต่อเนื่องเปลี่ยนเป็นชนิด M_7C_3 ที่ไม่ต่อเนื่อง ทำผลให้ความหนาวยิ่งสูงขึ้น [12] เมื่อปริมาณโครงเมียมต่ำกว่า 12wt% คาร์บิดยูเทกติกจะเป็นชนิด M_3C โดยที่โครงเมียมต่ำกว่า 6wt% ยูเทกติกคาร์บิดจะต่อเนื่องกันมากขึ้น แต่ถ้าโครงเมียมอยู่ระหว่าง 8-10wt% คาร์บิดยูเทกติกจะต่อเนื่องน้อยลงและจะมีลักษณะเป็นคลุกเคลือกโดยมีแกนกลางเป็น M_7C_3 และล้อมรอบด้วย M_3C แต่ถ้าปริมาณโครงเมียมสูงกว่า 12wt% คาร์บิดยูเทกติกจะเป็นชนิด M_7C_3 ที่ไม่ต่อเนื่องหรือเป็นแบบ lamellar [8,14] จากรูปที่ 2.7 เมื่อเปรียบเทียบลักษณะของคาร์บิดยูเทกติกในเหล็กหล่อ 3.6wt%C-5wt%Cr และ 2.4wt%C-30wt%Cr จะเห็นว่าคาร์บิดชนิด M_7C_3 ในเหล็กหล่อ 30wt%Cr จะมีรูปร่างเป็นแท่งหกเหลี่ยมและเป็นแผ่น ส่วนคาร์บิดชนิด M_3C ในเหล็กหล่อ 5wt%Cr จะมีลักษณะที่ต่อเนื่องมากกว่า ส่วนชนิดและความแข็งของคาร์บิดในเหล็กหล่อโครงเมียมสูง แสดงดังตารางที่ 2.3

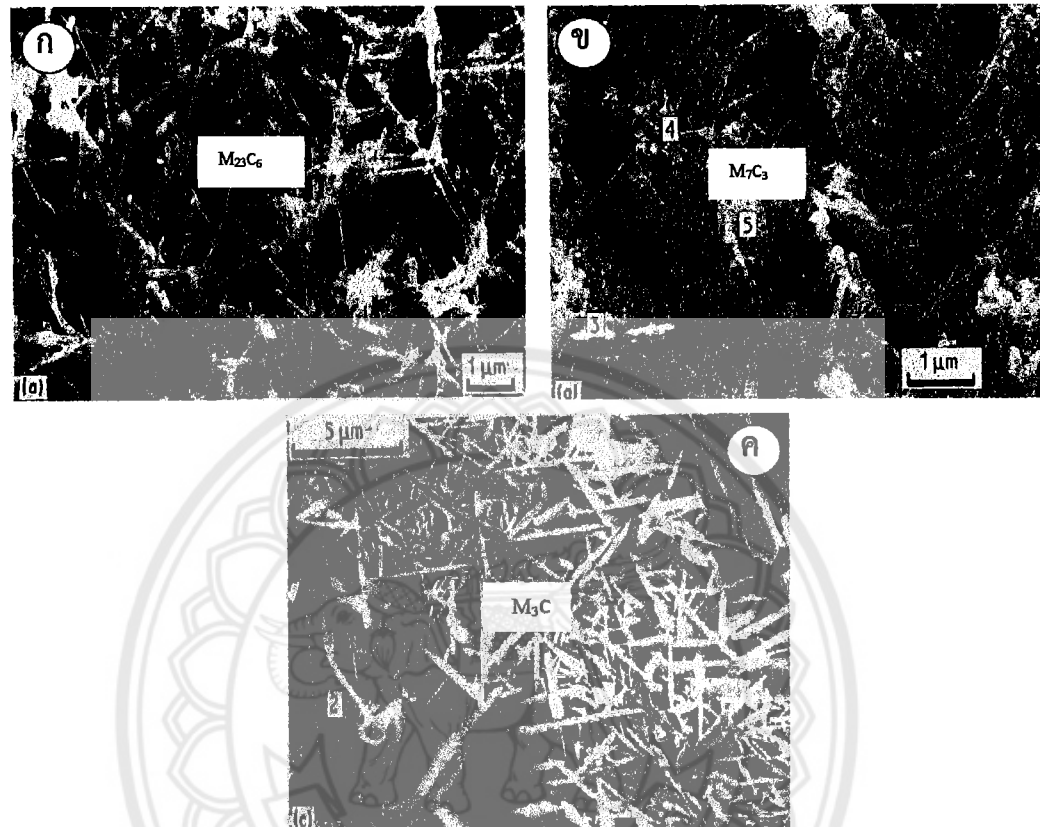


รูปที่ 2.7 โครงสร้าง Deep etched เปรียบเทียบลักษณะของยูเทกติกคาร์บิด (ก) คาร์บิดชนิด M_3C ในเหล็กหล่อ 3.6wt%C-5wt%Cr จะมีลักษณะที่ต่อเนื่อง (ข) คาร์บิดชนิด M_7C_3 ในเหล็กหล่อ 2.4wt%C-30wt%Cr ที่มีขนาดเล็กและต่อเนื่องน้อยกว่า [1,7]

คาร์บิดทุติยภูมิ

ตามที่ได้กล่าวมาแล้วเหล็กหล่อโครงเมียมสูงที่มีโครงสร้างเป็นแบบօสเทนในตัวมีความต้านทานต่อการสึกหรอต่ำ ซึ่งสามารถปรับปรุงสมบัติโดยการทำดีสเตรบิไลเซชัน ซึ่งจะทำให้เกิดคาร์บิดทุติยภูมิตatkอนในเมทริกซ์ของมาเทนไชต์ ชนิดของคาร์บิดทุติยภูมิขึ้นอยู่กับส่วนผสมทางเคมีและอุณหภูมิในการทำดีสเตรบิไลเซชัน โดยเหล็กหล่อที่มีโครงเมียมอยู่ระหว่าง 25-30wt% ชนิดของคาร์บิดทุติยภูมิจะเป็น $M_{23}C_6$ ซึ่งมีลักษณะเป็นแท่งขนาดเล็กและต่อเนื่องกัน ส่วนเหล็กหล่อที่มีโครงเมียมระหว่าง 15-20wt%Cr คาร์บิดทุติยภูมิเป็นชนิด M_6C และ M_7C_3 ที่มีลักษณะเป็นแท่ง ส่วนเหล็กหล่อที่มีปริมาณโครงเมียมต่ำกว่าจะเป็นชนิด

M_3C ที่เป็นแผ่นหรือเป็นเข็ม [4-7, 15] ในรูปที่ 2.8 เปรียบเทียบชนิดและรูปร่างของการ precipitate ทุติยภูมิในเหล็กหล่อที่มีปริมาณโคโรเมียมต่าง ๆ กัน



รูปที่ 2.8 (ก) คาร์ไบด์ทุติยภูมิ $M_{23}C_6$ ในเหล็กหล่อ 29.3wt%Cr-2.5wt%C (ข) คาร์ไบด์ทุติยภูมิ M_7C_3 ในเหล็กหล่อ 17.7wt%Cr-3.1wt%C (ค) คาร์ไบด์ทุติยภูมิ M_3C ในเหล็กหล่อ 8.8wt%Cr-3.0wt%C [1]

ตารางที่ 2.3 ชนิดและความแข็งของคาร์บิดที่พบในโลหะผสมเหล็ก-โครเมียม-คาร์บอน [15]

| Type | Crystalline system | Lattice Constance (A°) | Specific Gravity | Hardness(HV) |
|---------------------------------------|--------------------|-----------------------------|------------------|--------------|
| (Fe, Cr) ₃ C | Rhombic | a=4.52 b=5.09 c=6.74 | 7.67 | ≈1100 |
| | Hexagonal | a=6.88 b=4.54 | | |
| (Fe, Cr) ₇ C ₃ | Rhombic | a=4.54 b=6.88 c=11.94 | 6.92 | ≈1400 |
| | Rhombohedral | a=13.98 b=4.52 | | |
| (Fe, Cr) ₂₃ C ₆ | F.C.C. | a=10.64 | 6.97 | ≈1000 |
| (Fe, Cr Mo) ₆ C | F.C.C. | a=11.08 | 6.68 | ≈1200-1800 |

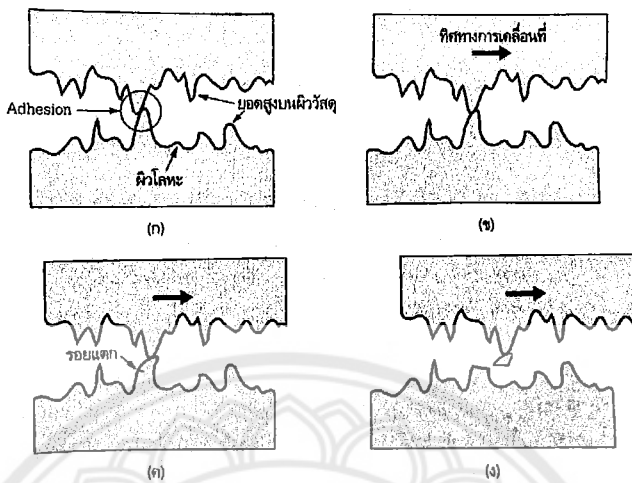
2.5 การสึกหรอของโลหะ [16]

การสึกหรือเป็นการหลุดของผิววัสดุจากการถูกแรงกระทำขณะที่ผิวเคลื่อนที่สัมผัสกับอีกผิวนึง การสึกหรอเกิดได้หลายรูปแบบ เช่น การสึกหรอจากการไถลระหว่างผิว (Sliding wear) การขัดถูของอนุภาคกับผิว (Abrasion) การชนของอนุภาคขนาดเล็กหรือของเหลวกับผิว (Erosion) เป็นต้น ลักษณะหรือกลไกการเกิดการสึกหรอของวัสดุแต่ละชนิดก็แตกต่างกันไป การสึกหรอจะข้าหรือเริ่วขึ้นกับ荷载 ของค่าประกอบ เช่น โครงสร้างจุลภาคของผิว ชนิดของวัสดุ ลักษณะการเคลื่อนที่ของวัสดุ ลักษณะของแรงกระทำหรือการโหลด (Nature of loading) ปฏิกิริยาเคมี และอุณหภูมิ เป็นต้น การสึกหรอที่พบโดยทั่วไปมักมีความซับซ้อนมีหลายกลไกเกิดพร้อมๆ กัน บางที่ก็ไม่สามารถระบุการสึกหรอที่เกิดได้แน่นอนว่าเป็นชนิดใด ซึ่งลักษณะการสึกหรอที่มักจะพบในอุตสาหกรรมทั่วไป สามารถแบ่งเป็น 4 ประเภท คือ การสึกหรอระหว่างโลหะหรือการสึกหรอแบบไถล ในกรณีที่มีสารหล่อลื่น (Metal-to-metalwear หรือ Adhesive wear) การสึกหรอแบบไถลในกรณีที่ไม่มีสารหล่อลื่น (Dry sliding wear) การสึกหรอแบบขัดถูซึ่งเป็นการสึกหรอจากผิวหรืออนุภาคแข็งที่มากระทำ (Abrasive wear) และการสึกหรอที่เกิดจากความล้าและการสึกหรอแบบถลกรุด (Fatigue และ Fretting wear)

2.5.1 การสึกหรอของเนื้อโลหะบนเนื้อโลหะ

เมื่อผิวน้ำของโลหะ 2 ผิวน้ำเคลื่อนที่เข้ามาสัมผัสนานายใต้แรงกด พันธะทางโลหะจะสามารถเกิดขึ้นได้ ณ บริเวณจุดสัมผัส พันธะที่เกิดขึ้นในบริเวณที่ยอดสูงของวัสดุมาแตะกันนี้เรียกว่าเป็นพันธะแบบแนบทติด (Adhesion) ในขณะที่ผิวน้ำ 2 ผิว เคลื่อนที่สัมพัทธ์ระหว่างกัน พันธะแบบแนบทติดจะสามารถยับและหลุดแตกออกจากกันได้ ในขณะเดียวกันยอดสูงเหล่านี้ก็อาจเกิดการแตกหักออกได้ เช่นกัน ถ้าหากว่าความ

แข็งแรงของพันธะโลหะนี้มีค่าสูงกว่าความแข็งแรงของยอดสูงของผิวน้ำหน้า ยอดสูงนั้นก็จะแตกและผิวน้ำหน้าจะสูญเสียเนื้อวัสดุไปให้กับคู่ผิวสัมผัส ดังรูปที่ 2.9



รูปที่ 2.9 ลักษณะของคู่ผิวสัมผัสที่เกิดการสึกหรอ

ในช่วงที่เกิดการสึกหรอการสร้างพันธะแบบแนบติดและการแตกหักของผิววัสดุดังที่กล่าวมา จะเกิดขึ้นพร้อมๆ กันอย่างต่อเนื่อง เป็นผลให้เกิดการสูญเสียเนื้อวัสดุจากผิวนี้ไปยังอีกผิวนึงตลอดเวลาซึ่งมักจะเกิดขึ้นทั้ง 2 ทาง โดยเฉพาะอย่างยิ่งถ้าวัสดุทั้ง 2 มีโครงสร้างลักษณะคล้ายกันหรือมีความเข้ากันได้ทางโครงสร้าง (Structural compatibility) ที่ดี เนื่องจากค่าความเสียดทานระหว่างผิววัสดุจะขึ้นอยู่กับความเข้ากันได้นี้

ถ้าหากวัสดุ A มีความแข็งแรงมากกว่าวัสดุ B โดยรวม วัสดุ B จะสูญเสียเนื้อวัสดุ A ในขณะที่วัสดุ A แตกออก ผิวน้ำหน้าใหม่ที่เปิดขึ้นบริเวณรอยแตกจะเกิดการออกซิเดชันซึ่งปฏิกิริยาจะถูกเร่งโดยความร้อนที่เกิดจากการเสียดสีทำให้เกิดออกไซเดร์บันผิววัสดุ เมื่อการสึกหรอดำเนินต่อไปและเกิดการแตกหักของยอดสูงอย่างต่อเนื่อง เช่นของเนื้อวัสดุที่แตกออกก็จะมาทับบนผิวน้ำสร้างเป็นชั้นชั้นมา ซึ่งชั้นนี้จะมีออกไซเดร์ของโลหะปะปนอยู่ด้วย (ออกไซด์ที่ฝังตัวอยู่จะทำให้เนื้อวัสดุบริเวณนั้นแตกง่าย) บางครั้งชั้นของเศษทับก็จะหลุดล่อนอกมาทำให้เกิดการสูญเสียเนื้อวัสดุจากทั้ง 2 ผิวสัมผัส

2.5.2 การสึกหรอจากการขัดถู (Abrasive wear)

วัสดุที่สามารถต้านทานการสึกหรอจากการขัดถูได้ดีมากจะมีโครงสร้างจุลภาคที่มี 2 เฟส ซึ่งประกอบด้วยเนื้อหลักที่มีความหนาแน่น และอนุภาคแข็งขนาดเล็กที่กระจายอยู่ทั่วไปในเนื้อหลัก ขณะที่เกิดการขัดถูวัสดุนี้จะสึกหรอออกไปด้วยสาเหตุต่างๆ ได้แก่ การสึกหรอของเนื้อหลักจากวัตถุที่มาขัดสีที่ไม่แข็งมากและการสึกหรอของเนื้อหลักและอนุภาคแข็งจากวัตถุที่มาขัดสีที่มีความแข็งสูง การสึกหรอและการกัดกร่อนเฉพาะที่บริเวณเนื้อหลักเท่านั้น การสึกหรอโดยการเปลี่ยนรูปของเนื้อหลัก การแตกและหลุดของอนุภาคแข็งภายในเนื้อหลัก การแตกจากความล้าเนื่องมาจากการกระทำซ้ำๆ ของแรงกดและการไถครุฑ์

2.5.3 การสึกหรอแบบไถลในสภาพแห้ง (Dry sliding wear)

การสึกหรอแบบไถลในสภาพแห้งหรือสภาพที่ปราศจากสารหล่อลื่น เช่น ที่เกิดขึ้นในระบบคลัตช์ หรือระบบเบรกในรถยนต์ เกิดขึ้นจากการที่คู่ผิวสัมผัสของวัสดุทั้ง 2 จะต้องดูดซับพลังงานโดยการถ่ายเทความร้อนออกไปเพื่อชลอและหยุดการเคลื่อนที่สัมพัทธ์ระหว่าง 2 ผิวน้ำ หรือเพื่อเริ่มการเคลื่อนที่ โดยป้องกันไม่ให้เกิดการสั่นสะเทือน ดังนั้นสมบัติทางด้านวัสดุที่สำคัญสำหรับคลัตช์และจานเบรก คือ ความสามารถในการนำความร้อนที่ดี สมบัติด้านการเสียดสีที่ดี ความแข็งแรงที่เพียงพอ ค่าโมดูลัสของความยืดหยุ่น (Elastic modulus) ที่ต่ำเพื่อลดการสะสมของความเค้น ซึ่งเกิดจากการขยายตัวเฉพาะพื้นที่เนื่องมาจากการร้อน เสถียรภาพทางโครงสร้างจุลภาคที่ดีในช่วงอุณหภูมิที่ใช้งานเพื่อลดปัญหาการขยายและหดตัวของผิวสัมผัต และความสามารถในการต้านทานการเกิดพันธะแบบแนบติด

2.6 การกัดกร่อนของโลหะ

โดยทั่วไปเหล็กหล่อหรือเหล็กกล้าที่มีปริมาณโคโรเมียมในเมทริกซ์มากกว่า 12wt% จะเกิดพิล์มของ Cr₂O₃ มากคุณผิวน้ำขึ้นงาน ทำให้ความต้านทานการกัดกร่อน (Corrosion resistance) ดีขึ้น แต่สำหรับเหล็กหล่อโคโรเมียมสูงจะต้องมีปริมาณของโคโรเมียมในเมทริกซ์มากกว่า 14wt% เนื่องจากหลังการแข็งตัว ปริมาณของโคโรเมียมบริเวณที่อยู่รอบๆ คาร์บิดจะมีปริมาณโคโรเมียมและคาร์บอนต่ำ [2] สำหรับความต้านทานการกัดกร่อนของเหล็กหล่อชนิดนี้จะขึ้นกับปริมาณของโคโรเมียมและโครงสร้างเมทริกซ์ ซึ่งพบว่าเมื่อปริมาณโคโรเมียมสูงขึ้น ความต้านทานการกัดกร่อนจะสูงขึ้น เนื่องจากเกิดสภาพแยกทีฟ-แพสซีฟ (Active-passive transition) [17-18] Pearce และคณะ [17] ได้ศึกษาลักษณะเฉพาะของแอนodic polarization (Anodic polarisation characteristics) ของเหล็กหล่อ 25%Cr และ 30%Cr ภายใต้สภาพที่ไม่มีการสึกหรอพบว่าเหล็กหล่อที่มีส่วนผสม 30%Cr จะมีความต้านทานการกัดกร่อนดีกว่าเหล็กหล่อ 25%Cr นอกจากนี้ยังพบว่าเหล็กหล่อที่ส่องมีความต้านทานการกัดกร่อนสูงขึ้นหลังการอบดีสเตบิไลเซชัน

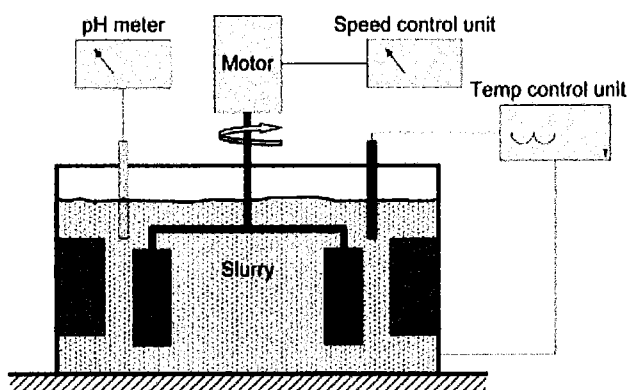
2.7 การสึกกร่อนในเหล็กหล่อโคโรเมียมสูง

ในการใช้งานหลายประเภท วัสดุจะต้องมีความต้านทานต่อการสึกหรอแบบขัดถูและการกัดกร่อนร่วมกัน หรือการสึกกร่อน (Erosion-corrosion) การสึกกร่อนเป็นรูปแบบการสูญเสียของวัสดุที่เกิดร่วมกันระหว่างปฏิกิริยาเคมีไฟฟ้าและการกระทำทางกล เช่น ในระบบปั๊ม ในท่อส่งสารละลายที่กัดกร่อน ซึ่งอาจมีสารแขวนลอยของแข็งผสม การกัดกร่อนแบบนี้จะถูกเร่งด้วยการชนของอนุภาค ซึ่งอาจทำให้เนื้อโลหะหลุดออก หรือทำให้ออกไซด์ที่ปกป้องผิวหลุดออก ส่งผลให้เนื้อโลหะถูกกัดกร่อนง่ายขึ้น ซึ่งขึ้นกับค่าความเป็นกรด-ด่าง ปริมาณคลอไรด์อิโอน และอุณหภูมิ โดยทั่วไปการใช้งานของเหล็กหล่อโคโรเมียมสูงมีทั้งในสภาพที่มีการสึกหรอ เช่น การสึกหรอแบบขัดถู (Abrasive wear) การสึกหรอแบบกัดเชาะ (Erosion) และการสึกกร่อน (Erosion-corrosion) ที่มีทั้งการสึกหรอจากอนุภาคที่แข็งและการกัดกร่อน Tang และคณะ [19] ได้ศึกษาความต้านทานการสึกกร่อนของเหล็กหล่อ 45wt%Cr-(1-6)wt%C ในของเหลวที่มีอนุภาคซิลิกาแขวนลอยในกรดซัลฟิวริกและโซเดียมไฮดรอกไซด์ (พีเอช 3-7) พบว่าเหล็กหล่อ 45wt%Cr-4wt%C หลังการดีสเตบิไลเซชัน คาร์บิดปูมภูมิที่มีแกนเป็น M₇C₃ ล้อมรอบด้วย M₂₃C₆ ทำให้ความต้านทานการสึกกร่อนดีที่สุด ซึ่งคาดว่าเป็นผลมาจากการเกิด M₂₃C₆ ที่อ่อนและเหนียวบริเวณขอบ ทำให้การยึดเหนี่ยวระหว่างคาร์บิดกับเมทริกซ์

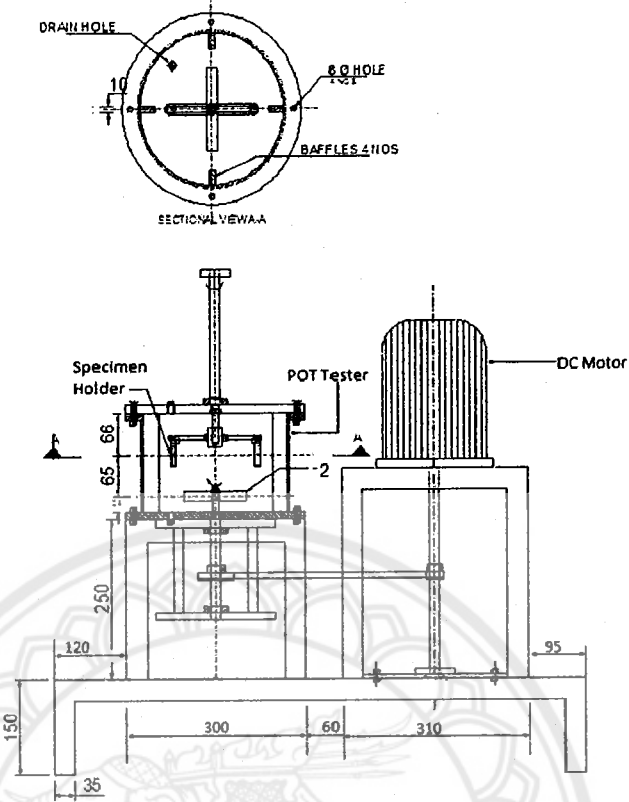
ดีขึ้น เมื่อปริมาณคาร์บอนเพิ่มมากขึ้น ทำให้ความต้านทานการกัดกร่อนลดลง เนื่องจากปริมาณของโครงเมียมในเมทริกซ์ลดลง ส่วน Imura และคณะ [20] ได้ศึกษาความต้านทานการสึกกร่อนในเหล็กหล่อ 28wt%Cr-(0-10)wt%Mo ในสภาพหล่อ ในสเลอเรรี่มีอนุภาคอะลูมินาขนาดใหญ่ในรัฐซัลฟิวเริก พบร้าเหล็กหล่อที่เติม 1wt%Mo อัตราการสึกกร่อนจะลดลงประมาณ 30% เมื่อเทียบกับเหล็กหล่อที่ไม่เติมโมลิบดินัม เนื่องจากผลต่างระหว่างความแข็งของคาร์ไบด์กับเมทริกซ์ลดลงและการเพิ่มขึ้นของความแข็ง เมื่อปริมาณโมลิบดินัมเพิ่มขึ้นเป็น 10wt% อัตราการสึกกร่อนจะลดลงเหลือประมาณ 7% เนื่องจากลักษณะของคาร์ไบด์ยังคงติดกันที่มีระยะห่างระหว่างคาร์ไบด์ลดลง ทำให้ช่วยป้องกันเมทริกซ์ไม่ให้ถูกทำลาย จากการวิจัยของ Shimizu และคณะ [21] พบร้าการเติม 3wt%Mo ในเหล็กหล่อ 16wt%Cr-2.9wt%C และ 26wt%Cr-2.9wt%C ที่ผ่านการทำดีสเตรบิไลเซชันและเหมเปอริง ความต้านทานการสึกหรอแบบกัดเซาะในน้ำที่อุณหภูมิ 900°C และอนุภาคอะลูมินาขนาดใหญ่ดีกว่าเหล็กหล่อที่ไม่เติมโมลิบดินัม เนื่องจากเกิดคาร์ไบด์ M_2C และ M_7C_3

สำหรับเครื่องทดสอบการสึกกร่อน มีการพัฒนาขึ้นเพื่อใช้วัดและศึกษาความสามารถในการต้านทานการสึกกร่อนของชิ้นงาน การทดสอบการสึกกร่อนมีจุดประสงค์ในการสร้างความเข้าใจถึงกลไกของการสึกกร่อน นอกจากนี้การทดสอบและเก็บข้อมูลการทดสอบในแต่ละช่วงเวลา เพื่อดูกลไกการสึกกร่อนก็สามารถทำได้ในห้องทดลอง ซึ่งจะไม่สามารถทำได้ในการทดสอบภาคสนามหรือการใช้งานจริง อย่างไรก็ตามการเปรียบเทียบผลการทดสอบที่ได้กับผลจากการใช้งานจริงยังทำได้ยาก เพราะการใช้งานจริงในแต่ละครั้งมักจะมีสิ่งที่แตกต่างกัน ทำให้ไม่สามารถหาค่าความเชื่อถือและความคลาดเคลื่อนของการทดสอบ สำหรับเครื่องมือที่ใช้ในการทดสอบการสึกกร่อนมีหลายลักษณะ เช่น Slurry jet tester, Coriolis erosion tester และแบบ Slurry pot โดยปัจจัยที่ส่งผลต่อความต้านทานการสึกกร่อน ของวัสดุ ได้แก่ โครงสร้างจุลภาคของชิ้นงาน មุมของชิ้นงานกับการตกรอบของอนุภาค ความเร็วในการเคลื่อนที่ของชิ้นงาน ชนิดและปริมาณของอนุภาค ความเข้มข้นและอุณหภูมิของของเหลว โดยทั่วไปธีการทดสอบการสึกกร่อนแบบ Slurry pot นิยมใช้ในห้องปฏิบัติการอย่างกว้างขวาง เนื่องจากง่ายในการออกแบบและการติดตั้ง ราคาถูก สามารถเคลื่อนย้ายง่าย และใช้ระยะเวลาในการทดสอบสั้น เครื่องทดสอบการสึกกร่อนแบบ Slurry pot ได้มีการออกแบบและพัฒนาให้เหมาะสมและใกล้เคียงกับสภาพการใช้งานจริงมากยิ่งต่อเนื่อง โดยในปี 2011 Tang และคณะ [19] ได้ออกแบบถังจากเหล็กกล้าสแตนเลส ขนาดเส้นผ่าศูนย์กลาง 32 เซนติเมตร สูง 30 เซนติเมตร มีแผ่นกั้น (Baffles plates) ติดอยู่ที่ผนังด้านในของถัง จำนวน 4 อัน ดังรูป 2.10 ในปี 2013 Shitole และคณะ [22]

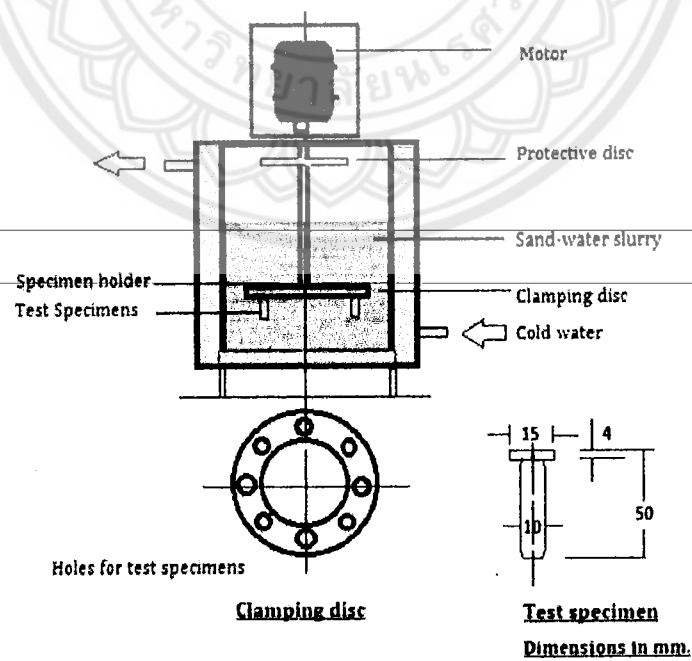
และในปี 2016 Gupta และคณะ [23] ได้ออกแบบเครื่องทดสอบการสึกกร่อน ดังรูป 2.11 และ 2.12



รูปที่ 2.10 เครื่องทดสอบ Slurry pot erosion-corrosion tester ของ Tang



รูปที่ 2.11 เครื่องทดสอบ Slurry pot erosion-corrosion tester ของ Shitole



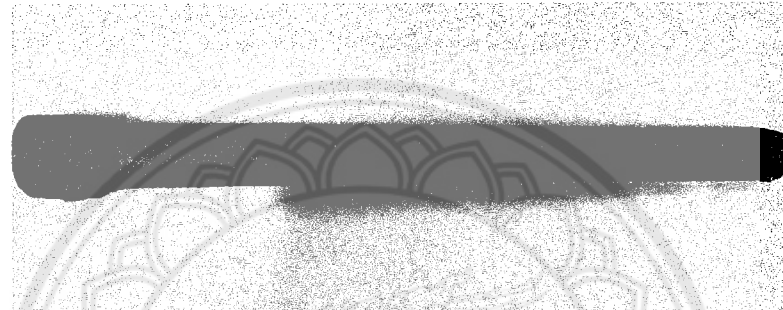
รูปที่ 2.12 เครื่องทดสอบ Slurry pot erosion-corrosion tester ของ Gupta

บทที่ 3

วิธีดำเนินการทดลอง

3.1 วัตถุดิบและส่วนผสมทางเคมี

เหล็กหล่อโครงเมียมสูงที่ใช้ในการทดลองเตรียมโดยการหล่อในแบบหล่อทรายเป็นรูปทรงกระบอกขนาดเส้นผ่าศูนย์กลาง 2.5 เซนติเมตรและยาว 30 เซนติเมตร ดังรูป 3.1 โดยเหล็กหล่อ มี 2 ส่วนผสม คือเหล็กหล่อ 28wt%Cr ที่ไม่เติมโมลิบดีนัม (R) และเติมโมลิบดีนัม 1.4wt% (Mo1) ดังแสดงในตาราง 3.1



รูปที่ 3.1 เหล็กหล่อโครงเมียมสูงที่ผ่านการหล่อในแบบหล่อทราย

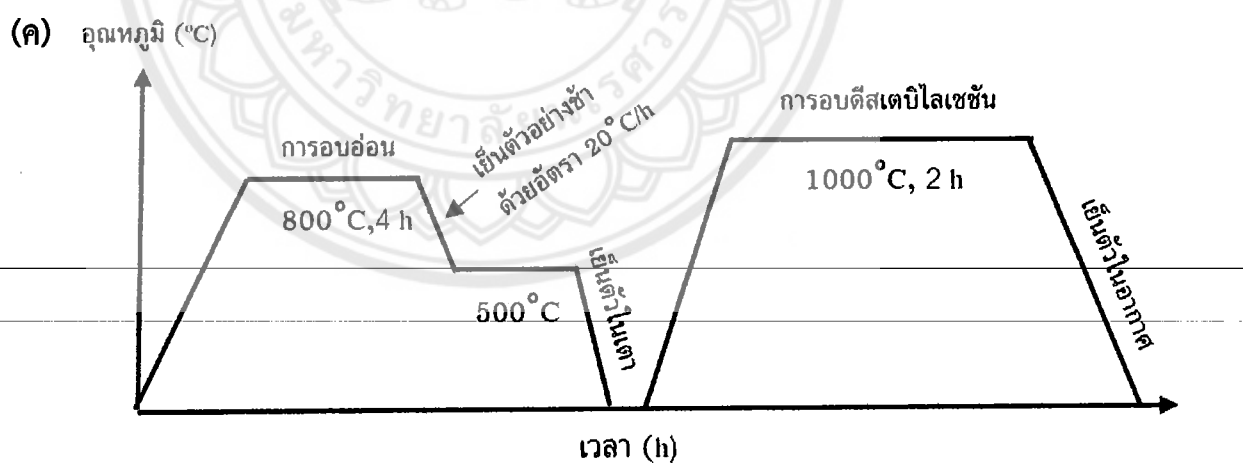
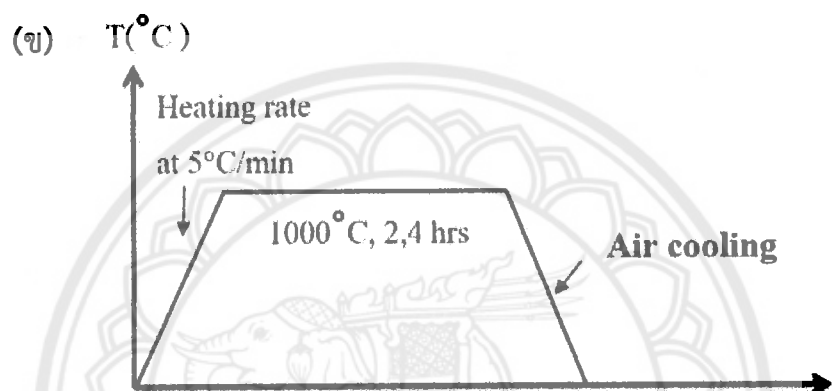
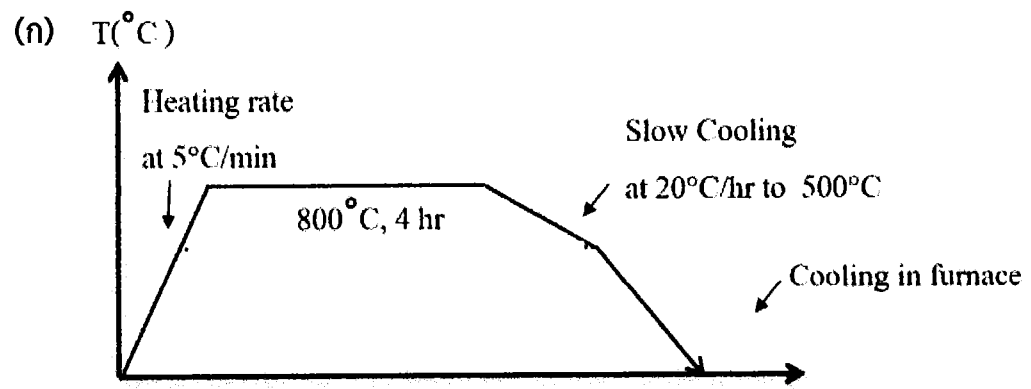
ตารางที่ 3.1 ส่วนผสมทางเคมีของเหล็กหล่อโครงเมียมสูงที่ใช้ในการทดลอง

| เหล็กหล่อโครงเมียมสูง | ส่วนผสมทางเคมี (ร้อยละโดยน้ำหนัก) | | | | | | | | | |
|-----------------------|-----------------------------------|------|------|------|------|------|------|------|------|------|
| | C | Cr | Mo | Mn | Ni | W | Si | P | S | Fe |
| R | 2.36 | 27.9 | 0.03 | 0.11 | 0.20 | 0.01 | 0.20 | 0.02 | 0.01 | Bal. |
| Mo1 | 2.68 | 27.7 | 1.42 | 0.11 | 0.18 | 0.01 | 0.26 | 0.03 | 0.01 | Bal. |

3.2 กรรมวิธีทางความร้อน

โดยนำเหล็กหล่อโครงเมียมสูงที่เตรียมโดยการหล่อในแบบหล่อทรายมาตัดให้มีความหนาประมาณ 2 เซนติเมตร แล้วนำเหล็กหล่อมาผ่านกรรมวิธีทางความร้อน โดยแบ่งเป็น 3 แบบ คือ

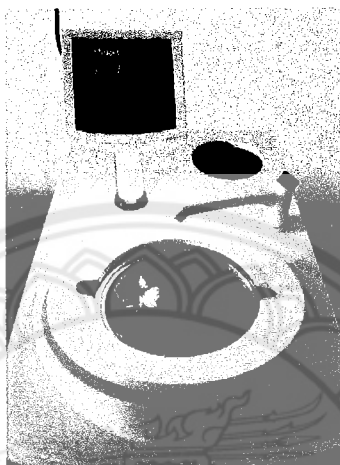
1. การอบอ่อนที่อุณหภูมิ 800°C เป็นเวลา 4 ชั่วโมง และให้เย็นตัวลงมาที่อุณหภูมิ 500°C ด้วย อัตราเย็นตัว 20°C/h และปล่อยให้เย็นตัวอย่างข้าๆ ในเตาจนถึงอุณหภูมิท้อง ดังรูปที่ 3.2(ก)
2. การอบดีสเตบีไลเซนท์ที่อุณหภูมิ 1000°C เป็นเวลา 4 ชั่วโมง และนำขึ้นงานออกจากเตาปล่อยให้เย็นตัวในอากาศ ดังรูปที่ 3.2(ข)
3. ทำการอบอ่อนเช่นเดียวกับข้อ 1 จากนั้นนำมาอบดีสเตบีไลเซนท์ที่อุณหภูมิ 1000°C เป็นเวลา 4 ชั่วโมง และนำขึ้นงานออกจากเตาปล่อยให้เย็นตัวในอากาศ ดังรูปที่ 3.2(ค)



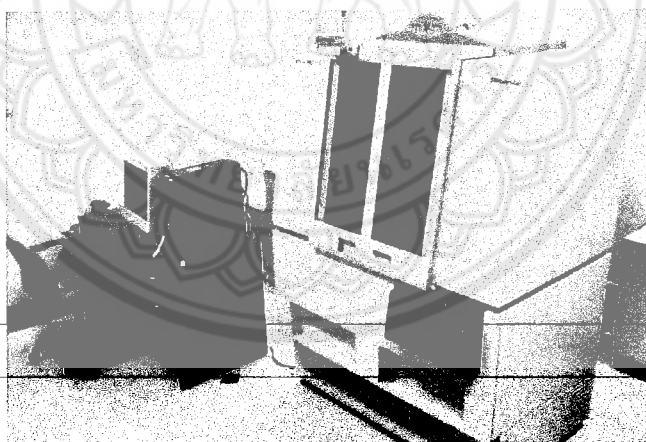
รูปที่ 3.2 ขั้นตอนกรรมวิธีทางความร้อน (ก) การอบอ่อน (ข) การอบดีสเตบิไลเซชัน (ค) การอบอ่อนและ การอบดีสเตบิไลเซชัน

3.3 การศึกษานิดเพสด้วยเทคนิคการเลี้ยวเบนของรังสีเอกซ์

โดยนำชิ้นงานก่อนและหลังกรรมวิธีทางความร้อนมาขัดด้วยกระดาษทรายเบอร์ 180 320 600 800 และ 1000 ตามลำดับ ด้วยเครื่องขัดโลหะ ดังรูป 3.3 จากนั้นนำขัดละเอียดด้วยผงขัดเพชรขนาด 6 3 และ 1 ไมครอน ตามลำดับ บนผ้าสักหลาด จากนั้นนำมาศึกษานิดเพสและโครงสร้างผลึกศึกษาด้วยเทคนิคการเลี้ยวเบนของรังสีเอกซ์ (X-Ray Diffractometry, XRD) ดังรูป 3.4 โดยกำหนดมุมอยู่ในช่วง 20 ถึง 120 องศา



รูปที่ 3.3 เครื่องขัดชิ้นงาน ยี่ห้อ Struers

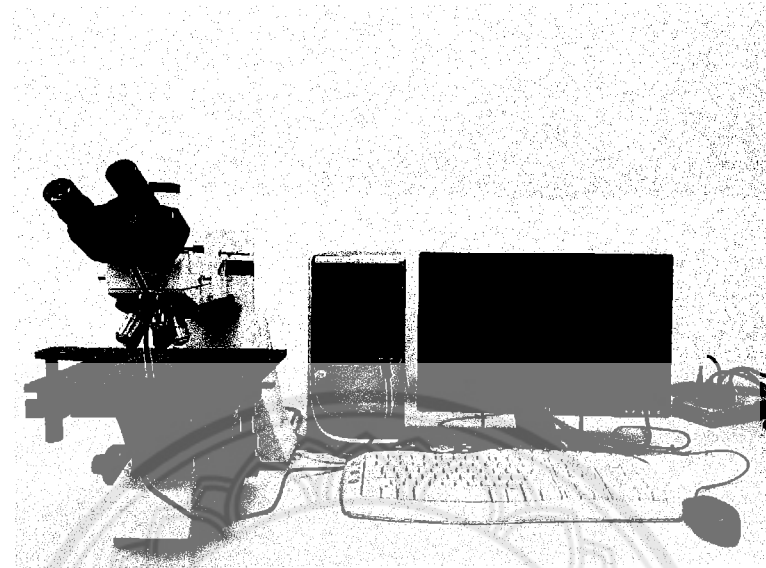


รูปที่ 3.4 เครื่องวิเคราะห์การเลี้ยวเบนของรังสีเอกซ์ของบริษัท Philips รุ่น Expert

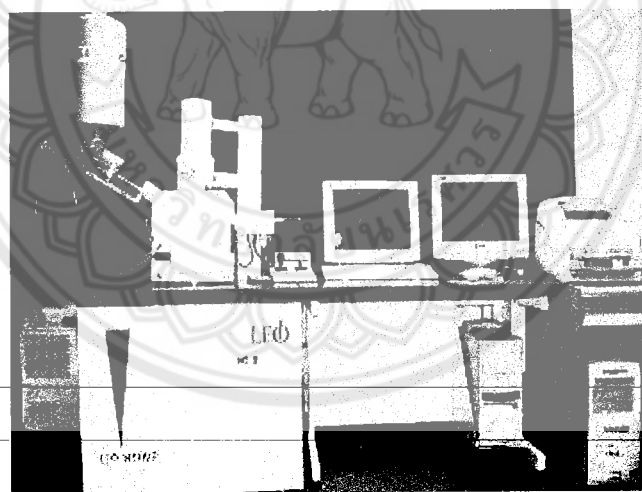
3.4 การศึกษาโครงสร้างจุลภาค

โครงสร้างจุลภาคของเหล็กหล่อโครงเมียมสูงก่อนและหลังกรรมวิธีทางความร้อน ศึกษาด้วยกล้องจุลทรรศน์แบบแสง (Optical Microscopy, OM) และกล้องจุลทรรศน์อิเล็กตรอนแบบส่องgraphic (Scanning Electron Microscopy, SEM) ดังรูป 3.5 และ 3.6 ขั้นตอนการเตรียมตัวอย่างเพื่อศึกษาโครงสร้างจุลภาคเริ่มจากการขัดด้วยกระดาษทรายเบอร์ 180 320 600 800 และ 1000 ตามลำดับ จากนั้นนำชิ้นงานมาขัดละเอียดด้วยผงขัดเพชรขนาด 6 3 และ 1 ไมครอน ตามลำดับ บนผ้าสักหลาด เช่นเดียวกับการเตรียมตัวอย่าง

สำหรับ XRD จากนั้นนำมากัดผิวน้ำขึ้นงานด้วยสารละลายกรด $\text{Na}_2\text{S}_2\text{O}_5$ 10 กรัม + HCl 30 ml + น้ำกลั่น 100 ml



รูปที่ 3.5 กล้องจุลทรรศน์แบบแสง



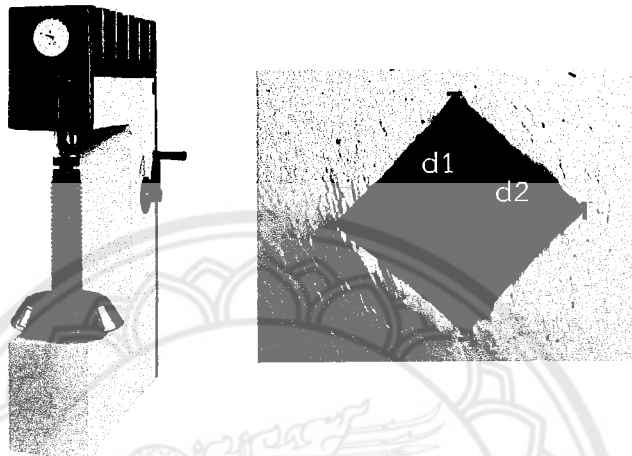
รูปที่ 3.6 กล้องจุลทรรศน์อิเล็กตรอนแบบส่องการดูรุ่น 1455VP ของบริษัท LEO

3.5 การทดสอบความแข็ง

ความแข็งของเหล็กหล่อโครงเมียมสูงก่อนและหลังกรรมวิธีทางความร้อน ทดสอบแบบบิกเกอร์ โดยการนำชิ้นงานที่เตรียมสำหรับศึกษาโครงสร้างจุลทรรศน์ที่ยังไม่ได้กัดผิวน้ำมาทำการทดสอบโดยใช้หัวดูเพชรฐานสีเหลือง จัตุรัส แรงกด 30 กิโลกรัมแรง เป็นเวลา 15 วินาที โดยทำการทดสอบชิ้นงานละ 8 จุดแบบสุ่ม จากนั้นวัดความยาวเส้นที่แยกมุมของรอยกด ดังรูป 3.7 และนำมาคำนวณความแข็ง ดังสมการ 3.1 ในหน่วย HV

$$HV = 1.854 \frac{F}{d^2} \quad (3.1)$$

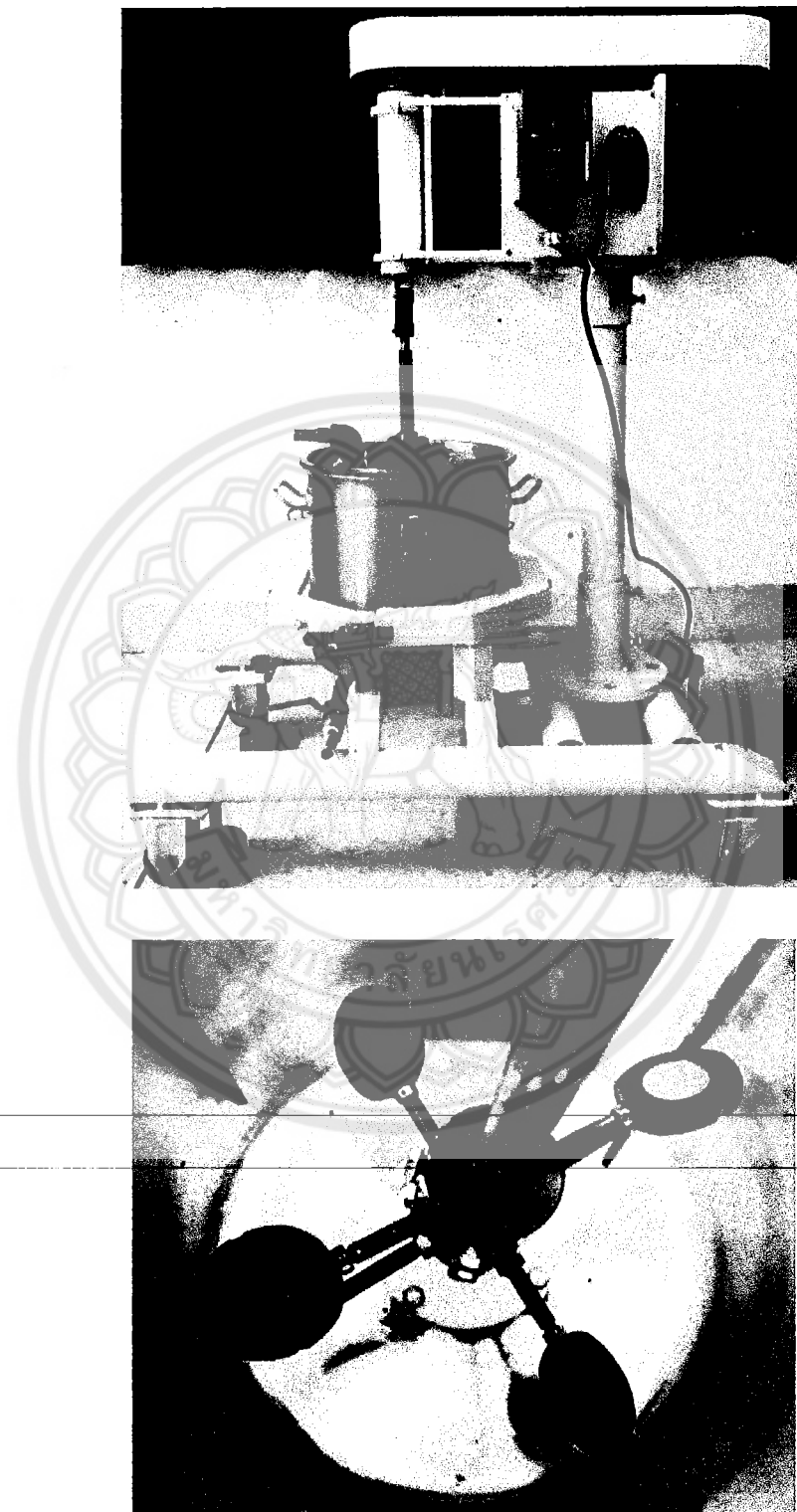
เมื่อ F = น้ำหนักกดในหน่วย N
 d = ความยาวเส้นที่แยกมุมเฉลี่ยของรอยกด หน่วย mm



รูปที่ 3.7 เครื่องทดสอบความแข็งโดยแบบบิกเกอร์ บริษัท Galileo รุ่น Egotest comp 25 Rs และการวัดเส้นที่แยกมุมของรอยกด

3.6 การทดสอบความต้านทานการสึกกร่อน

ในการทดสอบการสึกกร่อนในครั้งนี้ได้ทำการศึกษาเฉพาะขั้นงานในสภาพหล่อและหลังการทำดีสเตปีไลเซชันเท่านั้น ในการเตรียมขั้นงานสำหรับการทดสอบการสึกกร่อนแบบ Slurry pot ดังรูปที่ 3.8 ในสเลอร์รีของเหลวที่มีรายชิลิกาเซเวนโลຍอยู่ โดยนำเหล็กหล่อในสภาพหล่อและหลังการทำดีสเตปีไลเซชัน มาตัดอย่างละ 3 ชิ้น ให้มีความหนาประมาณ 1.5 มิลลิเมตร และนำมาขัดด้วยกระดาษทรายน้ำเบอร์ 180 240 360 600 และ 1000 จากนั้นนำมาขัดละเอียดด้วยผงขัดเพชรขนาด 6 ไมครอน บนผ้าสักหลาด นำมาล้างให้สะอาดและเป่าให้แห้ง จากนั้นนำไปซึมน้ำหนักก่อนการทดสอบด้วยเครื่องซึ่งความละเอียด 4 ตัวแหน่ง นำขั้นงานไปติดกับที่จับขั้นงานและปรับมุมของขั้นงานให้อีียงเป็นมุม 45° เพื่อให้อันุภาคซิลิกาตกระบบทกับขั้นงานในระหว่างการทดสอบ การเตรียมสเลอร์รีในการทดสอบโดยซึ่งอนุภาคทรายซิลิกาขนาด 200-400 ไมครอน จำนวน 3 กิโลกรัม และเทลงถังทดสอบ น้ำประปาปริมาณ 10 ลิตรมาปรับค่า pH ด้วยสารละลายกรดซัลฟิวริก (H_2SO_4) ให้ได้ค่า pH = 4.4 และเทสารละลายที่เตรียมลงในถังทดสอบ เริ่มทำการทดสอบเป็นระยะเวลา 10 ชั่วโมง หลังการทดสอบนำขั้นงานตัวอย่างมาล้างให้สะอาดด้วยเครื่องอัลตราโซนิก เป่าให้แห้ง ด้วยเครื่องเป่าความร้อน ตั้งทิ้งไว้ให้เย็น และนำไปซึมน้ำหนักหลังการทดสอบ บันทึกค่าที่ได้แล้วนำมาเปรียบเทียบผลเพื่อศึกษาการสึกกร่อนด้วยเทคนิคการหาน้ำหนักที่สูญหายไป และศึกษาพื้นผิวหลังทดสอบการสึกกร่อนด้วยกล้องจุลทรรศน์อิเล็กตรอนแบบส่องกระด



รูปที่ 3.8 เครื่องทดสอบการสึกกร่อนแบบ Slurry pot และการปรับมุมขีนงานเอียง 45°

บทที่ 4

ผลการทดลองและอภิปรายผล

4.1 การศึกษาชนิดเพสและโครงสร้างจลภาค

4.1.1 ชนิดเฟสและโครงสร้างจลภาคในสภาพหล่อ

จากการวิเคราะห์ขึ้นดไฟฟ้าจากรูปแบบการเลี้ยวเบนของรังสีเอกซ์เมื่อเทียบกับเพิ่มข้อมูลมาตรฐาน ดังแสดงในรูปที่ 4.1 พบว่าเหล็กหล่อ 28wt%Cr-2.4wt%C (R) ในสภาพหล่อ (AC) ประกอบด้วยเฟส ออกไซด์สแตนเลสและคาร์ไบด์ชนิด M_7C_3 ($M = Fe, Cr, Mo$) ส่วนเหล็กหล่อ 28wt%Cr-2.6wt%C-1.4wt% (Mo1) จะประกอบด้วยเฟสออกไซด์สแตนเลสและคาร์ไบด์ชนิด M_7C_3 เช่นเดียวกับเหล็กหล่อ R แต่จะพบคาร์ไบด์ชนิด M_6C เพิ่มขึ้น

จากการศึกษาโครงสร้างจุลภาคด้วยกล้องจุลทรรศน์แบบแสง (OM) และกล้องจุลทรรศน์อิเล็กตรอนแบบส่องกราด (SEM) พบว่าโครงสร้างจุลภาคในส่วนที่หัวเหล็กหล่อโครงเมียมสูง 28wt.%Cr-2.4wt.%C (R) เป็นแบบไฮโปยูเทกติกที่ประกอบด้วยเดนไดรต์ของอสเทนในรูปปัมมูกumi (γ) คาร์บไนด์yuเทกติก M_7C_3 และยูเทกติกของอสเทนในรูปที่เปลี่ยนเป็นมาร์เกนไชต์ (α') ในระหว่างการเย็นตัวในแบบหล่อ ดังแสดงในรูปที่ 4.2 โดยขั้นตอนการแข็งตัวของเหล็กหล่อคุณนี้เริ่มจากของเหลว (L0) ก่อตัวเป็นเดนไดรต์ของอสเทนในรูปปัมมูกumi ($L_0 \rightarrow$ primary $\gamma + L_1$) จากนั้นเมื่ออุณหภูมิลดลงจนถึงปฏิกิริยา yuเทกติกของเหลวที่เหลือ (L_1) จะเปลี่ยนเป็นโครงสร้าง yuเทกติกที่ประกอบด้วย yuเทกติกของอสเทนในรูปและ yuเทกติกการไบค์ M_7C_3 ($L_1 \rightarrow$ eutectic $(\gamma + M_7C_3)$) จากนั้นในขั้นตอนสุดท้ายของการเย็นตัวในแบบหล่อ yuเทกติกของอสเทนในรูปจะเปลี่ยนเป็นมาร์เกนไชต์ [20].

ส่วนเหล็กหล่อ Mo1 จะมีโครงสร้างจุลภาคเข่นเดียวกับในเหล็กหล่อ R แต่จะพบการรีบเดี่ยบทิกชนิด M_7C_3 , $M_{23}C_6$ และ M_6C ดังรูปที่ 4.3 โดยขั้นตอนการแข็งตัวของเหล็กหล่อกลุ่มนี้เริ่มจากของเหลว $L_0 \rightarrow primary \gamma + L_1$ จากนั้นเมื่ออุณหภูมิลดลงจนถึงปฏิกิริยา夷เทกติกของเหลวที่เหลือ $L_1 \rightarrow eutectic (\gamma + M_7C_3/M_{23}C_6/M_6C)$ ตามลำดับ ซึ่งการรีบเดี่ยบทั้ง 3 สามารถแยกแยะได้จากองค์ประกอบต่างๆ ที่มีความส่วนตัวต่างกัน โดยการรีบเดี่ย M_6C จะส่วนมากที่สุด รองลงมาคือการรีบเดี่ย $M_{23}C_6$ และ M_7C_3 ตามลำดับ อย่างไรก็ตามจากการรูปแบบการเลี้ยวเบนของรังสีเอกซ์ไม่ปรากฏพิเศษของการรีบเดี่ย $M_{23}C_6$ ทั้งนี้อาจเนื่องมาจากปริมาณน้อยมากจนไม่สามารถตรวจพบด้วยเทคนิค XRD

จากการวิเคราะห์การกระจายองค์ประกอบของธาตุด้วยสเปกโตรเมทรีรังสีเอกซ์แบบกระจายพลังงาน (Energy Dispersive X-ray Spectrometer, EDS) ในเหล็กหล่อโครงเมียมสูง 28wt.%Cr-2.4wt.%C (R) พบว่าธาตุเหล็กจะกระจายตัวมากในบริเวณเมทริกซ์ของอสเทนในตัว ส่วนธาตุคาร์บอนและโครงเมียมจะกระจายตัวมากในบริเวณคาร์ไบเดียลูทิก M_7C_3 ดังรูปที่ 4.4 ส่วนในเหล็กหล่อ Mo1 พบว่าไม่มีลิบดินัมจะกระจายตัวทั้งในบริเวณเมทริกซ์ของอสเทนในตัวและคาร์ไบเดียลูทิก โดยไม่ลิบดินัมมีแนวโน้มจะกระจายตัวมากในคาร์ไบเด็ต M_6C ส่วนในการไบเด็ต $M_{23}C_6$ และ M_7C_3 จะมีธาตุโครงเมียมในปริมาณสูงกว่า ดังรูปที่ 4.5 จากผลการทดลองจะเห็นว่าเมื่อมีลิบดินัมมีปริมาณสูงจะส่งผลให้คุณภาพถาวรสูงขึ้นตามที่คาดการณ์ไว้ SEM-BEI ของการไบเด็ต M_6C มีความสว่างมากที่สุด จากการวิจัยของ Imurai และคณะ [20] รายงานว่าการกระจายตัวที่ไม่สม่ำเสมอ หรือการแยกตัว (Segregation) ของไมลิบดินัมในระหว่างการแข็งตัว ทำให้เกิดคาร์ไบเด็ต $M_7C_3/M_{23}C_6/M_6C$

J

QL

193

4.195

05/25

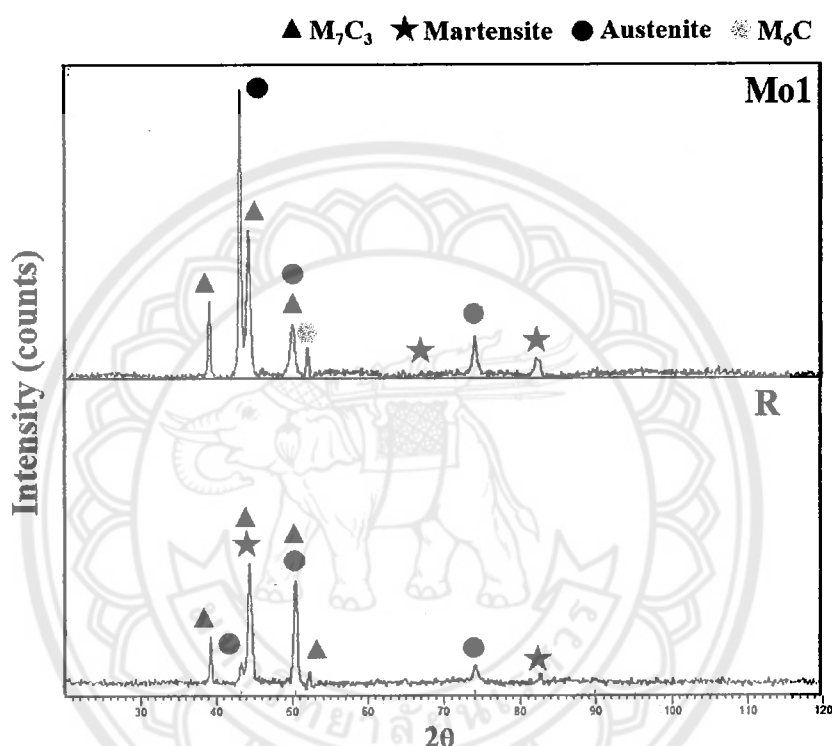
2563

1049570

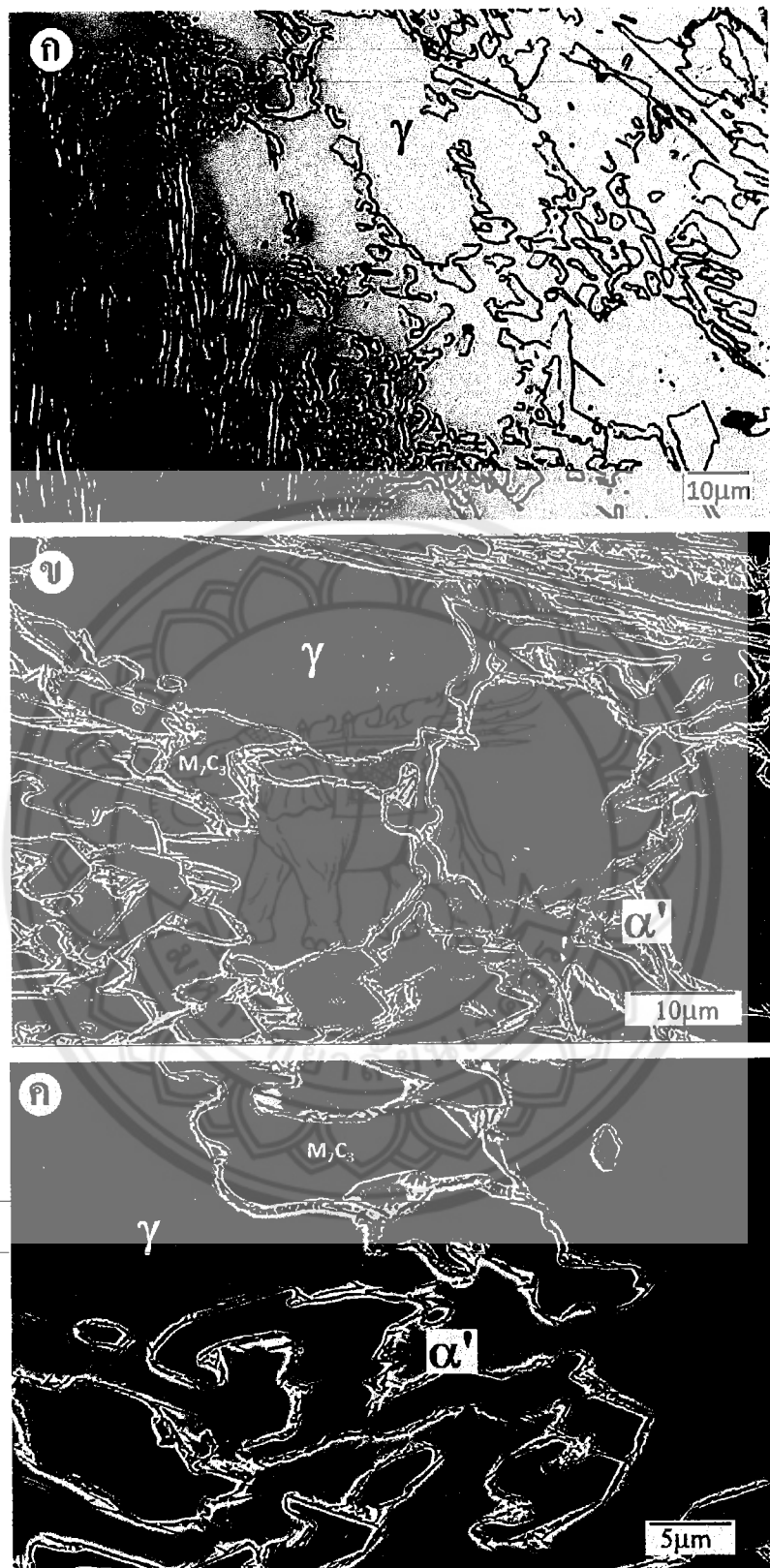
- 9 มี.ค. 2565



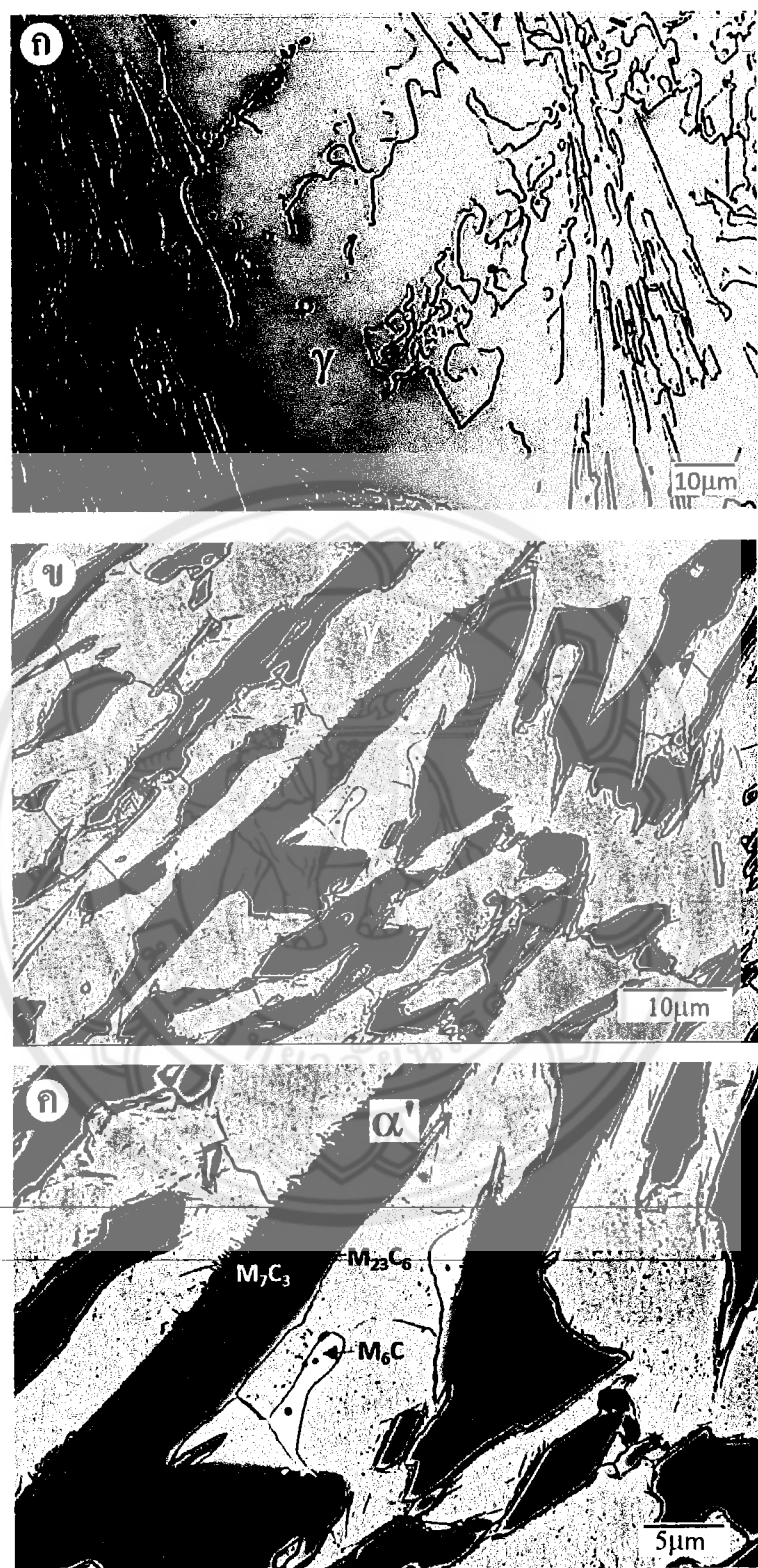
และการเปลี่ยนเฟสของคาร์บิด M_7C_3 / $M_{23}C_6$ / M_6C ซึ่งมีแนวโน้มเพิ่มขึ้นตามปริมาณของโมลิบดินัมที่เพิ่มขึ้น นอกจากนี้จากการวัดปริมาณสัดส่วนโดยพื้นที่ (Area fraction) ของเฟสเมทัริกซ์และคาร์บิดยุเทกติกมีในเหล็กหล่อ 28wt.%Cr-2.4wt.%C (R) และเหล็กหล่อ Mo1 พบว่าสัดส่วนโดยพื้นที่ของการเปลี่ยนเฟสเมทัริกซ์และคาร์บิดยุเทกติกมีค่าเท่ากับ 38% และ 34% ตามลำดับ ดังรูปที่ 4.6 จากผลการทดลองจะเห็นว่าการเติมโมลิบดินัมทำให้ปริมาณของคาร์บิดยุเทกติกลดลง ทั้งนี้อาจเนื่องมาจากการเกิดคาร์บิด M_6C และ $M_{23}C_6$ ซึ่งจำเป็นต้องมีปริมาณโคเรเมียมและโมลิบดินัมที่มาก ส่งผลให้สัดส่วนโดยรวมของคาร์บิดลดลง



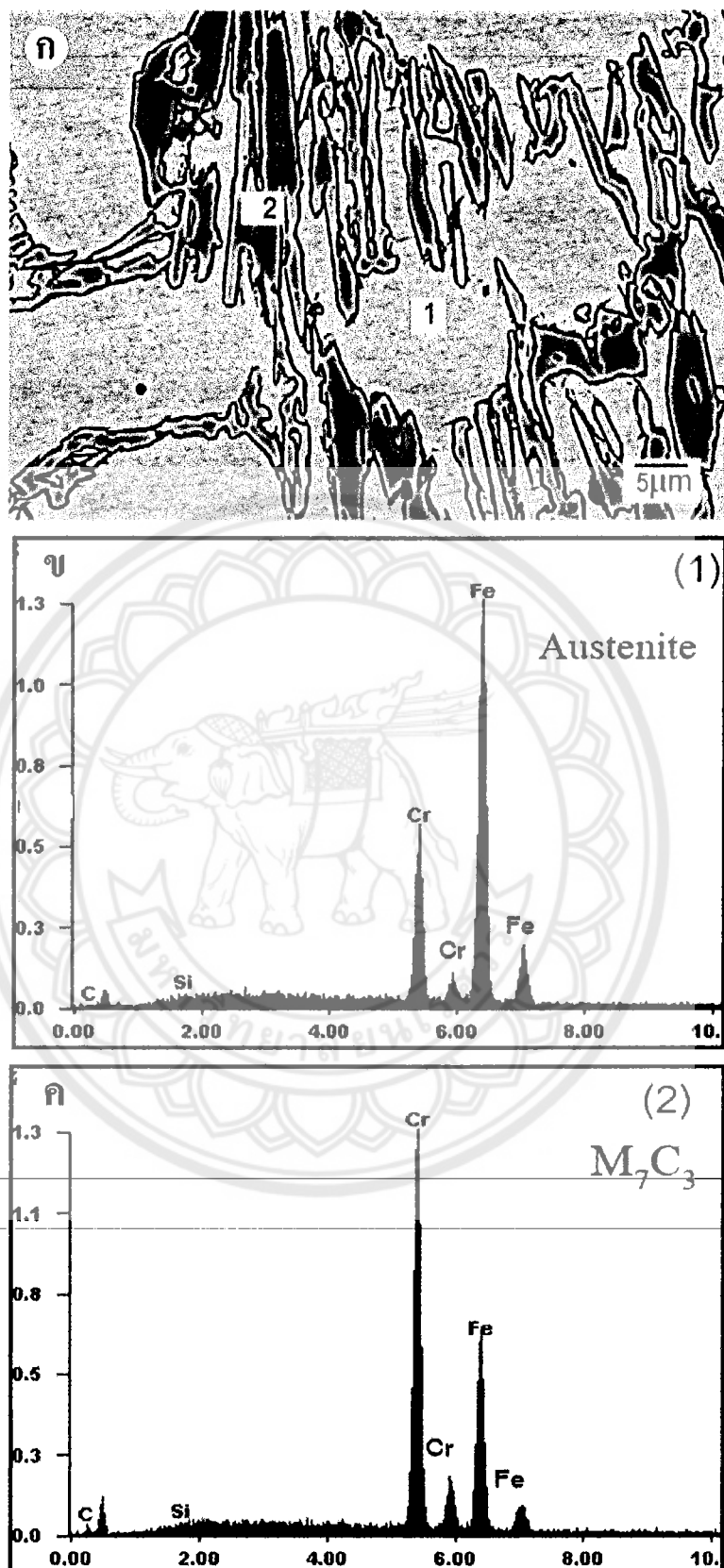
รูปที่ 4.1 รูปแบบการเลี้ยวเบนของรังสีเอกซ์ในเหล็กหล่อโคเรเมียมสูง 28wt%Cr-2.8wt%C (R) และเหล็กหล่อ Mo1 ในสภาพหล่อ



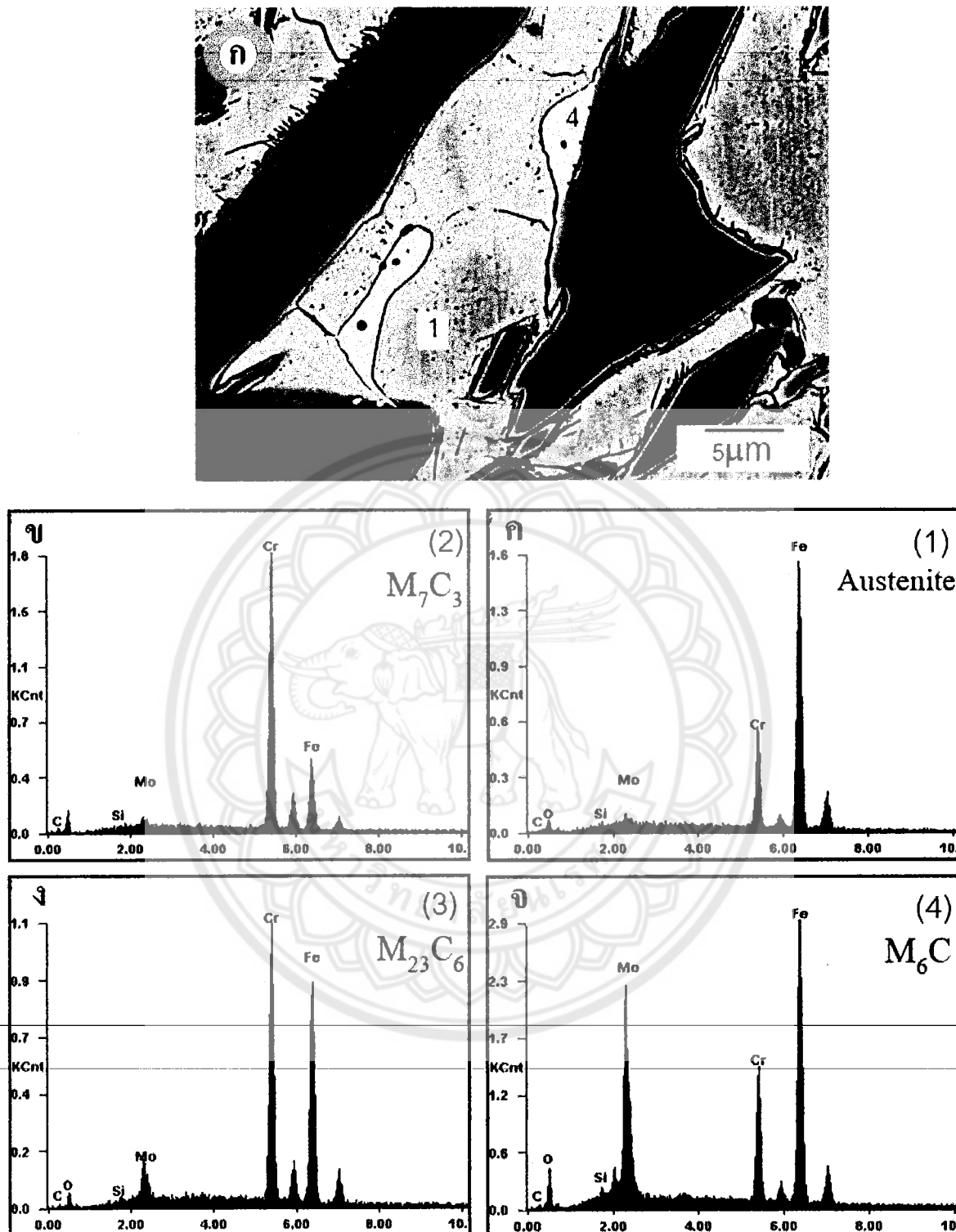
รูปที่ 4.2 ภาพถ่ายจากกล้องจุลทรรศน์แบบแสง (OM) และกล้องจุลทรรศน์อิเล็กตรอนแบบส่องกราด (SEM-BEI) แสดงโครงสร้างจุลภาคในสภาพหล่อของเหล็กหล่อコーโรเมียมสูง 28wt%Cr-2.8wt%C (R)



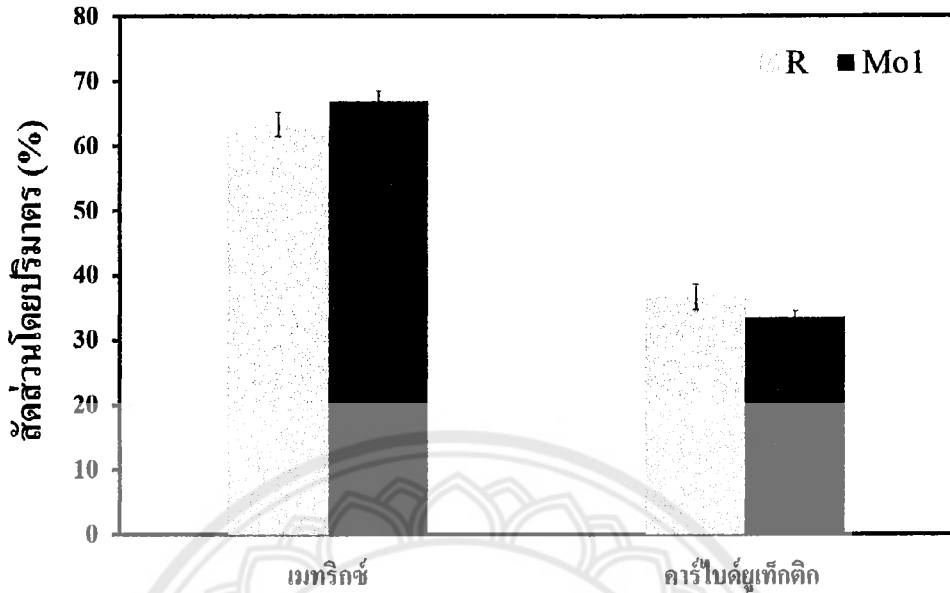
รูปที่ 4.3 ภาพถ่ายจากกล้อง OM และ SEM-BEI แสดงโครงสร้างจุลภาคในสภาพหล่อของเหล็กหล่อ Mo1



รูปที่ 4.4 (ก) ภาพถ่าย SEM-BEI แสดงโครงสร้างจุลภาคในสภาพหล่อของเหล็กหล่อ 28wt%Cr-2.8wt%C (R) และ (ข-ค) สเปกตรัม EDS แสดงการกระจายตัวของธาตุจากบริเวณ (1) ออสเทนในเต็มทริกซ์ (2) คาร์บิด M_7C_3 ตามลำดับ



รูปที่ 4.5 (ก) ภาพถ่าย SEM-BEI แสดงโครงสร้างจุลภาคในสภาพหล่อของเหล็กหล่อ Mo1 (ข-จ) สเปกตรัม EDS แสดงการกระจายตัวของธาตุจากบริเวณ (1) ออสเทนไนต์เมทริกซ์ (2) คาร์บีเด M_7C_3 (3) คาร์บีเด $M_{23}C_6$ และ (4) คาร์บีเด M_6C และตามลำดับ



รูปที่ 4.6 ผลของการเติมโมลีบดินั่มต่อสัดส่วนโดยปริมาตรของเมทริกซ์และคาร์บีดทั้งหมดในเหล็กหล่อ 28wt%Cr-2.4wt%C (R) และเหล็กหล่อ Mo1

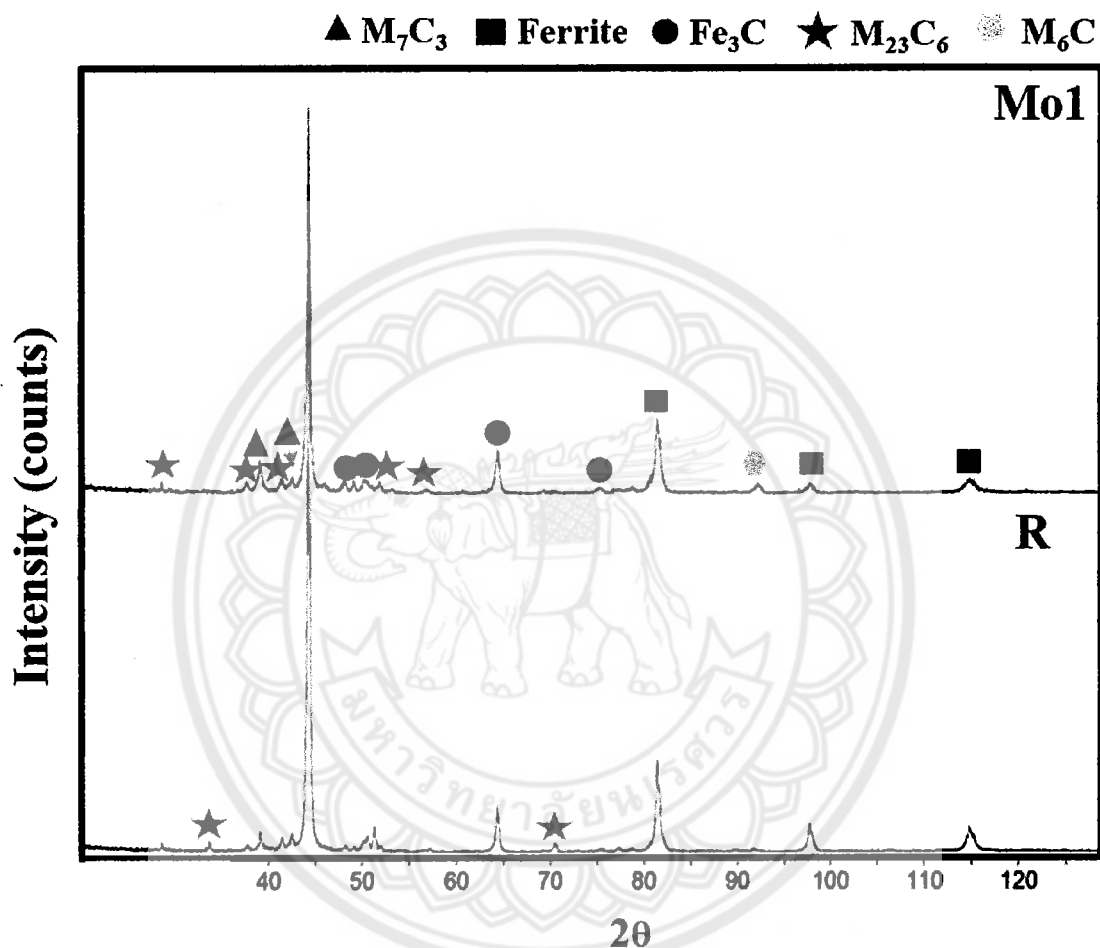
4.1.2 ชนิดเฟสและโครงสร้างจุลภาคหลังการอบอ่อน

จากรูปแบบการเลี้ยวเบนของรังสีเอกซ์หลังการอบอ่อน (AN) ดังรูปที่ 4.7 จะประกอบด้วยเฟสเฟอร์ไรต์ คาร์บีดชนิด M_7C_3 กับ $M_{23}C_6$ และ Fe_3C ทั้งในเหล็กหล่อ R และ Mo1 จากผลการทดลองจะเห็นว่าการอบอ่อนจะเกิดการเปลี่ยนเฟสของอสเทนในตัวเป็นเฟอร์ไรต์และมีการตกตะกอนของคาร์บีดทุติยภูมิชนิด $M_{23}C_6$ นอกจากนี้ในเหล็กหล่อ Mo1 ยังพบพืคของคาร์บีด M_6C เข่นเดียวกับในสภาพหล่อ

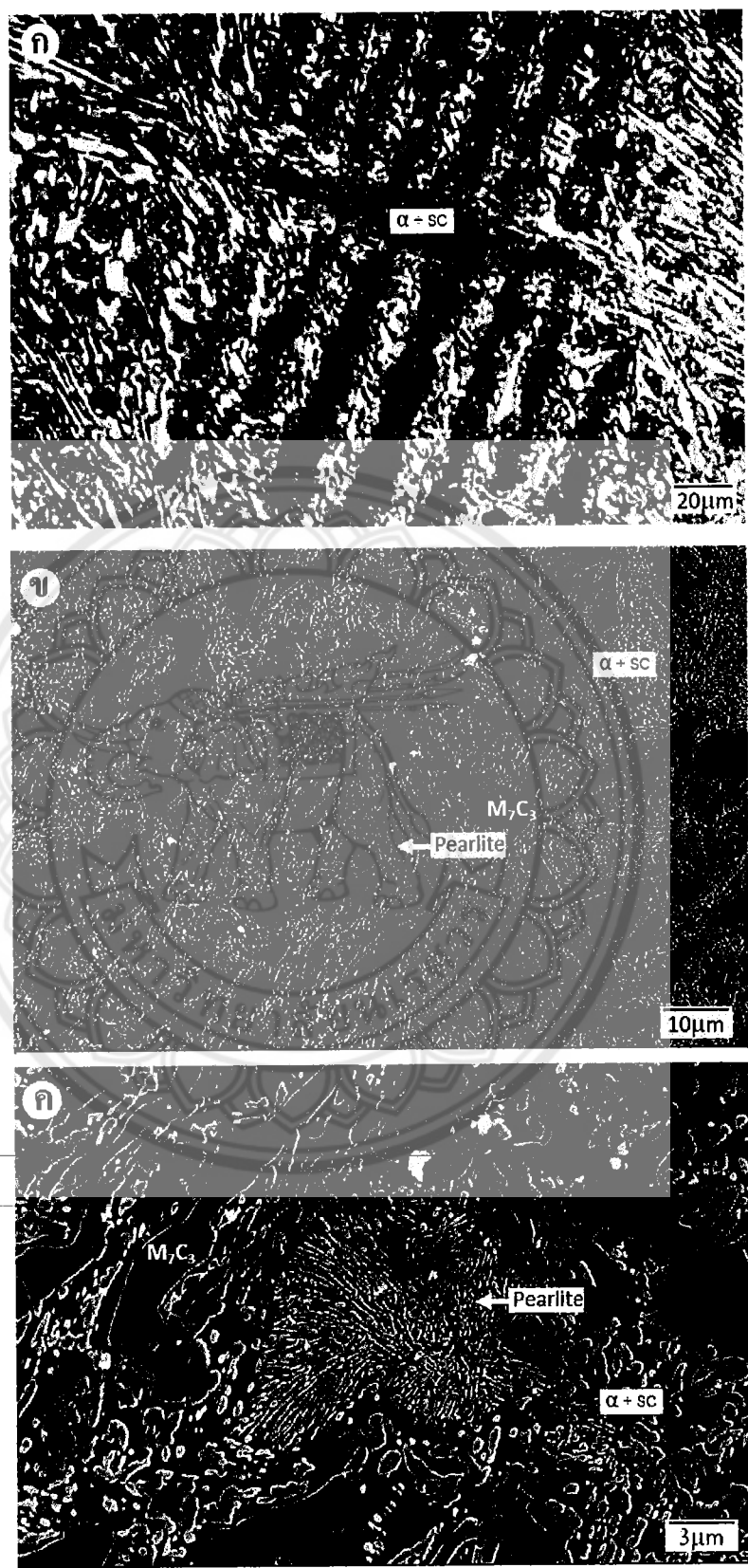
จากภาพถ่าย OM และ SEM หลังการอบอ่อนพบว่าเหล็กหล่อ R จะมีโครงสร้างจุลภาคที่ประกอบด้วยเดนไตร์ของเฟอร์ไรต์ (Ferrite, α) การตกตะกอนของคาร์บีดทุติยภูมิ (Secondary carbides, SC) และโครงสร้างเพิร์ลไลต์ (Pearlite, $\alpha + Fe_3C$) ในบางบริเวณ ดังรูปที่ 4.8 โดยในระหว่างกระบวนการอบอ่อน

โครงเมียมและคาร์บอนในอสเทนในตัวรวมตัวเป็นคาร์บีดทุติยภูมิ ทำให้ปริมาณคาร์บอนละลายในอสเทนในต่ำลง จากนั้นในช่วงการเย็นตัวอย่างช้าๆ ในแท่ ส่งผลให้อสเทนในตัวเปลี่ยนเป็นเฟอร์ไรต์ (Kibble และ Pearce, 1993) ส่วนการพับโครงสร้างเพิร์ลไลต์ในบางบริเวณเป็นสิ่งบ่งชี้ได้ว่าการอบอ่อนอาจยังไม่สมบูรณ์ เพราะเมทริกซ์ทั้งหมดไม่ได้เป็นเฟอร์ไรต์ ทั้งนี้อาจเนื่องมาจากการแยกตัวของธาตุระดับไมโคร (Microsegregation) หรือในบางบริเวณอาจมีการเย็นตัวเร็ว [11] ส่วนในเหล็กหล่อ Mo1 ก็พบโครงสร้างเพิร์ลไลต์เข่นเดียวกัน แต่จะมีลักษณะที่ละเอียดและมีขนาดเล็กกว่าในเหล็กหล่อ R ดังรูปที่ 4.9 ซึ่งสอดคล้องกับรูปแบบการเลี้ยวเบนของรังสีเอกซ์ที่ปราศจากพืคของซีเมนไต์ (Fe_3C) สามารถยืนยันการเปลี่ยนแปลงของอสเทนในตัวเป็นเพิร์ลไลต์ในระหว่างการเย็นตัวอย่างช้าๆ จากภาพถ่ายการกัดกรดแบบลึก (Deep etched) ดังรูปที่ 4.10 ซึ่งจะทำปฏิกิริยา กับเมทริกซ์ของเฟอร์ไรต์จนหลุดออกเหลือเฉพาะคาร์บีด ทำให้เห็นลักษณะการตกตะกอนของคาร์บีดทุติยภูมิหลังการอบอ่อน โดยคาร์บีดทุติยภูมิมีลักษณะเป็นรูปกลูกบาศก์ เป็นแท่ง

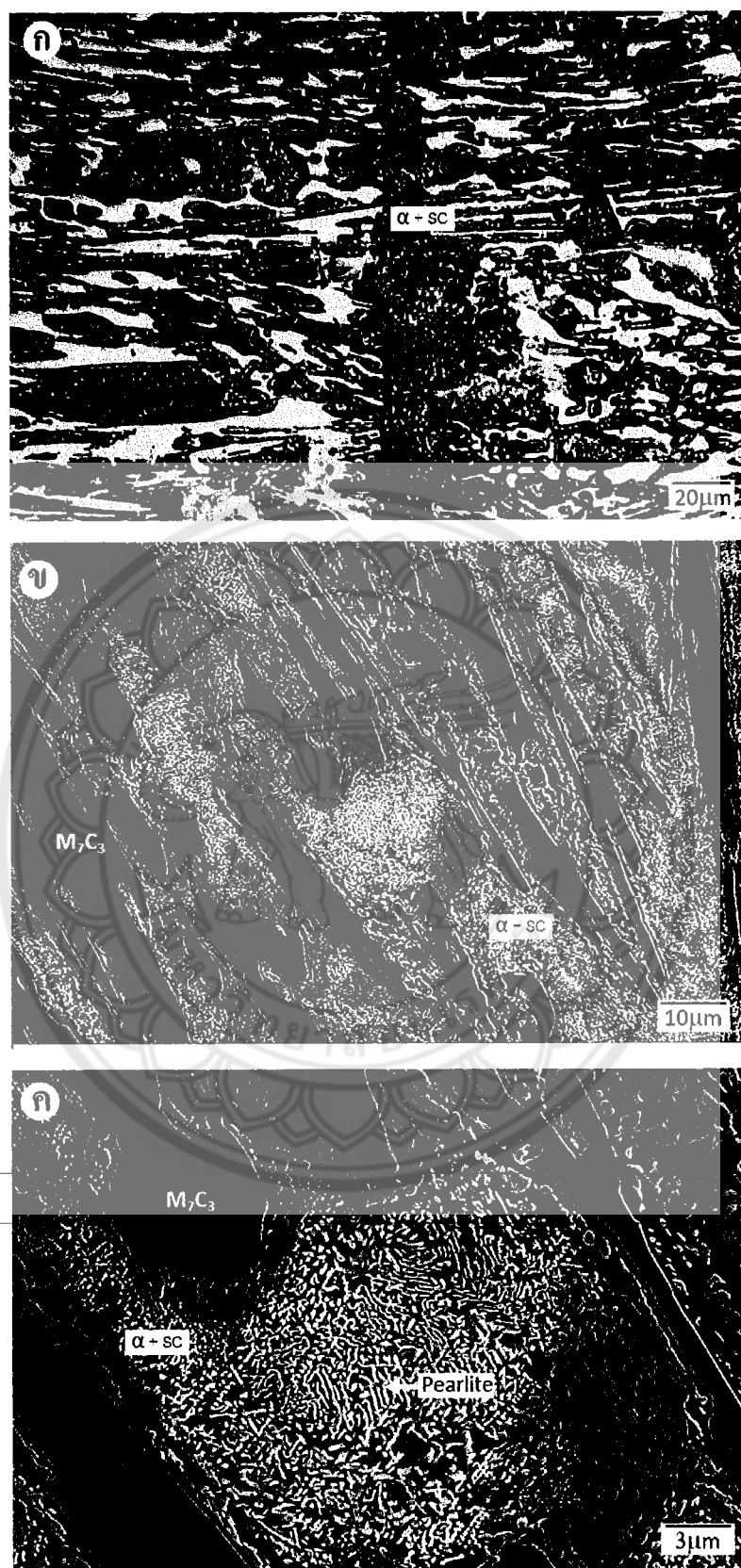
เป็นแผ่น และมีแนวโน้มที่จะเชื่อมต่อกันเป็นตาข่าย จากผลของ XRD แสดงพีคของคาร์ไบด์ชนิด $M_{23}C_6$ ซึ่งน่าจะเป็นคาร์ไบด์ทุติยภูมิที่เกิดขึ้นในระหว่างการอบอ่อน นอกจากนี้ยังพบว่าในเหล็กหล่อ Mo1 จะมีคาร์ไบด์ทุติยภูมิที่มีขนาดเล็กและมีปริมาณมากกว่าในเหล็กหล่อ R ดังรูปที่ 4.11 เนื่องจากในเมทริกซ์ไม่ลิบตินมที่ละลายอยู่ร่วมกับโครงเมียมและเหล็กทำให้เกิดการก่อตัวของคาร์ไบด์ทุติยภูมิที่มีขนาดเล็กๆ เหล่านี้มากขึ้น



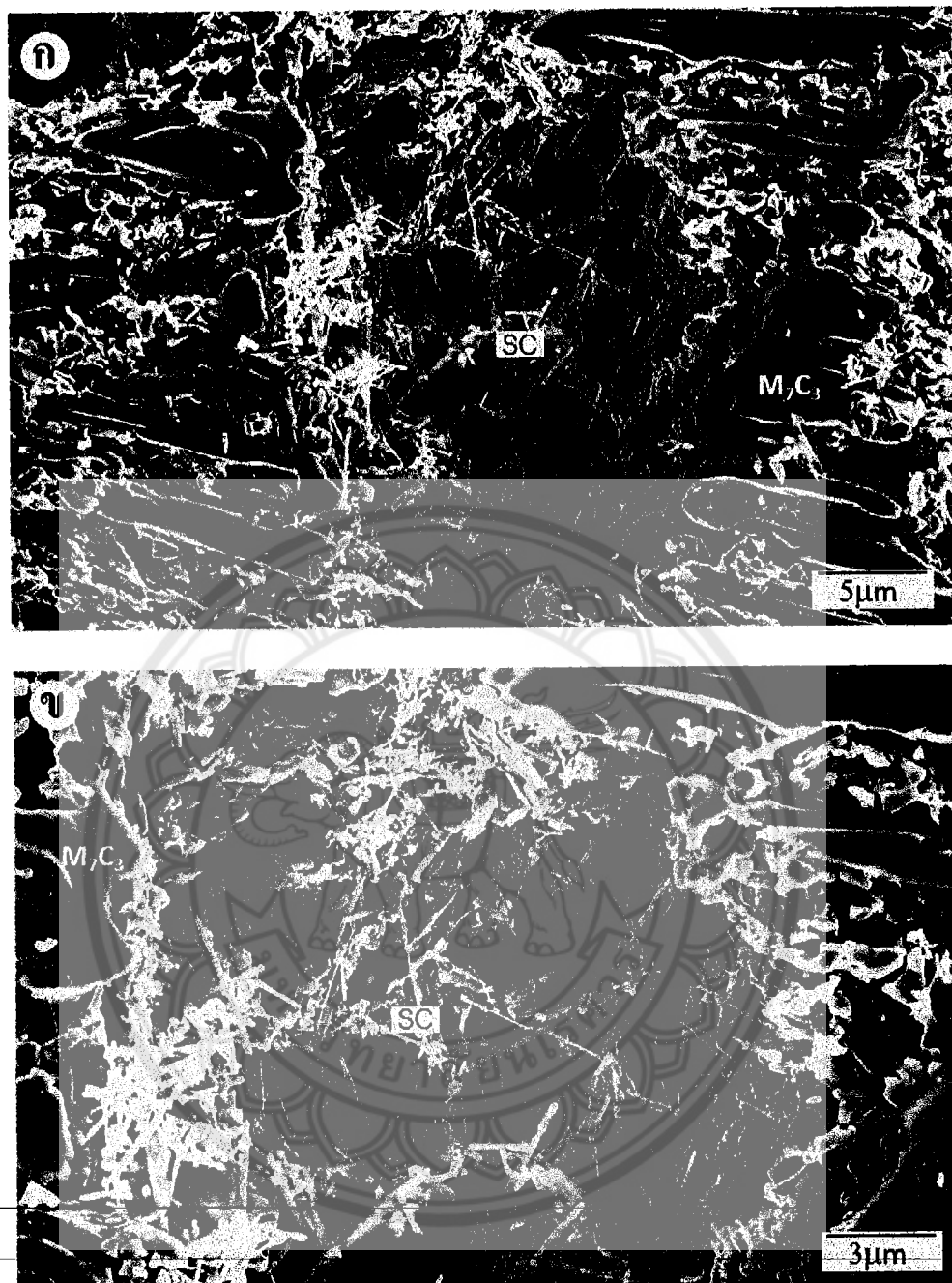
รูปที่ 4.7 รูปแบบการเลี้ยวเบนของรังสีเอกซ์ในเหล็กหล่อโครงเมียมสูง 28wt%Cr-2.4wt%C (R) และเหล็กหล่อ Mo1 หลังการอบอ่อน



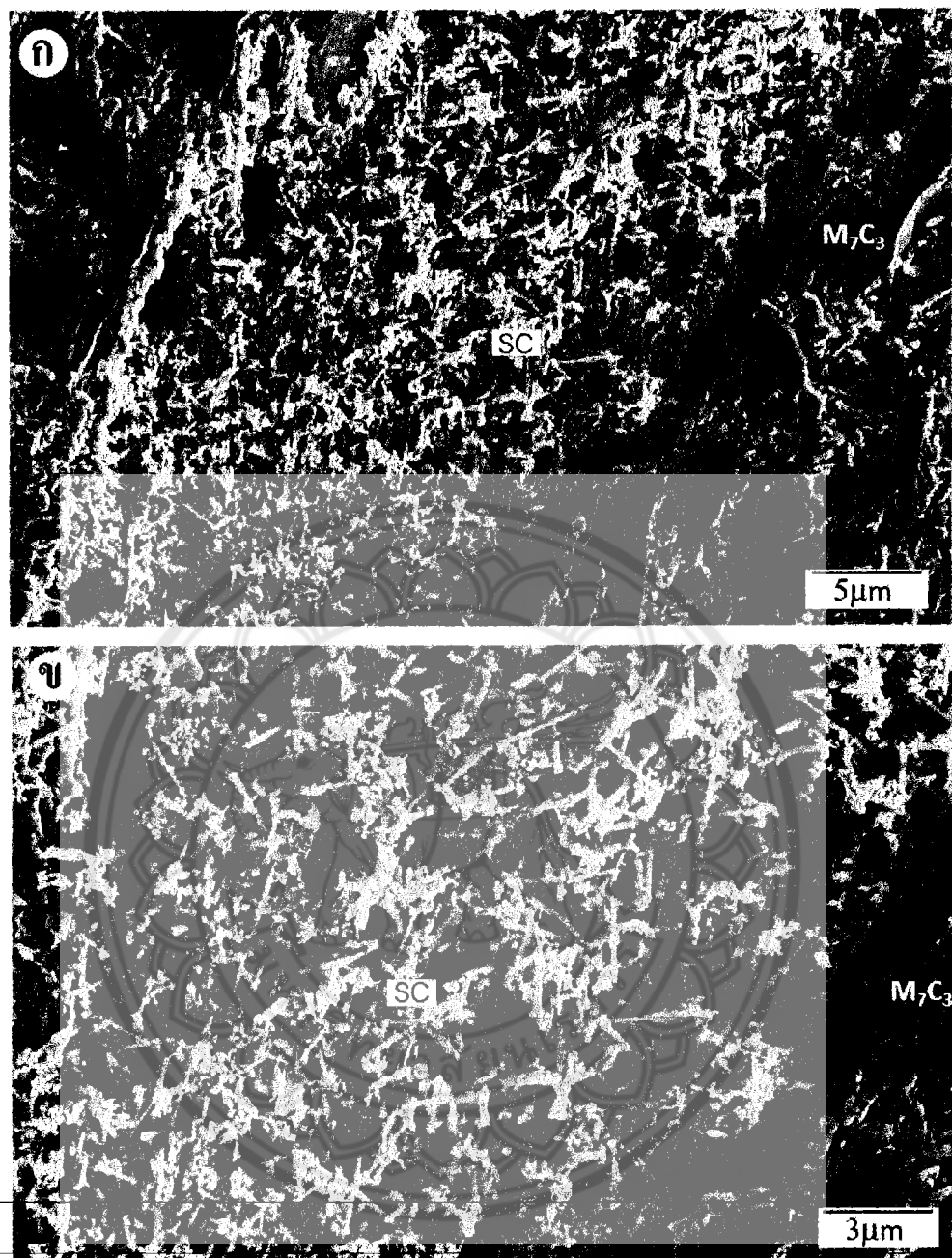
รูปที่ 4.8 ภาพถ่ายจากกล้อง OM และ SEM-BEI แสดงโครงสร้างจุลภาคหลังการอบอ่อนของเหล็กหล่อ 28wt%Cr-2.4wt%C (R)



รูปที่ 4.9 ภาพถ่ายจากกล้อง OM และ SEM-BEI แสดงโครงสร้างจุลภาคหลังการอบอุ่นของเหล็กหล่อ Mo1



รูปที่ 4.10 ภาพถ่าย SEI หลังการกัดกรดแบบลึก (Deep etched) แสดงลักษณะของคาร์ไบด์ทุติยภูมิ (SC)
หลังการอบอ่อน (ก-ข) เหล็กหล่อ 28wt%Cr-2.4wt%C (R)

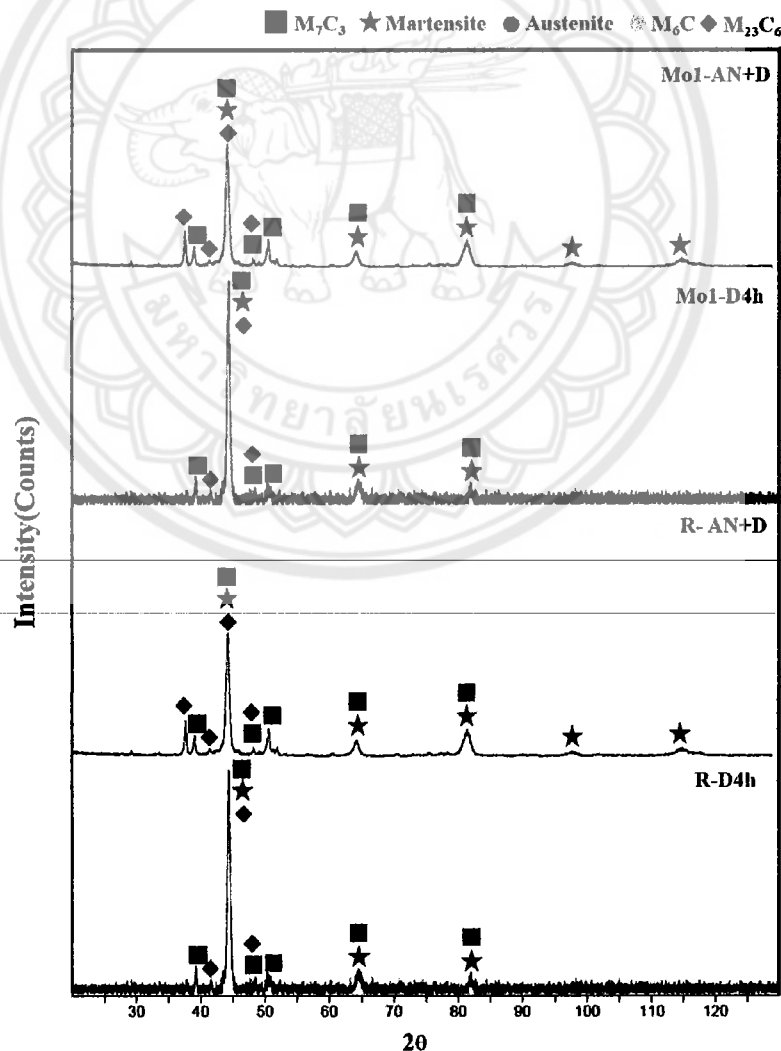


รูปที่ 4.11 ภาพถ่าย SEI หลังการกัดกรดแบบลึกแสดงลักษณะของคาร์บิดทุติยภูมิ (SC) หลังการอบอ่อนในเหล็กหล่อ Mo1

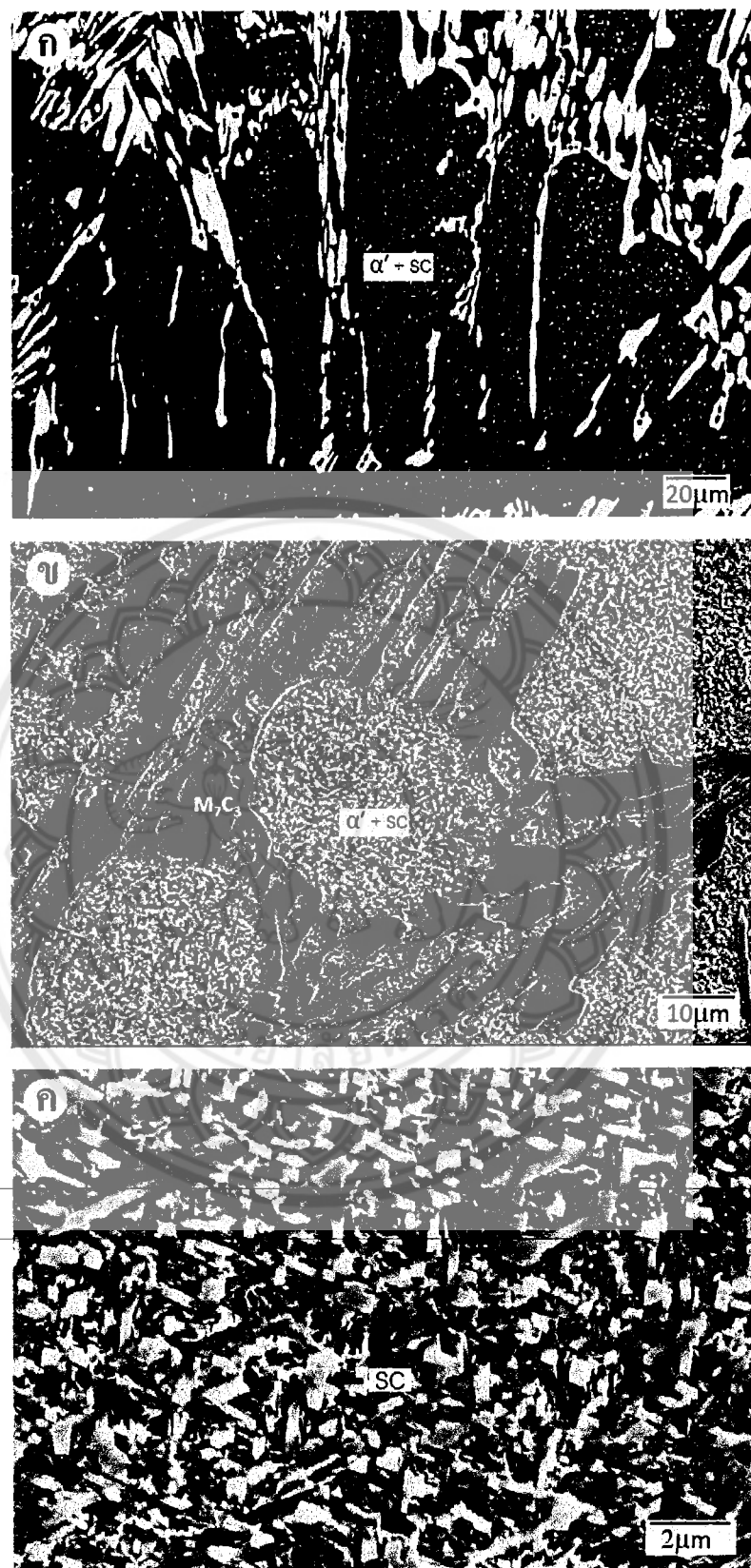
4.1.3 ชนิดเฟสและโครงสร้างจุลภาคหลังการทำดีสเตบีไลเซชัน

จากรูปแบบการเลี้ยวเบนของรังสีเอกซ์หลังการทำดีสเตบีไลเซชัน (D4h) ดังรูปที่ 4.12 พบว่า เหล็กหล่อโครเมียมสูง 28wt.%Cr-2.4wt.%C (R) และเหล็กหล่อ Mo1 จะปรากฏพีคของเฟスマร์เทนไซต์และ คาร์ไบเดชนิด $M_{23}C_6$ กับ M_7C_3 ส่วนการอบอ่อนและดีสเตบีไลเซชัน (AN+D) พบรูปแบบเฟスマร์เทนไซต์และ คาร์ไบเด $M_{23}C_6$ กับ M_7C_3 เช่นเดียวกัน ดังนั้นจะเห็นได้ว่าการทำดีสเตบีไลเซชันจะเกิดการเปลี่ยนเฟสของอสเทนในตัว ไปเป็นมาเทนไซต์ อย่างไรก็ตามในเหล็กหล่อ Mo1 ไม่พบพีคของ M_6C อาจจะเนื่องจากมีปริมาณน้อยเกินไป

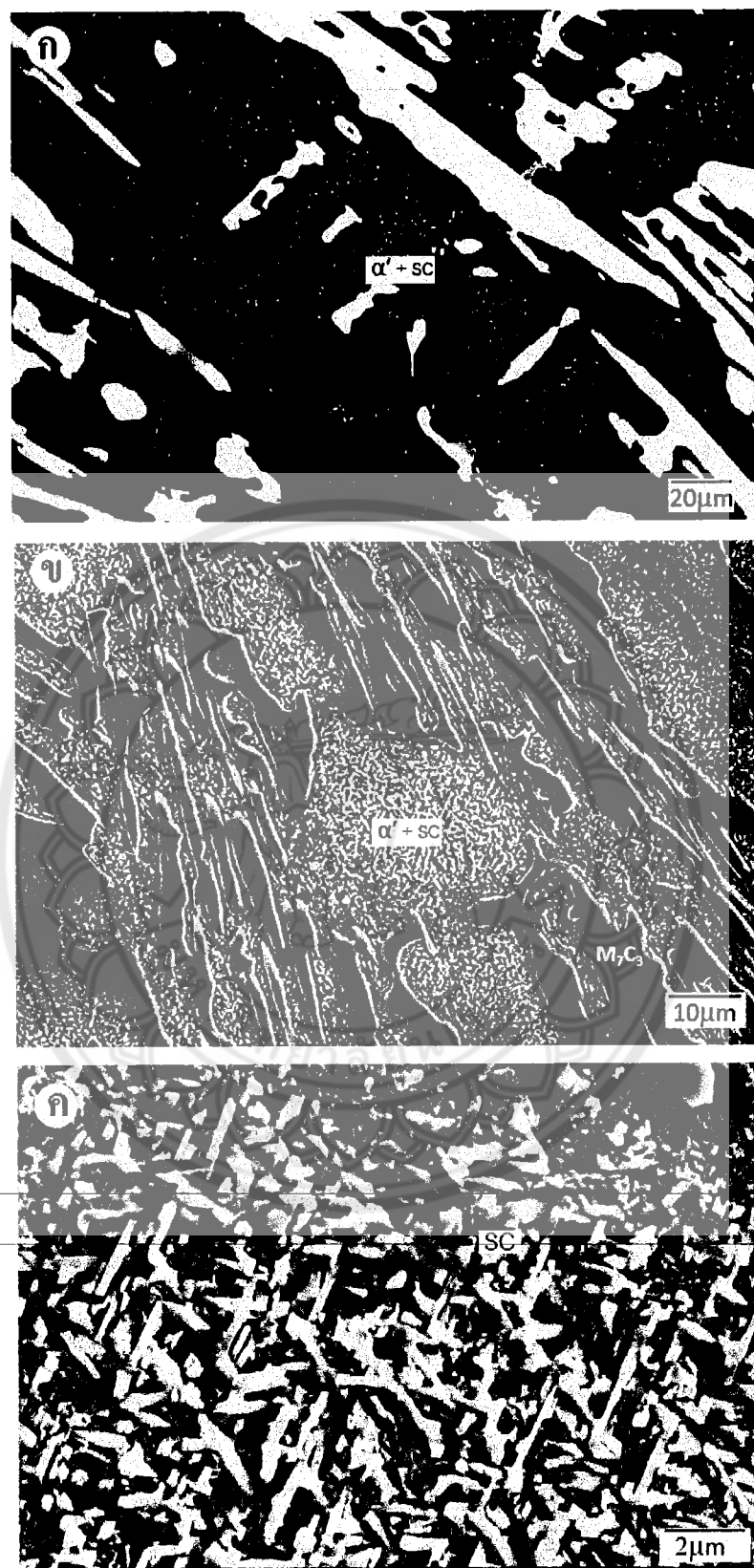
โครงสร้างจุลภาคหลังการอบดีสเตบีไลเซชันที่อุณหภูมิ 1000°C เป็นเวลา 4 ชั่วโมง ในเหล็กหล่อ 28wt.%Cr-2.4wt.%C (R) และเหล็กหล่อ Mo1 พบรูปแบบการตกตะกอนของคาร์ไบเดทุติยภูมิในเดนไดร์ตของ มาร์เทนไซต์ และบริเวณยูเทกติกของอสเทนในตัวที่เปลี่ยนเป็นมาร์เทนไซต์ ดังรูปที่ 4.13 และ 4.14 นอกจากนี้คาร์ไบเดทุติยภูมิที่ตกตะกอนคาดว่าเป็นชนิด $M_{23}C_6$ ซึ่งจะสอดคล้องกับรูปแบบการเลี้ยวเบนของ รังสีเอกซ์หลังการทำดีสเตบีไลเซชันที่พบรูปพีคของคาร์ไบเด $M_{23}C_6$ ส่วนหลังการอบอ่อนตามด้วยการอบดีสเตบีไลเซชันจะเห็นว่าการตกตะกอนของคาร์ไบเดทุติยภูมิในเดนไดร์ตของมาร์เทนไซต์มีปริมาณเพิ่มมากขึ้น และมี คาร์ไบเดทุติยภูมิที่มีขนาดเล็กๆ จำนวนมาก เมื่อเทียบกับการอบดีสเตบีไลเซชันเพียงอย่างเดียว โดยเฉพาะใน เหล็กหล่อที่เติมโมลิบดินัม (Mo1) ดังรูปที่ 4.15 และ 4.16



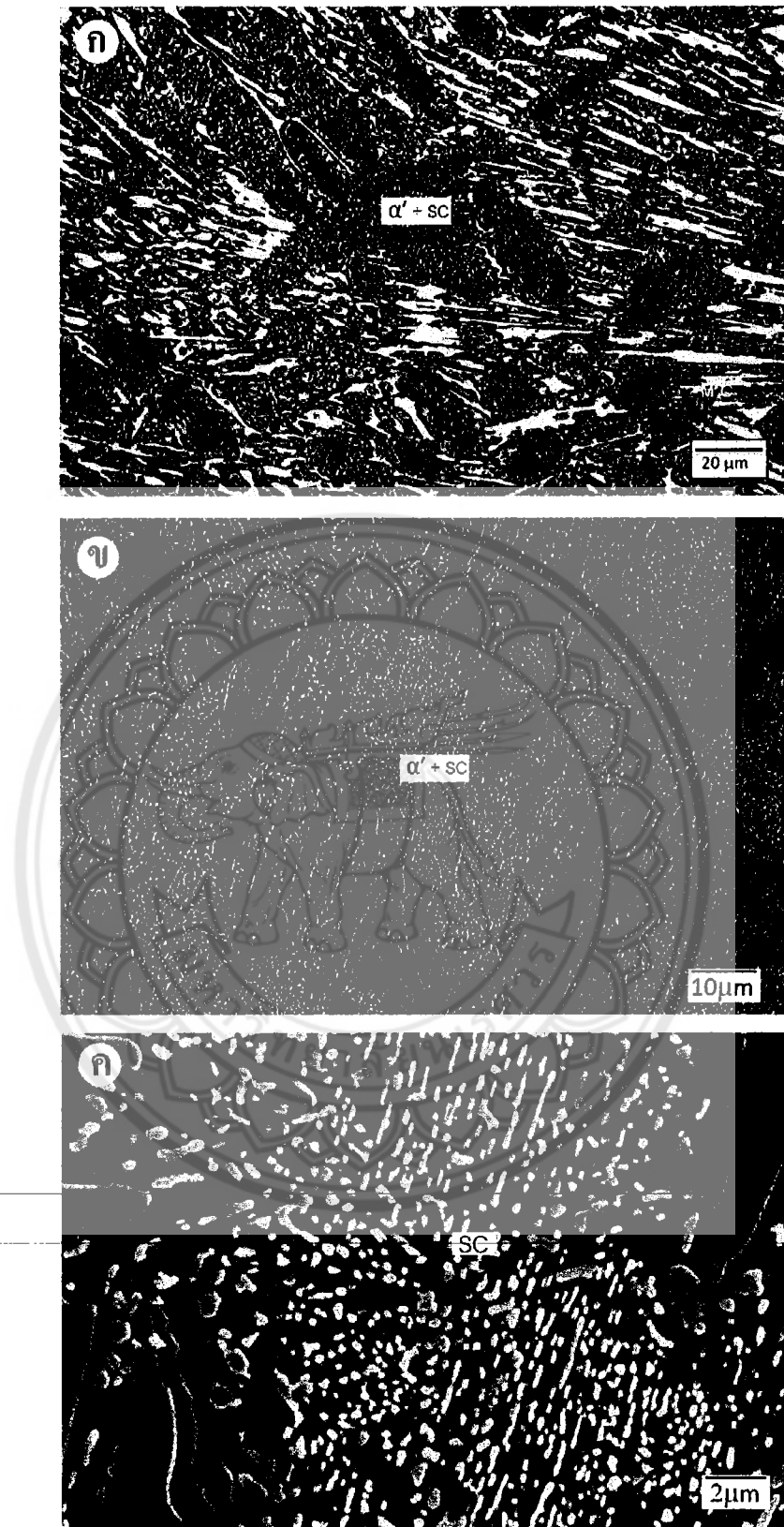
รูปที่ 4.12 รูปแบบการเลี้ยวเบนของรังสีเอกซ์ในเหล็กหล่อโครเมียมสูง 28wt%Cr-2.4wt%C (R) และ เหล็กหล่อ Mo1 หลังการทำดีสเตบีไลเซชัน (D4h) และหลังการอบอ่อน+ดีสเตบีไลเซชัน (AN+D)



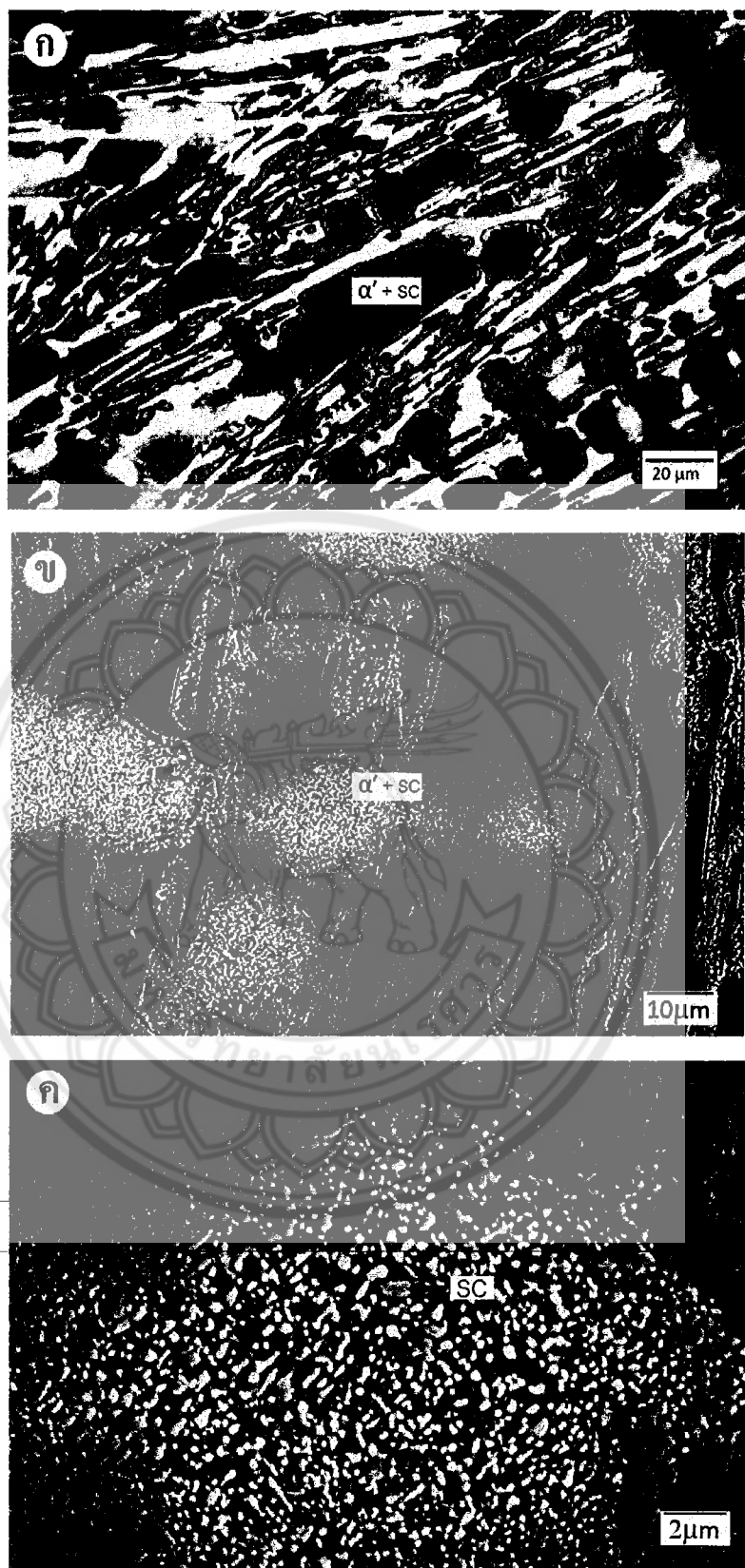
รูปที่ 4.13 ภาพถ่ายจากกล้อง OM และ SEM-BEI แสดงโครงสร้างจุลภาคหลังการอบดีสเตบิไลเซชันที่ อุณหภูมิ 1000°C เป็นเวลา 4 ชั่วโมง ในเหล็กหล่อ 28wt%Cr-2.4wt%C (R)



รูปที่ 4.14 ภาพถ่ายจากกล้อง OM และ SEM-BEI แสดงโครงสร้างจุลภาคหลังการอบดีสเตบิไลเซชันที่ อุณหภูมิ 1000°C เป็นเวลา 4 ชั่วโมง ในเหล็กหล่อ Mo1



รูปที่ 4.15 ภาพถ่ายจากกล้อง OM และ SEM-BEI แสดงโครงสร้างจุลภาคหลังการอบอ่อนและอบดีสเตบิไลเซชันที่อุณหภูมิ 1000°C เป็นเวลา 4 ชั่วโมง ในเหล็กหล่อ 28wt%Cr-2.4wt%C (R)

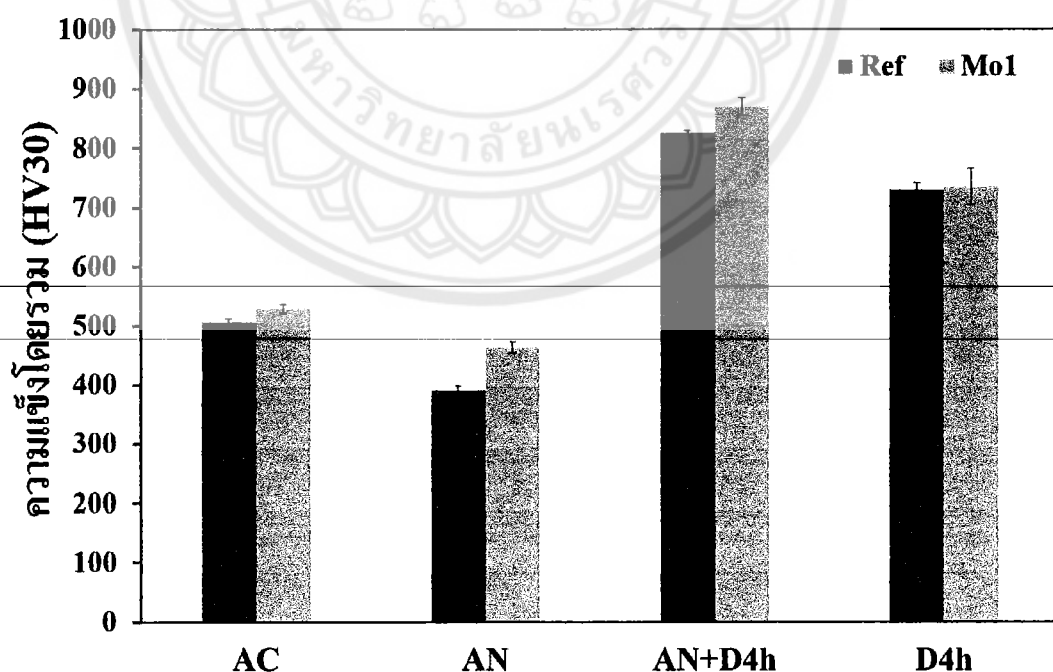


รูปที่ 4.16 ภาพถ่ายจากกล้อง OM และ SEM-BEI แสดงโครงสร้างจุลภาคหลังการอบอ่อนและอบดีสเตบ์ ile เชื้อนที่อุณหภูมิ 1000°C เป็นเวลา 4 ชั่วโมง ในเหล็กหล่อ Mo1

4.2 ความแข็ง

ความแข็งของเหล็กหล่อโครงเมียมสูง 28wt%Cr-2.4wt%C (R) และเหล็กหล่อ Mo1 ในสภาพหล่อ (AC) มีความแข็ง 506 และ 529 HV30 ตามลำดับ ดังแสดงในรูปที่ 4.17 การเติมโมลิบดินัมส่งผลให้ความแข็งสูงขึ้น เนื่องจากการเกิดคาร์ไบเด็ชนิด M_6C ที่มีความแข็งสูง หลังการอบอ่อน (AN) ความแข็งมีค่าลดลงเป็น 390 และ 463 HV30 ตามลำดับ เนื่องจากการเปลี่ยนโครงสร้างจากอสเทนไนต์เป็นเฟอร์ไรต์ที่อ่อนกว่าอย่างไรก็ตามการอบอ่อนในการทดลองนี้ไม่สามารถทำให้ความแข็งของเหล็กหล่อ Mo1 ลดลงต่ำกว่า 400 HV30 ทั้งนี้อาจเนื่องมาจากการตกตะกอนของคาร์ไบเด็ทุติยภูมิที่มีขนาดเล็กจำนวนมาก รวมทั้งการเกิดโครงสร้างของเพริลิตและคาร์ไบเด็ท M_23C_6

ส่วนความแข็งหลังการทำดีสเตรบีไลเซนชัน (D) ในเหล็กหล่อโครงเมียมสูง 28wt%Cr-2.4wt%C (R) และเหล็กหล่อ Mo1 ความแข็งมีค่าเพิ่มขึ้นจากสภาพหล่อเป็น 730 และ 735 HV30 ตามลำดับ เนื่องจากการตกตะกอนของคาร์ไบเด็ทุติยภูมิชนิด $M_{23}C_6$ ในเดนไตร์ของอสเทนไนต์ที่เปลี่ยนเป็นมาร์เทนไซต์ ในขณะที่หลังการอบอ่อนและดีสเตรบีไลเซนชัน (AN+D) ความแข็งมีค่าเพิ่มมากขึ้นเป็น 825 และ 870 HV30 ตามลำดับ จากผลการทดลองจะเห็นได้ว่าการอบอ่อนก่อนการทำดีสเตรบีไลเซนชันส่งผลให้ความแข็งมีค่าสูงกว่าการทำดีสเตรบีไลเซนชันเพียงอย่างเดียว ซึ่งน่าจะจะผลมาจากการตกตะกอนของคาร์ไบเด็ทุติยภูมิที่เกิดขึ้นทั้งในระหว่างการอบอ่อนและการทำดีสเตรบีไลเซนชันทำให้มีปริมาณเพิ่มขึ้น ซึ่งสอดคล้องกับโครงสร้างจุลภาค โดยเฉพาะในเหล็กหล่อ Mo1 จะมีปริมาณคาร์ไบเด็ทุติยภูมิที่มีขนาดเล็กๆ จำนวนมาก ดังนั้นจะเห็นได้ว่าการเติมโมลิบดินัมทำให้ความแข็งสูงขึ้นเมื่อเทียบกับเหล็กหล่อที่ไม่เติมโมลิบดินัม



รูปที่ 4.17 ผลของกรรมวิธีทางความร้อนต่อความแข็งในเหล็กหล่อ 28wt%Cr-2.4wt%C (R) และเหล็กหล่อ Mo1

4.3 การสึกกร่อน

ในการทดสอบความทนทานต่อการสึกกร่อน โดยได้ทำการทดสอบเหล็กหล่อ 28wt%Cr-2.4wt%C (R) และเหล็กหล่อ 28wt%Cr-2.6wt%C-1.4wt%Mo (Mo1) ในสภาพหล่อ (As-cast) และหลังการทำดีสเตบิลайเซชัน (D4h) ในสเลอร์รี่ (Slurry) ของสารละลายกรดซัลฟิวเริกที่มีค่า pH 4.4 และมีทรารอยละ 30 โดยน้ำหนักผสมอยู่ด้วย โดยทำการทดสอบเป็นระยะเวลา 10 ชั่วโมง โดยนำขั้นงานก่อนและหลังทดสอบการสึกกร่อนไปซึ่งน้ำหนัก จำนวน 3 ตัวอย่าง และนำมาหนาน้ำหนักที่หายไปเฉลี่ยของขั้นงาน เพื่อเปรียบเทียบความทนทานต่อการสึกกร่อน ผลการทดลองแสดงในตารางที่ 4.1 และรูปที่ 4.18

จากการทดลองจะเห็นว่าหนักที่หายไปของเหล็กหล่อโดยเมียมสูง 28wt%Cr-2.4wt%C (R) และเหล็กหล่อ Mo1 ในสภาพหล่อ มีค่าน้อยกว่าขั้นงานที่ผ่านการทำดีสเตบิลайเซชัน นอกจากนี้ยังพบว่าเหล็กหล่อที่เติมโมลิบดินัม (Mo1) จะมีการสูญเสียน้ำหนักต่ำกว่าในเหล็กหล่อที่ไม่เติมโมลิบดินัม (R) หรือมีความทนทานต่อการสึกกร่อนดีกว่า

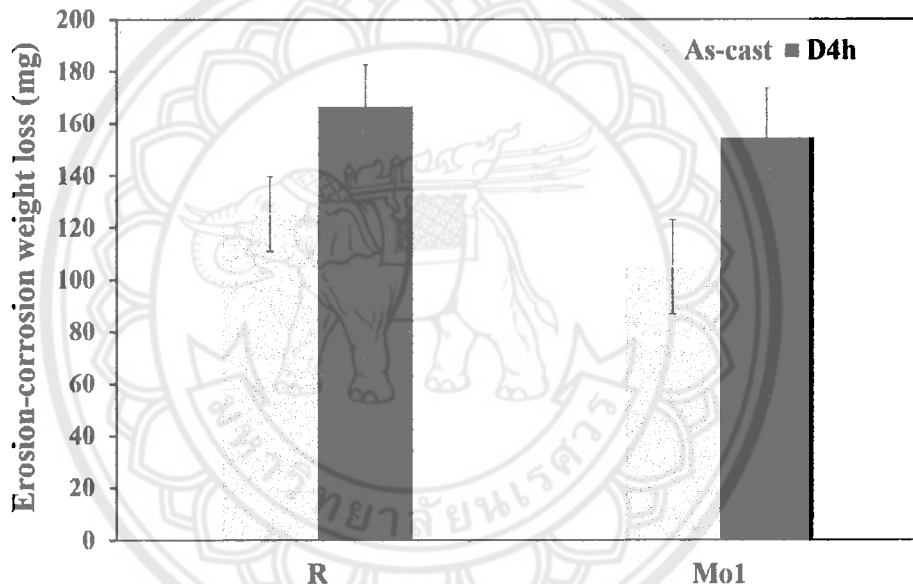
รูปที่ 4.19 เปรียบเทียบลักษณะพื้นผิวขั้นงานก่อนและหลังทดสอบการสึกกร่อน จะเห็นว่าหลังการสึกกร่อนผิวขั้นงานจะเกิดความเสียหาย มีผิวขรุขระ ไม่เรียบ เมื่อเทียบกับขั้นงานก่อนการทดสอบการสึกกร่อน เมื่อนำขั้นงานหลังทดสอบการสึกกร่อนไปศึกษาพื้นผิวที่กำลังขยายสูงขึ้นด้วยกล้องจุลทรรศน์อิเล็กตรอนแบบส่อง粒粒 พบร้าว่าเหล็กหล่อโดยเมียมสูง 28wt%Cr-2.4wt%C (R) ในสภาพหล่อ จะมีรอยครุณเป็นร่องในบริเวณเมทริกซ์ที่เป็นอสเทนในตัวเป็นบริเวณกว้าง ดังรูป 4.20 ซึ่งน่าจะเกิดจากการไถหรือการขัดถูของทรายซิลิกาในขณะที่บริเวณรอบๆ คาร์ไบด์ยูเทกติก M_7C_3 จะเกิดการหลุดออกของเนื้อโลหะ ทำให้เห็นคาร์ไบด์ยูเทกติกที่มีลักษณะของเป็นแท่ง นอกจากนี้ยังพบการรอยแตกของคาร์ไบด์ยูเทกติกและบริเวณเมทริกซ์ ในส่วนของเหล็กหล่อ Mo1 ในสภาพหล่อ มีลักษณะพื้นผิวที่เกิดความเสียหายเช่นเดียวกัน แต่จะมีความเสียหายน้อยกว่า และยังบรรยายแตกในเมทริกซ์ แต่คาร์ไบด์ยูเทกติกมีรอยแตกและการหลุดออกเพียงเล็กน้อย ดังแสดงในรูป 4.21 เมื่อพิจารณาขั้นงานที่ผ่านการทำดีสเตบิลайเซชัน พบร้าว่าในเหล็กหล่อ 28wt%Cr-2.4wt%C (R) บริเวณเมทริกซ์ของมาเทนไชต์จะมีความเสียหายที่มากกว่าในสภาพหล่อโดยจะเห็นรอยครุณที่มีลักษณะเป็นร่องลึก ดังรูป 4.22 นอกจากนี้ยังพบว่ามีการหลุดออกของคาร์ไบด์ทุติยภูมิในบริเวณเมทริกซ์ ซึ่งในเหล็กหล่อ Mo1 ก็มีลักษณะเช่นเดียวกัน ดังรูป 4.23

จากภาพถ่ายของ SEM สามารถอธิบายกลไกการสึกกร่อนในเหล็กหล่อโดยเมียมสูง 28wt%Cr-2.4wt%C เกิดจากการไถ (Ploughing) ของอนุภาคทรายซิลิกาที่มีความแข็งสูงกับเมทริกซ์ของอสเทนในตัวและมาเทนไชต์ ทำให้เกิดรอยครุณเป็นร่องตามทิศทางการเคลื่อนที่ของทรายซิลิกาในสเลอร์รี่ รวมทั้งการแตกหัก (Cracking) ของคาร์ไบด์ยูเทกติก ในขณะเดียวกันกรดซัลฟิวเริกจะทำให้เกิดการกัดกร่อนโดยการเกิดปฏิกิริยาระหว่างยูเทกติกกับอสเทนในตัว (อาโนด) ที่อยู่รอบๆ คาร์ไบด์ยูเทกติก (คาโนด) เมื่อเวลาผ่านไปนานขึ้นอัตราการกัดกร่อนของยูเทกติกกับอสเทนในตัวจะเพิ่มขึ้น จนทำให้คาร์ไบด์ยูเทกติกที่ไม่มีเมทริกซ์ยึดเกิดการหลุดออก อย่างไรก็ตามเหล็กหล่อที่ผ่านการทำดีสเตบิลайเซชันความทนทานต่อการสึกกร่อนจะลดลงเนื่องจากเกิดการกัดกร่อนบริเวณเมทริกซ์มาเทนไชต์ (อาโนด) ที่อยู่รอบๆ คาร์ไบด์ทุติยภูมิ (คาโนด) ร่วมด้วยซึ่งจะเห็นได้จากการที่คาร์ไบด์ทุติยภูมิหลุดจากเนื้อเมทริกซ์ ในกรณีการเติมโมลิบดินัมในเหล็กหล่อ 28wt%Cr ทำให้ความทนทานต่อการสึกกร่อนเพิ่มขึ้น เนื่องมาจากการละลายของโมลิบดินัมในเมทริกซ์ทำให้ความ

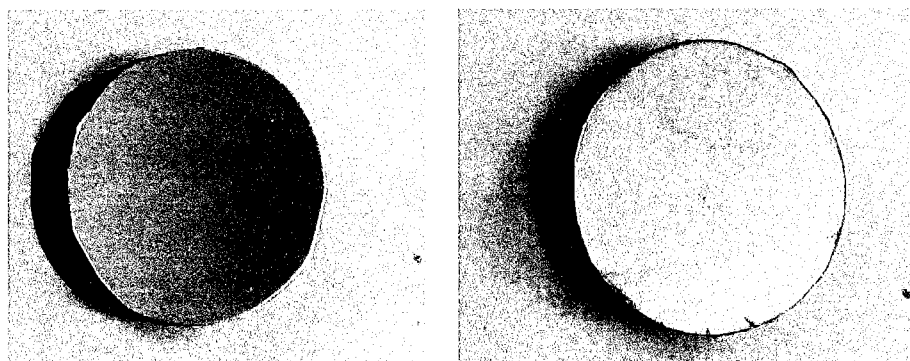
แข็งแรงสูงขึ้น รวมทั้งการเกิดคาร์ไบด์ยูเทกติก M_6C ที่มีความแข็งสูง ทำให้ต้านทานการขัดถูของรายชิลิกาเพิ่มขึ้นและทำให้ความต้านทานการกัดกร่อนสูงขึ้น

ตารางที่ 4.1 น้ำหนักที่หายไปของชิ้นงานหลังทดสอบการสึกกร่อน

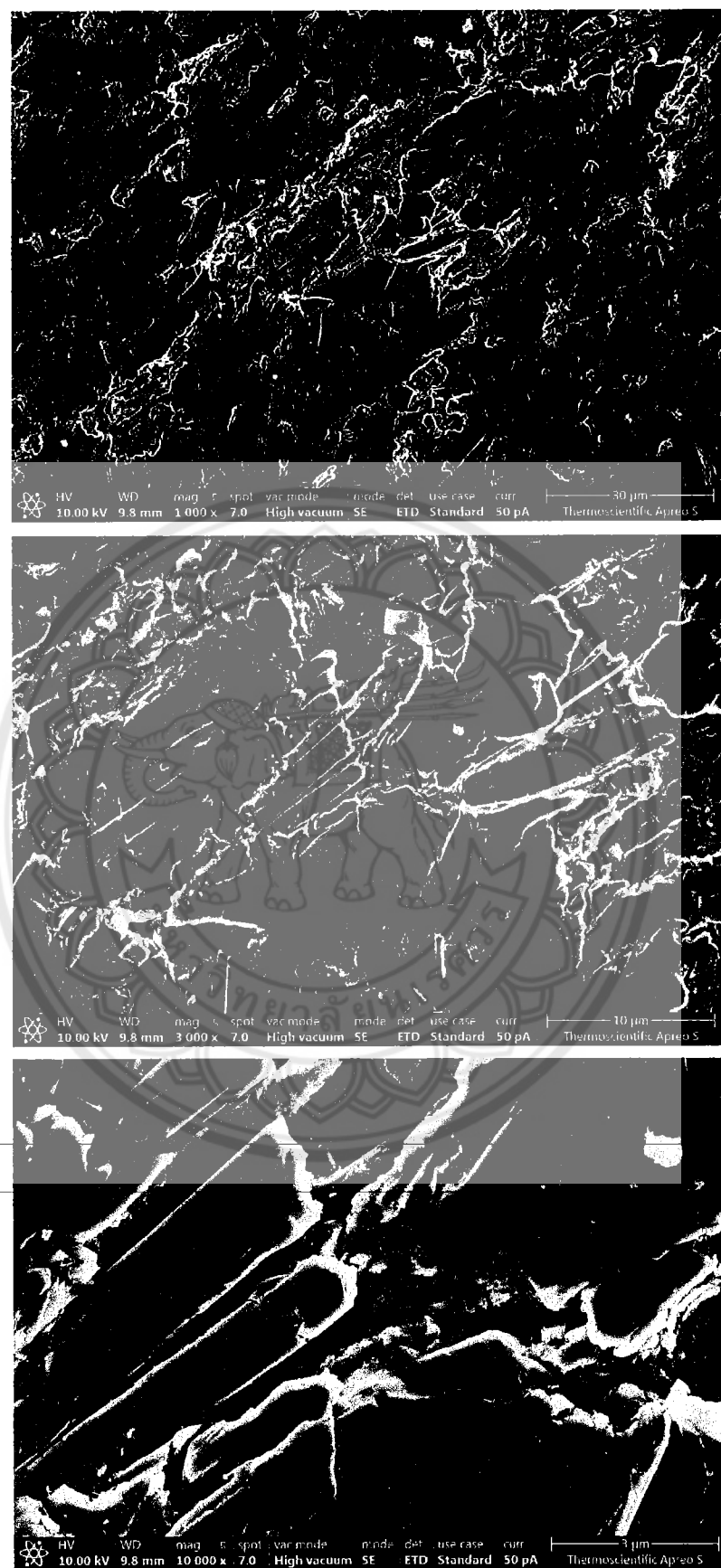
| เหล็กหล่อ | น้ำหนักที่หายไปของชิ้นงาน (mg) |
|-------------|--------------------------------|
| R-As-cast | 125.23 |
| R-D4h | 166.63 |
| Mo1-As-cast | 104.80 |
| Mo1-D4h | 154.50 |



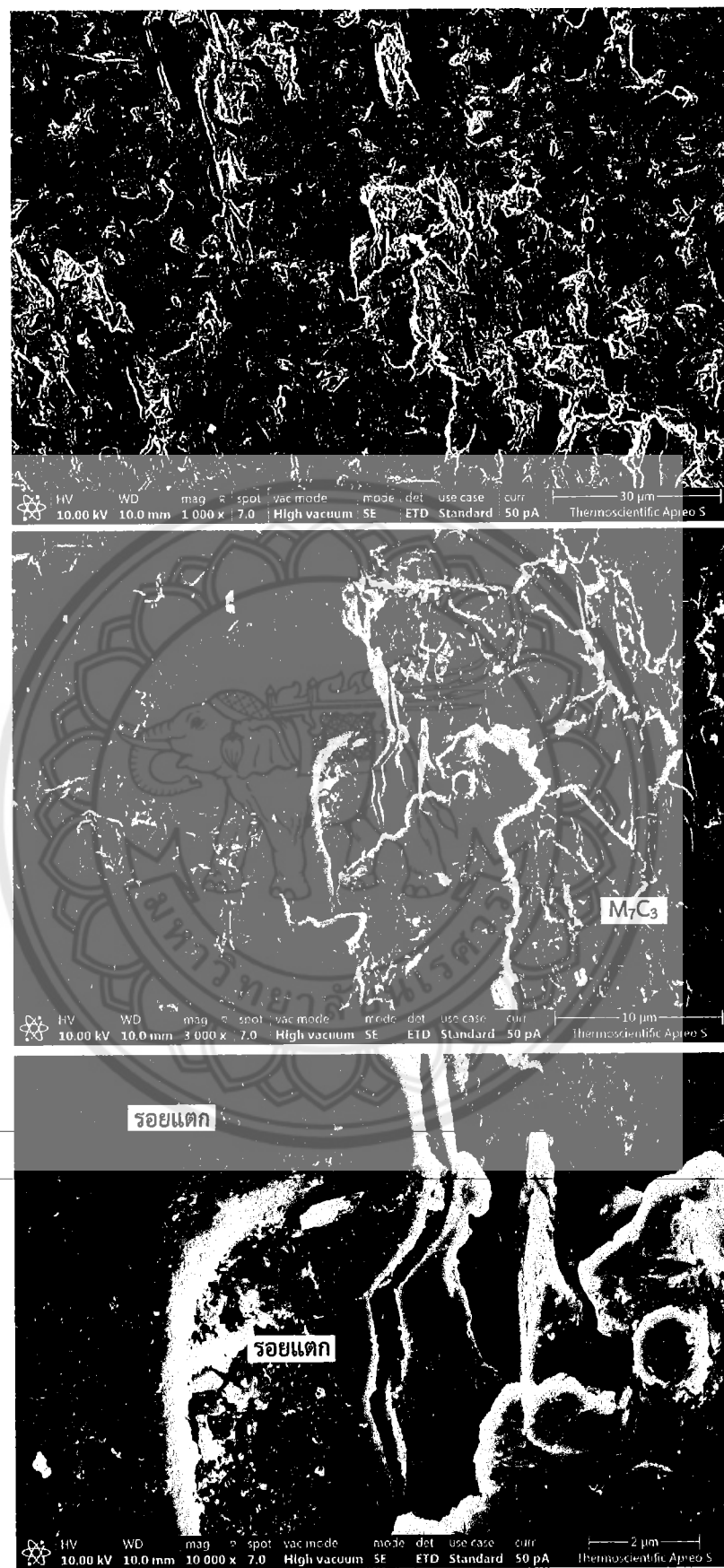
รูปที่ 4.18 ผลของการเติมโมลิบดินัมและดีสเทบิไลเซ็นต์อน้ำหนักที่หายไปหลังทดสอบการสึกกร่อน



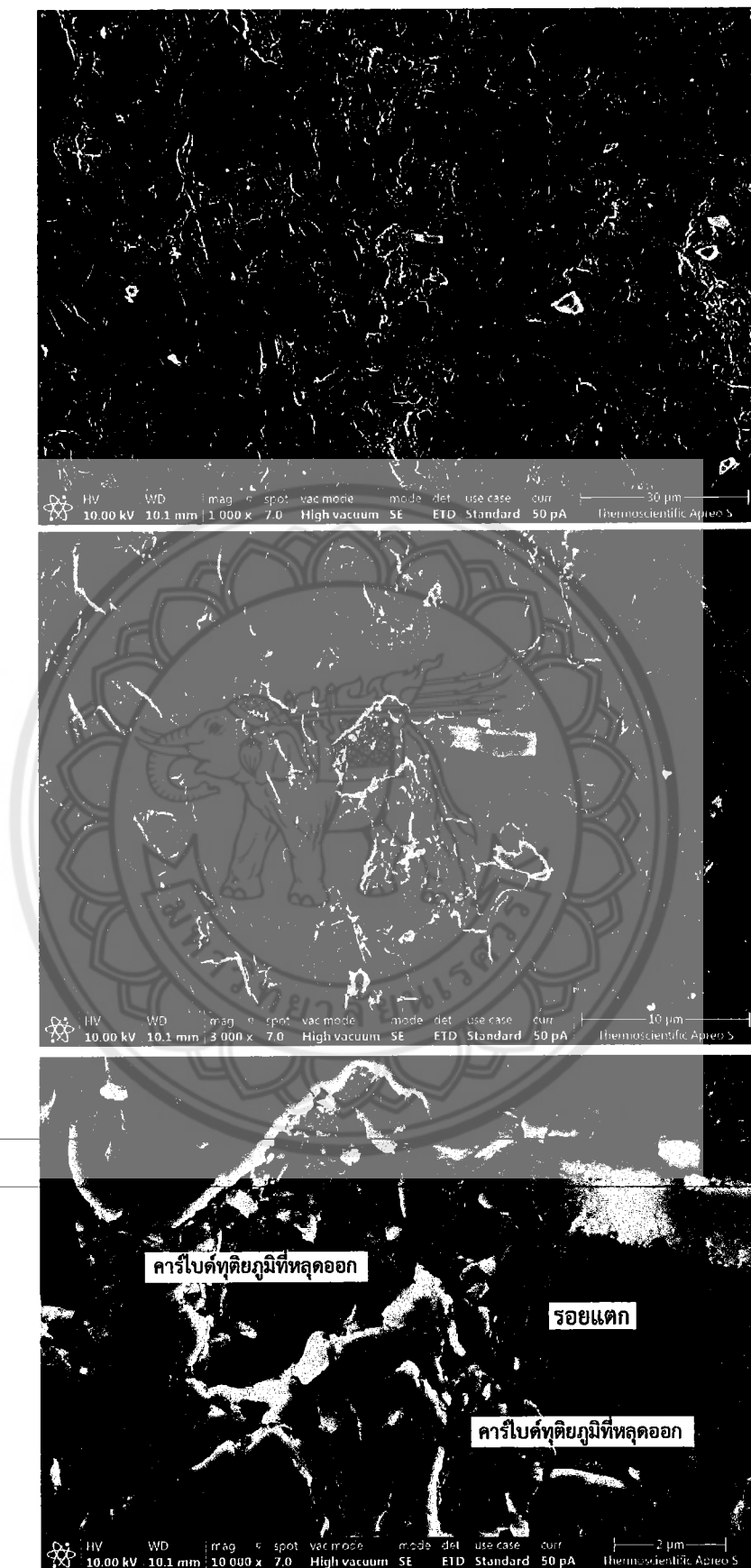
รูปที่ 4.19 ลักษณะพื้นผิวชิ้นงานก่อนและหลังทดสอบการสึกกร่อน



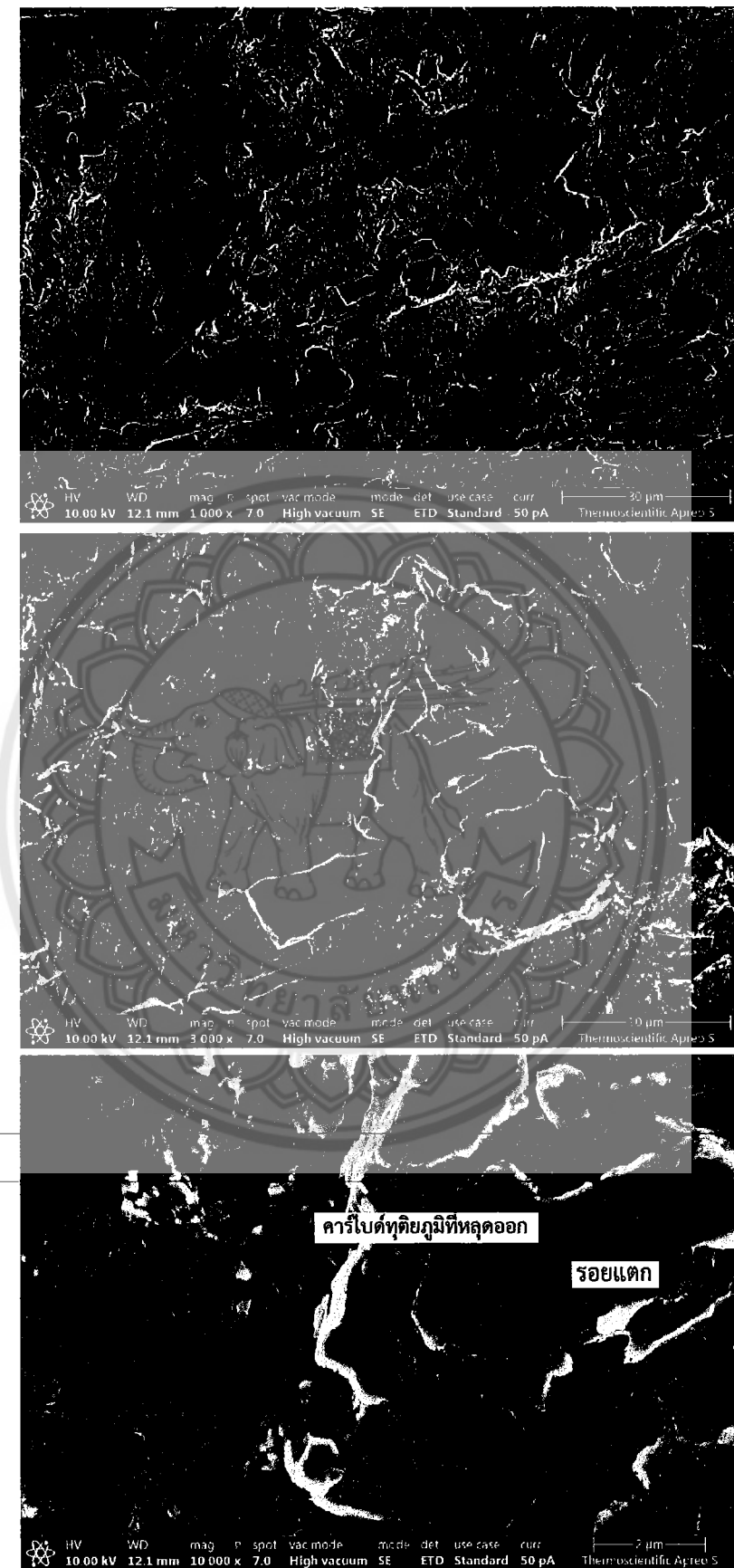
รูปที่ 4.20 ภาพถ่ายจากกล้องจุลทรรศน์อิเล็กตรอนแบบส่องกราด (SEI) แสดงพื้นผิวที่เสียหายหลังทดสอบการสักครุ่นของเหล็กหล่อ 28wt%Cr-2.4wt%C (R) ในสภาพหล่อ



รูปที่ 4.21 ภาพถ่าย SEI แสดงพื้นผิวที่เสียหายหลังทดสอบการสึกกร่อนของเหล็กหล่อ Mo1 ในสภาพห้อง



รูปที่ 4.22 ภาพถ่าย SEI แสดงพื้นผิวที่เสียหายหลังทดสอบการสึกกร่อนของเหล็กหล่อ 28wt%Cr-2.4wt%C (R) ที่ผ่านการทำดีสเตบ์ไลเซนชัน



รูปที่ 4.23 ภาพถ่าย SEM และพื้นผิวที่เสียหายหลังทดสอบการสึกกร่อนของเหล็กหล่อ Mo1 ที่ผ่านการทำดีสเตรปปิ่ลเชื้อน

บทที่ 5

สรุปผลการทดลองและข้อเสนอแนะ

5.1 สรุปผลการทดลอง

จากการทดลองเพื่อศึกษาความสัมพันธ์ระหว่างโครงสร้างจุลภาค ความแข็ง และความต้านทานการสึกกร่อนของเหล็กหล่อ 28wt%Cr ที่เติมโมลิบดินัม และผ่านกรรมวิธีทางความร้อน สามารถสรุปผลการทดลองได้ดังนี้

- โครงสร้างจุลภาคในสภาพหล่อของเหล็กหล่อโครงเมียมสูง 28wt%Cr-2.4wt%C (R) เป็นแบบไฮโปยูเทกติกที่ประกอบด้วยเดนไตร์ของอสเทนในตัวปัจมภูมิและการเป็นตัวยูเทกติก M_7C_3 และ ยูเทกติก ออสเทนในตัวเปลี่ยนเป็นมาร์เทนไซต์ ส่วนเหล็กหล่อ 28wt%Cr-2.6wt%C-1.4wt%Mo (Mo1) มีการเป็นตัวยูเทกติกเป็นชนิด M_7C_3 , $M_{23}C_6$ และ M_6C
- หลังการอบอ่อนพบว่าเหล็กหล่อ 28wt%Cr-2.4wt%C (R) และเหล็กหล่อ Mo1 มีโครงสร้างจุลภาค ประกอบด้วยเดนไตร์ของเฟอร์ไรต์และการเป็นตัวทุติยภูมิ และมีเฟิร์ลไลต์เล็กน้อย โดยในเหล็กหล่อ Mo1 จะมีเฟิร์ลไลต์ที่ละเอียดและขนาดเล็กกว่า
- หลังการทำดีสเตรบิไลเซชันพบการตกตะกอนของคาร์ไบด์ทุติยภูมิในเดนไตร์ของมาร์เทนไซต์ ส่วนการอบอ่อนก่อนการอบดีสเตรบิไลเซชันจะทำให้การตกตะกอนของคาร์ไบด์ทุติยภูมิในมาร์เทนไซต์มีปริมาณเพิ่มขึ้น โดยในเหล็กหล่อที่เติมโมลิบดินัมจะมีปริมาณมากกว่า โดยการเป็นตัวทุติยภูมิคาดว่าเป็นชนิด $M_{23}C_6$
- ความแข็งของเหล็กหล่อโครงเมียมสูง 28wt%Cr-2.4wt%C (R) และเหล็กหล่อ Mo1 ในสภาพหล่อ มีความแข็ง 506 และ 529 HV30 ตามลำดับ การเติมโมลิบดินัมส่งผลให้ความแข็งสูงขึ้นเนื่องจากการเกิดการเป็นตัวชนิด M_6C หลังการอบอ่อนความแข็งลดลงเป็น 390 และ 463 HV30 เนื่องจากการเปลี่ยนโครงสร้างจากอสเทนในตัวเป็นเฟอร์ไรต์ ส่วนการทำดีสเตรบิไลเซชันจะทำให้ความแข็งเพิ่มขึ้นเป็น 730 และ 735 HV30 เนื่องจากการตกตะกอนของคาร์ไบด์ทุติยภูมิในมาร์เทนไซต์ ส่วนการอบอ่อนก่อนการทำดีสเตรบิไลเซชันส่งผลให้ความแข็งมีค่าเพิ่มมากขึ้นเป็น 825 และ 870 HV30
- กลไกการสึกกร่อนของเหล็กหล่อโครงเมียมสูง-28wt%Cr ในสเตอเรว์ของสารละลายกรดซัลฟูริกที่มีทรานซิลิกาผสม เป็นแบบการไถ (Ploughing) ของอนุภาคทรานซิลิกาบริเวณเมทริกซ์และการแตกหัก (Cracking) ของคาร์ไบด์ยูเทกติก ร่วมกับการกัดกร่อนของกรดซัลฟูริกบริเวณรอบๆ คาร์ไบด์ยูเทกติก นอกจากนี้ยังพบว่าความทนทานต่อการสึกกร่อนมีแนวโน้มลดลงหลังการทำดีสเตรบิไลเซชันโดยพหุการกัดกร่อนในบริเวณรอบๆ คาร์ไบด์ทุติยภูมิที่ตกตะกอนในเมทริกซ์ ส่งผลให้เกิดการหลุดออกของผิวชั้นงานเพิ่มมากขึ้น การเติมโมลิบดินัมทำให้ความทนทานต่อการสึกกร่อนดียิ่งขึ้น เนื่องจากการละลายของโมลิบดินัมในเมทริกซ์ในลักษณะสารละลายของแข็ง ทำให้เมทริกซ์มีความแข็งแรงเพิ่มขึ้น รวมทั้งการเกิดการเป็นตัวยูเทกติก M_6C ที่มีความแข็งสูง ทำให้ต้านทานการขัดถูของอนุภาคทรานซิลิกา

5.2 ข้อเสนอแนะ

1. จากผลการทดลองจะเห็นว่าการทำดีสเตบีไลเซชันจะทำให้ความแข็งเพิ่มขึ้น เนื่องจากการตกลงของครุภาร์เป็นทุติยภูมิในมาแทนไขซ์ อย่างไรก็ตามในการทดลองในครั้งนี้ยังไม่ได้ทำการศึกษาชนิดและโครงสร้างผลลัพธ์ของการเป็นทุติยภูมิ ดังนั้นควรมีการศึกษาเพิ่มเติมด้วยเทคนิคการเลี้ยวเบนของอิเล็กตรอน
2. ในการทดสอบการสักครรุภาร์ควรเปรียบเทียบทั้งในสภาพหล่อ และการอบอ่อนร่วมกับการทำดีสเตบีไลเซชัน เพื่อให้ได้ข้อมูลที่สามารถอธิบายกลไกการสักครรุภาร์ในเหล็กหล่อโดยมีความแม่นยำสูง



เอกสารอ้างอิง

- [1] Pearce, J.T.H. และ บัญชา มนบุญสมบัติ (2542) เทคโนโลยีและโลหะวิทยาของเหล็กหล่อผสม, ศูนย์เทคโนโลยีโลหะและวัสดุแห่งชาติ, พิมพ์ครั้งที่ 1, หน้า 10-14.
- [2] Laird, G., Gundlach, R. and Rohrig, K., (2000) Abrasion-Resistant Cast Iron Handbook, American Foundry Society, USA, pp.222.
- [3] Tabrett, C.P., Sare, I.R. and Ghomashchi, M. R., (1996) Microstructure-property relationships in high chromium white iron alloys, Int. Mater. Rev., 41, 59-82.
- [4] Pearce, J.T.H., (1982) Wear of abrasion resisting materials, Ph.D thesis. Aston University, Birmingham, England.
- [5] Pearce, J. T. H. and Elwell, D. W. L., (1986) Duplex nature of eutectic carbides in heat treated 30% chromium cast iron, J. Mat. Sci Lett., 5, 1063-1064.
- [6] Wiengmoon, A., (2005) Microstructures of carbides in high chromium cast irons, Ph.D. Thesis. Chiang Mai University, Thailand.
- [7] Pearce, J.T.H., (1999) High chromium irons to resist wear, Proceedings of the Sixth Asian Foundry Congress, Jan 23-26, Calcutta India, 120-134.
- [8] Durman, R.W. and Elwell, D.W.J., (1985) Morphology of eutectic carbides in high chromium white irons, The British Foundryman, 78, 371-375.
- [9] Thorpe, W.R. and Chicco, B., (1985) The Fe-rich corner of the metastable C-Cr-Fe liquidus surface, Metall. Trans. A, 16A, 1541-1549.
- [10] Chicco, B. and Thorpe, W.R., (1993) On the solidification of pure C-Cr-Fe alloys, Cast Metals, 5, 203-211.
- [11] Kibble, K.A. and Pearce, J.T.H., (1995) An examination of the effects of annealing heat treatment on secondary carbide formation in 25% Cr high chromium irons. Cast Metals, Volume 8, no. 2, 123-127.
- [12] Powell, G., (2002) Improved wear-resistant high-alloyed white irons-A historical perspective, International congress on abrasion wear resistance alloyed white cast iron for rolling and pulverizing mills, August 16-20, Fukuoka, Japan, 1-10.
- [13] Wu, H.Q., Sasaguri, N., Matsubara, Y. and Hashimoto, M., (1996) Solidification of multi-alloyed white cast iron: Type and morphology of carbides, AFS Trans, 104, 103-108.
- [14] Pearce, J.T.H., (1984) Structure and wear performance of abrasion resistant chromium white cast irons, AFS Trans., 92, 599-622.
- [15] Wiengmoon, A., (2011) Carbide in High Chromium Cast Irons, Naresuan University Engineering Journal, 6(1), 64-71.
- [16] ปันดดา นิรนาทล้ำพงศ์ และคณะ. (2547). การสืกสรรในงานอุตสาหกรรม. กรุงเทพฯ: สำนักพิมพ์ สมาคมส่งเสริมเทคโนโลยี (ไทย-ญี่ปุ่น)

- [17] Pearce J.T.H, Perry B. and Blackwell P.L., (1989) Potentiokinetic study of the aqueous corrosion behaviour of high chromium cast irons, International Colloquium on Cast Irons, November, National School of Mines, France, Bulletin du Cercle d'Etudes des Metaux; 15: 25/1-13.
- [18] Dobbelaar J.A.L., Herman E.C.M. and de Wit J.H.W., (1992) The corrosion behaviour of iron-chromium alloys in 0.5 M sulphuric acid, Corrosion Science, 33, 765-778.
- [19] Tang X.H., Chunga R., Panga C.J., Lia D.Y., Hinckleyb B., Dolman K., (2011) Microstructure of high (45wt.%) chromium cast irons and their resistances towear and corrosion, Wear, 271, 1426-1431.
- [20] Imurai S., Thanachayanont C., Pearce J.T.H. and Chairuangsri T., (2015) Microstructure and erosion-corrosion behaviour of as-cast high chromium white irons containing molybdenum in aqueous sulfuric-acid slurry, archives of metallurgy and materials, 60, 919–923.
- [21] Shimizu K., Kusumoto K., Yaer X., Zhang Y., Shirai M., (2017) Effect of Mo content on erosive wear characteristics of high chromium cast iron at 1173 K, Wear, 376-377, 542–548.
- [22] Shitole P.P., Gawande S.H., Desale G.R., Nandre B.D., (2015) Effect of Impacting Particle Kinetic Energy on Slurry Erosion Wear, J Bio Triboro Corros 1:29
- [23] Gupta S., Khandelwal A., Ghose A.K., Chakrabarty I., (2016) Slurry Erosion Behavior of Destabilized and Deep Cryogenically Treated Cr-Mn-Cu White Cast Irons, Tribology in Industry, 38 No. 4, 486-495.